

Surveillance de la Qualité des Plans d'Eau des Bassins Rhône Méditerranée Corse

- Suivi 2017 -

Rapport de données et d'interprétation
REtenue de PANTHIER (Côte-d'Or)



Novembre 2018





Propriétaire du rapport : Agence de l'eau Rhône Méditerranée & Corse
2-4, Allée de Lodz
69363 LYON Cedex 07

Interlocuteur : M. Loïc IMBERT

Titre : Surveillance de la qualité des plans d'eau des bassins Rhône Méditerranée Corse – Suivi 2017 – Rapport de données et d'interprétation – Retenue de Panthier (Côte-d'Or).

Mots-Clés : Agence de l'eau Rhône Méditerranée Corse, Programme de surveillance, DCE, suivi 2017, plans d'eau, Côte-d'Or, retenue de Panthier.

Numéro de rapport : 1107FB18
Date : Novembre 2018
Statut du rapport : Rapport définitif

Auteurs : François BOURGEOT
Arnaud OLIVETTO

Travail de laboratoire: Pierre BENOIT et Jeanne RIGAUT (Phytoplancton)

Nombre d'ex. édités : 1
Nb de pages (+annexes) : 31 (+38)

Réalisation :  Groupe de recherche et d'Etude Biologie et Environnement
23 rue Saint Michel - 69007 LYON
Tél: 04 72 71 03 79 - Fax : 04 72 72 06 12
Courriel : contact@grebe.fr

SOMMAIRE

| | |
|--|-----------|
| <u>1. INTRODUCTION</u> | 7 |
| 1.1 ORGANISATION DU RAPPORT | 7 |
| 1.2 TYPOLOGIE NATURELLE DES PLANS D'EAU | 7 |
| <u>2. PROTOCOLES DE PRELEVEMENT ET D'ANALYSE</u> | 8 |
| 2.1 PHYSICO-CHIMIE DES EAUX ET DU SEDIMENT | 8 |
| 2.1.1 CAMPAGNES DE MESURES | 8 |
| 2.1.2 PRELEVEMENTS | 8 |
| 2.1.3 PARAMETRES MESURES | 9 |
| 2.2 PHYTOPLANCTON | 10 |
| <u>3. CONTEXTE GENERAL ET CARACTERISTIQUES DU PLAN D'EAU</u> | 12 |
| <u>4. PHYSICO-CHIMIE DES EAUX ET DES SEDIMENTS</u> | 16 |
| 4.1 PHYSICO-CHIMIE DES EAUX | 16 |
| 4.1.1 PROFILS VERTICAUX | 16 |
| 4.1.2 PARAMETRES DE MINERALISATION | 18 |
| 4.1.3 PARAMETRES PHYSICO-CHIMIQUES GENERAUX (HORS MICROPOLLUANTS) | 18 |
| 4.1.4 MICROPOLLUANTS MINERAUX | 20 |
| 4.1.5 MICROPOLLUANTS ORGANIQUES | 21 |
| 4.2 PHYSICO-CHIMIE DES SEDIMENTS | 22 |
| 4.2.1 PARAMETRES PHYSICO-CHIMIQUES GENERAUX (HORS MICROPOLLUANTS) | 22 |
| 4.2.2 MICROPOLLUANTS MINERAUX | 23 |
| 4.2.3. MICROPOLLUANTS ORGANIQUES | 23 |
| <u>5. PHYTOPLANCTON</u> | 26 |
| <u>6. APPRECIATION GLOBALE DE LA QUALITE DU PLAN D'EAU</u> | 31 |
| <u>ANNEXES</u> | 33 |
| LISTE DES MICROPOLLUANTS ANALYSES SUR EAU | 35 |
| LISTE DES MICROPOLLUANTS ANALYSES SUR SEDIMENTS | 45 |
| COMPTE RENDUS DES CAMPAGNES DE PRELEVEMENTS PHYSICO-CHIMIQUES ET PHYTOPLANCTONIQUES | 49 |
| RAPPORT D'ANALYSE PHYTOPLANCTON | 63 |

PREAMBULE

Cette étude de diagnostic écologique de plans d'eau a été réalisée dans le cadre du programme de surveillance établi lors de la mise en œuvre de la directive cadre européenne sur l'eau (DCE)¹, prescrivant une atteinte des objectifs environnementaux tendant vers un « bon état » écologique des masses d'eau en 2027. En application de cette dernière, il est demandé à chaque état membre d'évaluer l'état écologique des masses d'eau d'origine naturelle ou le potentiel écologique des masses d'eau fortement modifiées et artificielles.

L'agence de l'eau Rhône Méditerranée Corse a mandaté le bureau d'études GREBE pour l'acquisition de données écologiques sur un certain nombre de masses d'eau de plans d'eau (MEPE) de plus de 50 hectares du nord du bassin Rhône-Méditerranée. Les prestations ont été réalisées en application de l'arrêté du 27 juillet 2015², modifiant l'arrêté du 25 janvier 2010³ établissant le programme de surveillance de l'état des eaux.



Retenue de Panthier le 17/05/17

¹ DCE. Cadre pour une politique communautaire dans le domaine de l'eau. Directive 2000/60/CE.

² Ministère de l'environnement, de l'énergie, du développement durable et de l'énergie. Arrêté du 27 juillet 2015 modifiant l'arrêté du 10 janvier 2010 relatif aux méthodes et critères d'évaluation de l'état écologique, de l'état chimique et du potentiel écologique des eaux de surface pris en application des articles R.212-10, R.212-11 et R.212-18 du code de l'environnement.

³ Ministère de l'environnement, de l'énergie, du développement durable et de la mer, en charge des technologies vertes et des négociations sur le climat. Arrêté du 25 janvier 2010 établissant le programme de surveillance de l'état des eaux en application de l'article R. 212-22 du code de l'environnement.

1. INTRODUCTION

1.1 Organisation du rapport

Les résultats du suivi de l'année 2017 sont présentés sous la forme d'un dossier par plan d'eau, soit un rapport de données brutes et d'interprétation commentée des résultats, présentant également les méthodologies mises en œuvre et les comptes rendus de campagnes de terrain.

1.2 Typologie naturelle des plans d'eau

La typologie naturelle des plans d'eau utilisée dans le rapport est définie dans l'arrêté du 12 janvier 2012⁴ relatif aux méthodes et aux critères à mettre en œuvre pour délimiter et classer les masses d'eau. La typologie est basée sur l'origine des plans d'eau (naturelle ou anthropique), leur hydro-écorégion⁵, la forme de leur cuvette et leur fonctionnement hydraulique. Les formes théoriques de cuvettes lacustres sont présentées *Figure 1*, et sont définies comme suit :

- Forme L : lac peu profond, zone littorale largement prépondérante, stratification thermique peu étendue et/ou instable (lac polymictique).

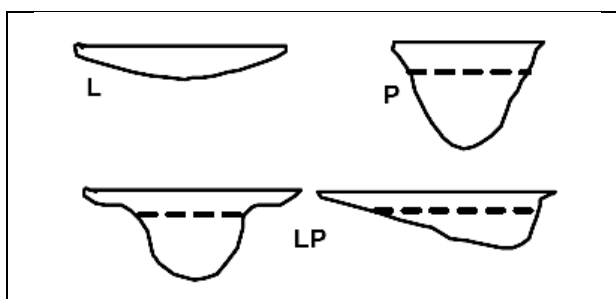


Figure 1 - Formes théoriques de la cuvette lacustre. La ligne pointillée indique la limite théorique de profondeur maximale de la thermocline en été (figure issue de la circulaire 2005/11).

- Forme P : lac profond, stratification thermique stable (lac monomictique ou dimictique) et une zone littorale réduite, la cuvette pouvant être symétrique ou asymétrique.

⁴ Ministère de l'environnement, de l'énergie, du développement durable et de la mer, en charge des technologies vertes et des négociations sur le climat. Arrêté du 12 janvier 2010 relatif aux méthodes et aux critères à mettre en œuvre pour délimiter et classer les masses d'eau et dresser l'état des lieux prévu à l'article R. 212-3 du code de l'environnement. Journal Officiel de la République Française.

⁵ Wasson, J. G., Chandesris, A., Pella, H., & Blanc, L. (Juin 2002). *Les hydro-écorégions de France métropolitaine, approche régionale de la typologie des eaux courantes et éléments pour la définition des peuplements de référence d'invertébrés*. Cemagref.

- Forme LP : lac ayant à la fois une zone profonde stratifiée stable (monomictique ou dimictique) et une zone littorale étendue, la cuvette pouvant être symétrique ou asymétrique.

2. Protocoles de prélèvement et d'analyse

2.1 Physico-chimie des eaux et du sédiment

2.1.1 Campagnes de mesures

Quatre campagnes de mesure sont réalisées au cours de l'année :

- campagne 1 : entre mi-février et fin mars (voire plus tard selon l'altitude), correspondant à la période de brassage et d'homothermie des eaux;
- campagne 2 : mois de mai, correspondant au début de la période de stratification thermique;
- campagne 3 : fin juillet / début août, correspondant à la période estivale;
- campagne 4 : mois de septembre/octobre, correspondant à la fin de la période de production végétale et à la période de stratification maximale du plan d'eau, avant le refroidissement de la masse d'eau.

2.1.2 Prélèvements

2.1.2.1 Prélèvements d'eau

Les prélèvements d'eau sont réalisés au niveau du point de plus grande profondeur du plan d'eau. Dans le cas de retenues artificielles, une zone de sécurité interdite à la navigation, généralement matérialisée par une ligne de bouées, peut être présente à proximité des ouvrages. La zone de prospection se limite alors à l'extérieur de cette dernière. Deux profondeurs sont échantillonnées.

La zone euphotique correspond à 2,5 fois la transparence de l'eau. Cette dernière est mesurée à l'aide d'un disque de Secchi de 20 centimètres de diamètre, à quarts alternativement blanc ou noir. Un premier échantillonnage est destiné aux dosages de micropolluants. Il est réalisé avec une bouteille à prélèvement verticale de type Van Dorn de 1,2 litre en téflon. Les prélèvements unitaires sont répartis de manière équidistante sur l'ensemble de la zone euphotique puis homogénéisés dans un seau de 17 litres en polyéthylène haute densité (PEHD). Cette opération peut être répétée si besoin jusqu'à obtention du volume nécessaire aux analyses. Le contenu est ensuite versé directement dans les différents flacons ou à l'aide d'un entonnoir en PEHD dans le cas de contenants à col étroit.

Un second échantillonnage, réalisé à l'aide d'un tuyau, est destiné aux analyses phytoplanctoniques, aux analyses physico-chimiques classiques et à la quantification de la chlorophylle a. Le volume d'eau échantillonné étant trop faible dans le cas d'une zone euphotique peu importante, l'échantillonnage est préférentiellement réalisé au moyen d'une bouteille verticale et d'une série de prélèvements unitaires sur l'étendue de la zone euphotique si celle-ci n'excède pas une profondeur de 7 mètres.

La zone profonde est échantillonnée à profondeur fixe, à 1 mètre du sédiment, puis traitée de la même manière que l'échantillonnage de la zone euphotique. L'opération est répétée jusqu'à obtention du volume nécessaire aux analyses.

2.1.2.2 Prélèvements de sédiments

Les sédiments sont prélevés lors de la campagne 4 (septembre/octobre) à la benne Ekman, 15 cm x 15 cm. Le contenu de la benne est échantillonné directement à l'aide d'une petite pelle en PEHD et transvasé dans les flacons fournis par le laboratoire d'analyse.

2.1.3 Paramètres mesurés

Les analyses physico-chimiques de pleine eau ont été confiées au Laboratoire Santé Environnement Hygiène de Lyon (CARSO-LSEHL), et les analyses sur sédiments au Laboratoire Départemental de la Drôme (LDA 26).

2.1.3.1 Paramètres de pleine eau

Deux types de paramètres de pleine eau ont été pris en considération:

- les paramètres mesurés in situ à chaque campagne:
 - température, oxygène dissous (concentration et taux de saturation), pH, conductivité à 25°C et matière organique dissoute fluorescente. Ces paramètres sont mesurés sur l'ensemble de la colonne d'eau à l'aide d'une sonde multi paramètres munie d'un câble.
 - transparence mesurée au disque de Secchi de 20 centimètres de diamètre, à quarts alternativement blanc ou noir.
- les paramètres analysés en laboratoire sur prélèvements intégrés au niveau de la zone trophogène et prélèvements au niveau du fond :
 - paramètres généraux : azote Kjeldhal, ammonium, nitrates, nitrites, orthophosphates, phosphore total, carbone organique total, matières en

- suspension, turbidité, chlorophylle a et phéopigments (échantillon filtré sur site à l'aide d'une pompe à vide manuelle / paramètres ne concernant que l'échantillon intégré), silice dissoute, demande biologique en oxygène (DBO), demande chimique en oxygène (DCO);
- paramètres de minéralisation : chlorures, sulfates, hydrogénocarbonates, calcium, magnésium, sodium, potassium, dureté totale, titre alcalimétrique complet (TAC) ;
 - micropolluants : substances prioritaires, autres substances et pesticides en référence à l'arrêté du 7 août 2015 établissant le programme de surveillance de l'état des eaux. Les micropolluants organiques ont été mesurés sur les échantillons d'eau brute et les micropolluants minéraux sur l'eau filtrée du même prélèvement.

2.1.3.2 Paramètres du sédiment

Sur les sédiments, les échantillonnages ont été réalisés au cours de la quatrième campagne au niveau du point de plus grande profondeur, et prennent en compte les deux compartiments et les paramètres suivants :

- l'eau interstitielle : orthophosphates, phosphore total et ammonium ;
- la phase solide : carbone organique, azote kjeldahl, phosphate total, matières organiques volatiles, granulométrie inférieure à 2 mm (argiles, limons fins et grossiers et sables fins et grossiers), et micropolluants suivant l'arrêté du 7 août 2015 établissant le programme de surveillance de l'état des eaux.

2.2 Phytoplancton

Le suivi du phytoplancton a été effectué lors de 4 campagnes selon la méthode Utermöhl⁶. Un prélèvement intégré est réalisé sur l'ensemble de la zone euphotique à l'aide d'un tuyau ou d'une bouteille à prélèvement (cf. §2.1.2.1) au droit du point le plus profond du plan d'eau. Cet échantillon est également utilisé pour la filtration in situ de la chlorophylle a. Les échantillons de phytoplancton sont fixés au lugol, puis stockés au réfrigérateur avant détermination et comptage des objets algaux⁷ au sein du laboratoire du GREBE. L'inventaire et le

⁶ AFNOR. (2006). Norme guide pour le dénombrement du phytoplancton par microscopie inversée (méthode Uthermöhl). NF EN 15204.

⁷ Laplace-Treyture, C. ; Barbe, J. ; Dutartre, A. ; Druart, J.-C. ; Rimet, F. ; Anneville, O. ; et al. (Septembre 2009). Protocole Standardisé d'échantillonnage, de conservation et d'observation du phytoplancton en plan d'eau, v3.3.1. INRA, Cemagref.

dénombrement du phytoplancton ont été réalisés, après passage en chambre de sédimentation, sous microscope inversé. En cas de difficulté d'identification ou de fortes abondances, une vérification des diatomées (algues microscopiques siliceuses) a été réalisée en parallèle, entre lame et lamelle sous microscope droit, selon le mode préparatoire décrit par la norme NF T90-354⁸. Les résultats sont présentés sous forme d'inventaires taxinomiques précisant pour chaque taxon le nombre de cellules dénombrées par ml et le biovolume total du taxon (mm³/l), accompagnés d'une représentation de l'évolution du peuplement algal en termes d'abondance relatives des différents groupes algaux

L'Indice Phytoplanctonique Lacustre (IPLAC)⁹ a ensuite été calculé sur la base de l'outil de comptage du phytoplancton en laboratoire Phytobs¹⁰.

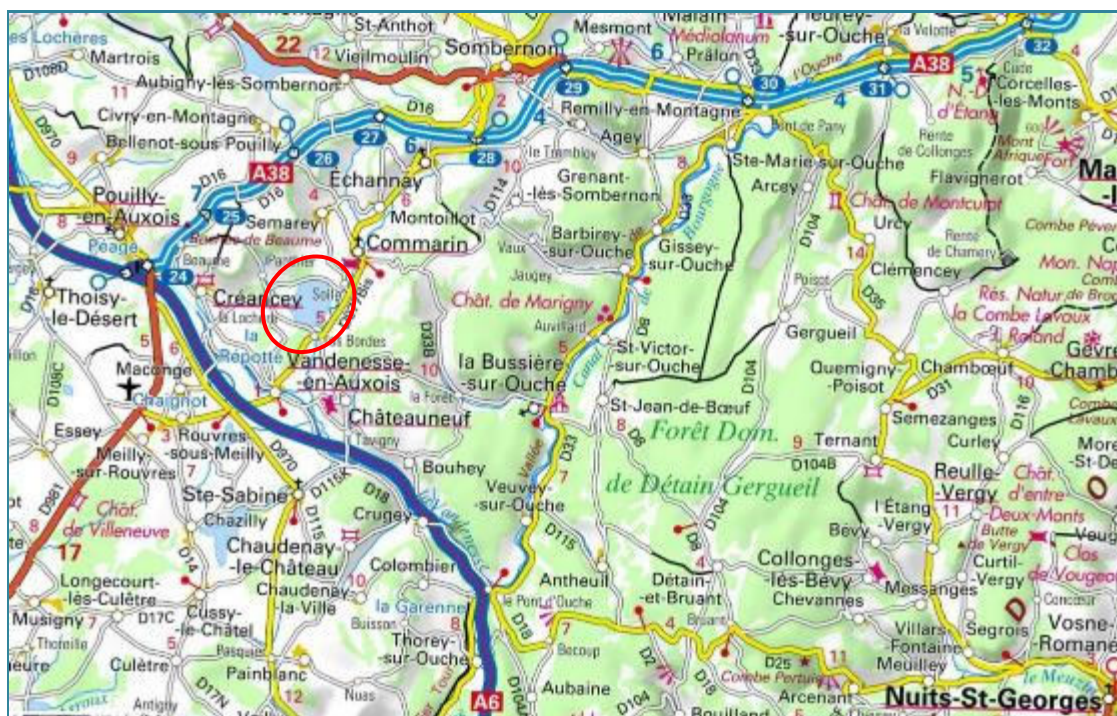
⁸ AFNOR. (2007). Détermination de l'Indice Biologique Diatomées (IBD). *NF T90-354 15204*.

⁹ Laplace-Treyture, C. ; Feret, T. *Performance of the Phytoplankton Index for Lakes (IPLAC) : A multitemetric phytoplankton index to assess the ecological status of water bodies in France*. Irstea UR EABX.

¹⁰ Hadoux, E. ; Plaire, M. ; Esmieu, P. ; Dubertrand, A. ; Laplace-Treyture, C. PHYTOBS v2.3 : Outil de comptage du phytoplancton en laboratoire et de calcul de l'IPLAC. Version 2.3. Application JAVA. Irstea UR EABX. Base taxinomique du 15/12/2015.

3. Contexte général et caractéristiques du plan d'eau

La retenue de Panthier se trouve à une trentaine de km à l'ouest de Dijon dans le département de la Côte-d'Or. Située à 373 m d'altitude, à l'est de la montagne de Créancey, ses 119 ha de superficie s'étendent sur les communes de Commarin (commune principale), Créancey, Semarey et Vandenesse-en-Auxois. La *Figure 2* positionne le plan d'eau sur un fond de carte IGN.



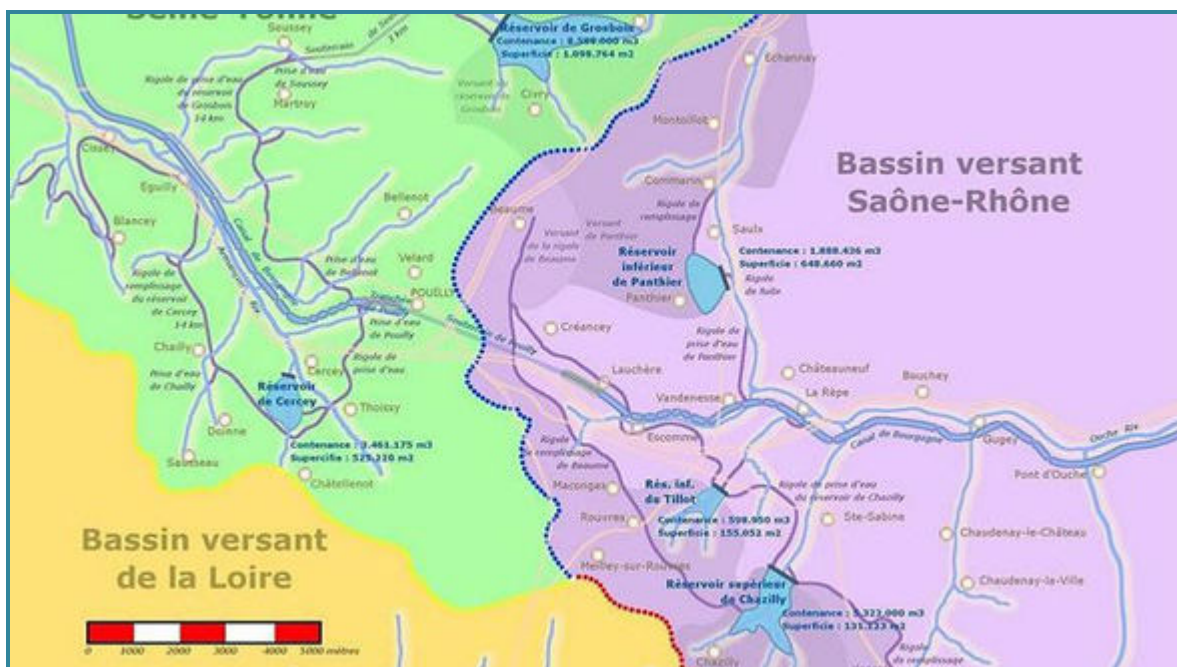


Figure 3 - Localisation du canal de Bourgogne et de ses réservoirs d'alimentation (Charles BERG 2005).

L'alimentation de la retenue est assurée par trois ruisseaux, le ruisseau de Panthier à l'ouest, par une rigole dérivée du ruisseau des Pasquier au nord, et par le ruisseau de Commarin, anciennement ruisseau des Bordes à l'est. Depuis 1911, une rigole récupère les eaux excédentaires du bief de partage des eaux depuis l'écluse de Sermaize, et les amène par le sud. La retenue assure l'alimentation du canal de Bourgogne par la rigole d'alimentation des Bordes, issue du ruisseau de Commarin qui constitue donc également l'exutoire du réservoir. Le temps de séjour de l'eau dans la retenue est relativement long, de l'ordre de 480 jours, soit 16 mois. La *Figure 4* présente une bathymétrie sommaire de la retenue réalisée par l'ONEMA. Au nord et à l'ouest, les berges en pente douce ont favorisé le développement de roselières et de saulaies. L'abaissement annuel du niveau d'eau, à partir du mois d'août, découvre des vasières sur la rive ouest, accueillant de nombreux oiseaux hivernant. Ainsi, comme sur la retenue de Chazilly, des comptages ornithologiques réguliers sont effectués par la Ligue pour la Protection des Oiseaux dans le cadre du programme Wetlands International.

En plus de la fonction d'alimentation du canal, d'autres activités se sont développées autour de la retenue. Ainsi, une base de loisirs s'est installée sur la rive sud et offre de nombreuses activités nautiques (dériveur, catamaran, planche à voile, canoë, kayak, barque), ainsi qu'une plage et un camping. Les activités halieutiques sont également pratiquées sur le site.

Le réservoir et son bassin versant, principalement occupé par des activités agricoles, reposent sur des Marnes datant du Lias (Jurassique inférieur). La retenue de Panthier est, selon la typologie nationale, une masse d'eau de type A2, soit, une retenue de moyennes montagnes, calcaire, peu profonde. Elle appartient à l'hydro-écorégion de rang 1 «Côtes calcaires Est».

Le climat de la région est de type continental chaud, caractérisé par des saisons bien différenciées thermiquement. Les précipitations peuvent être importantes tout au long de l'année. Elles sont les plus faibles en mars et les plus fortes en juin. La température moyenne annuelle est d'environ 10°C pour une pluviométrie annuelle de 822 mm. Une synthèse des données météorologiques de l'année 2017 au niveau de Savigny-lès-Beaune (275 m d'altitude, à 24 kilomètres de la retenue de Panthier à vol d'oiseau) est présentée *Figure 5*. L'année 2017 se présente comme plus chaude par rapport à la normale, avec une moyenne de l'écart aux normes de + 1,64 °C. Les précipitations sont encore moindres en 2017 qu'en 2016, avec en cumul annuel, respectivement, 597 mm et 674 mm. Ces valeurs traduisent des années plutôt sèches par rapport à la pluviométrie moyenne de la région, autour de 882 mm.

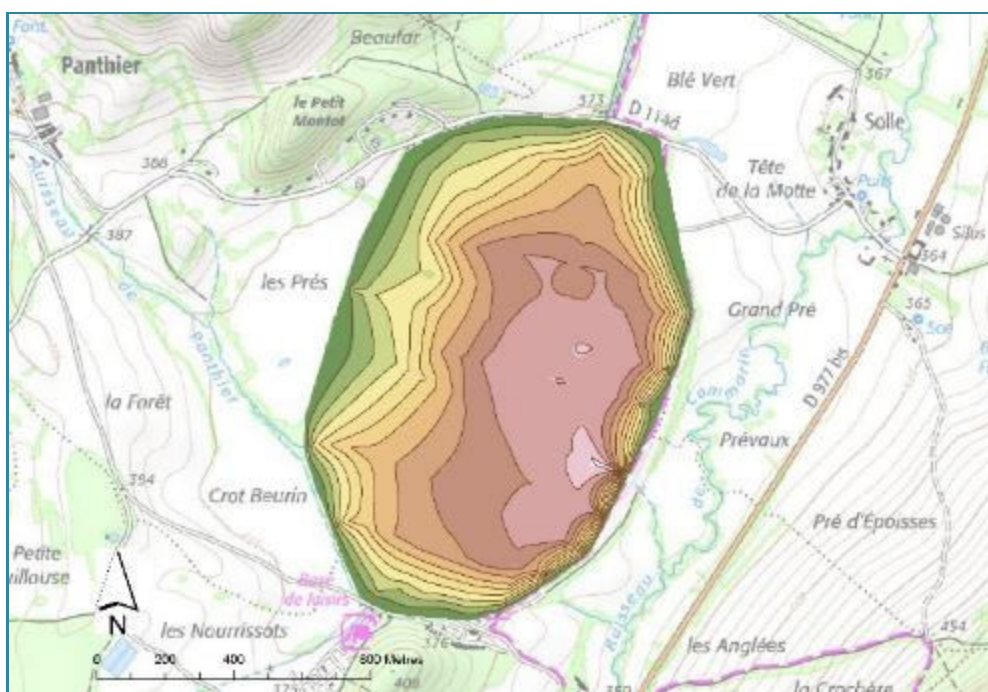


Figure 4 – Bathymétrie sommaire de la retenue de Panthier (relevés bathymétrique ONEMA – isobat tous les mètres).

Comme toutes les retenues servant à l'alimentation du canal de Bourgogne, le réservoir de Panthier est une propriété de l'état, co-gérée par la DDT, le Service Navigation de Dijon et VNF. Il fait partie du Contrôle Opérationnel (CO), mis en place pour répondre aux exigences de la Directive cadre sur l'Eau en matière de surveillance des milieux. Son objectif est d'évaluer l'état des masses d'eau identifiées comme risquant de ne pas atteindre leurs objectifs environnementaux et rendre compte de l'efficacité des mesures mises en œuvre. Les pressions identifiées à l'origine du risque de non atteinte des objectifs environnementaux sur ce plan d'eau sont les pressions diffuses de type nutriments, l'altération de l'hydrologie et de la morphologie, et l'altération de la continuité piscicole.

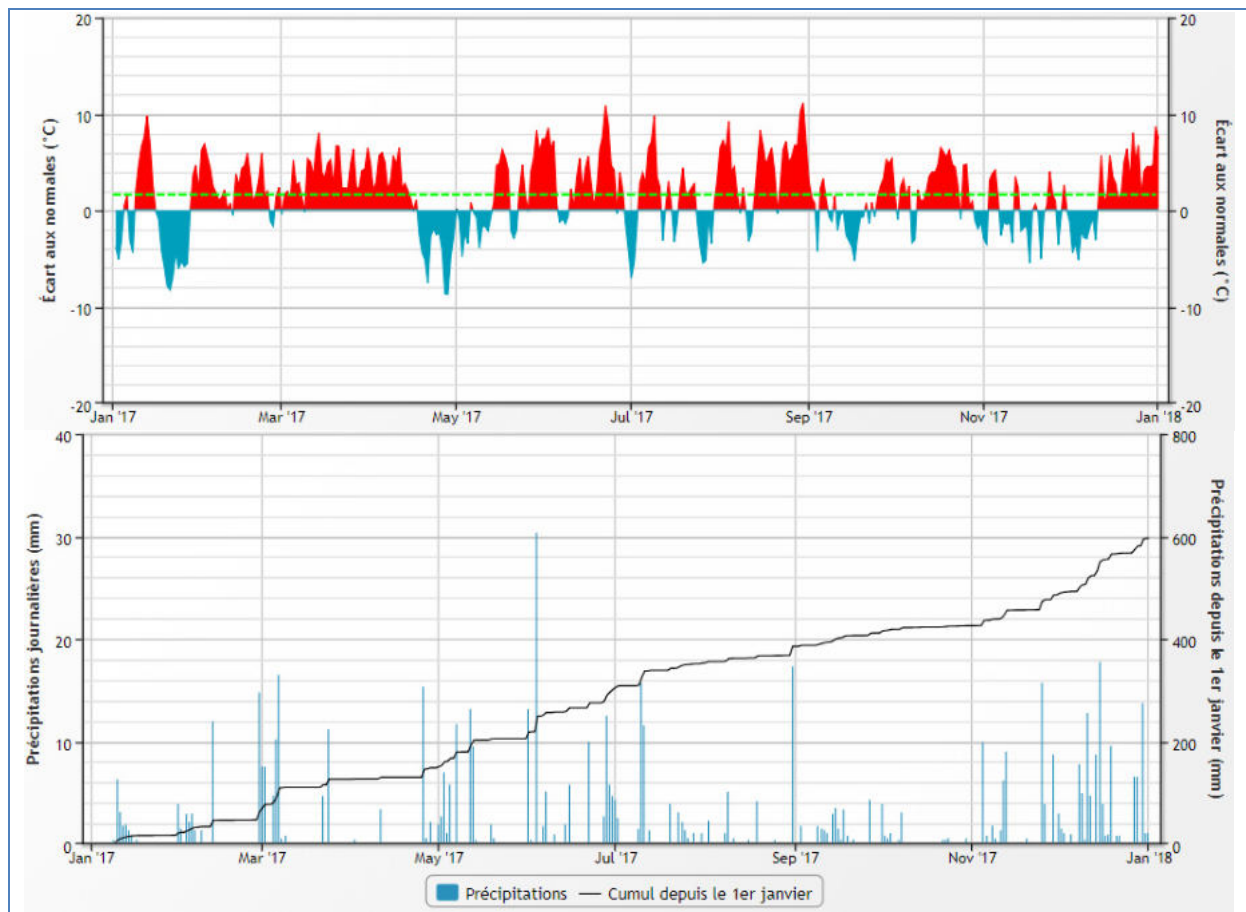


Figure 5 – Données météorologiques 2017 à Savigny-lès-Beaune (Côte-d'Or), 275 m d'altitude, à 24 kilomètres de la retenue de Panthier. Normales calculées sur la période 1981-2010 (source Infoclimat.fr, modifié).

Le Tableau 1 présente les dates et types d'interventions réalisés au cours de ce suivi 2017. La cote du plan d'eau est restée relativement stable au cours des trois premières campagnes (profondeur 9-10 m), puis a diminué de moitié lors de la C4 (5 m). Les cycles thermiques saisonniers de la colonne d'eau ont pu être cernés au cours des campagnes.

Tableau 1 – Calendrier des interventions sur la retenue de Panthier en 2017.

| | | Physico-chimie eau | sédiments | Phytoplancton |
|----|------------|-----------------------|-----------|---------------|
| C1 | 06/03/2017 | | | |
| C2 | 17/05/2017 | | | |
| C3 | 26/07/2017 | | | |
| C4 | 25/09/2017 | | | |

4. Physico-chimie des eaux et des sédiments

4.1 Physico-chimie des eaux

4.1.1 Profils verticaux

Les profils de mesure physico-chimiques au cours des quatre campagnes 2017 sont illustrés sur la *Figure 6*, page suivante. Lors de la première campagne, début mars, la masse d'eau est fraîche et homogène. Avec le réchauffement printanier des températures, une thermocline se dessine vers 2 m, la surface atteignant près de 19 °C alors que le fond est à 12,5 °C. Elle est véritablement installée en juillet, vers 4,5 m, affichant un gradient thermique de 8,3 °C entre la surface et le fond. En septembre, la retenue, qui assure le soutien d'étiage du canal de Bourgogne, ne mesure plus que 4,6 m au point de prélèvement. La thermocline s'est estompée et la masse d'eau ne présente plus qu'un différentiel thermique de 2,5 °C autour de 3 m. Classiquement, lors de l'installation de la stratification thermique estivale, le phytoplancton se concentre dans les eaux chaudes de surface. Les couches profondes, plus froides, donc plus denses que la couche supérieure, sont alors isolées de l'activité photosynthétique. Des processus biologiques et chimiques consomment alors l'oxygène présent en profondeur. Ainsi, dès le mois de mai, l'épilimnion est sursaturé à 113 % et le fond ne présente plus que 37 % de saturation. Lorsqu'en juillet, la thermocline est bien installée, les couches de surfaces sont saturées alors qu'à partir de 5 m de profondeur, le milieu est anoxique (0% de saturation). En septembre, malgré l'affaiblissement de la thermocline, l'oxycline est toujours très marquée. Le phytoplancton se concentre dans les deux premiers mètres (zone trophogène) qui présentent alors une sursaturation de 150 %, alors que ce taux diminue à 6,5 % dans les deux mètres suivants.

L'activité photosynthétique entraîne l'augmentation du pH dans l'épilimnion où elle se déroule. Ainsi, en mars la retenue affiche une valeur de 8,4 qui diminue autour de 7,5 dans les couches profondes lors des trois campagnes estivales. Au sein de l'épilimnion, le pH augmente conjointement avec la sursaturation, évoluant de 8,2 en mai à 8,8 en septembre. En parallèle, au sein de l'épilimnion, le phytoplancton consomme les sels minéraux. La conductivité passe ainsi d'environ 400 µS/cm à 270 µS/cm. En revanche, au sein de l'hypolimnion désoxygéné, le phénomène de relargage des sédiments se trahit par l'augmentation de la conductivité en profondeur. Lors de l'anoxie du fond des campagnes 2 et 3, elle y atteint 470 µS/cm.

Les concentrations en matière organique dissoute mesurées par fluorescence diminuent de 30 à environ 12 ppb ESQ au sein de l'épilimnion dès la C2 alors qu'elle semble s'accumuler en profondeur, atteignant 40 ppb ESQ en C3 et C4.

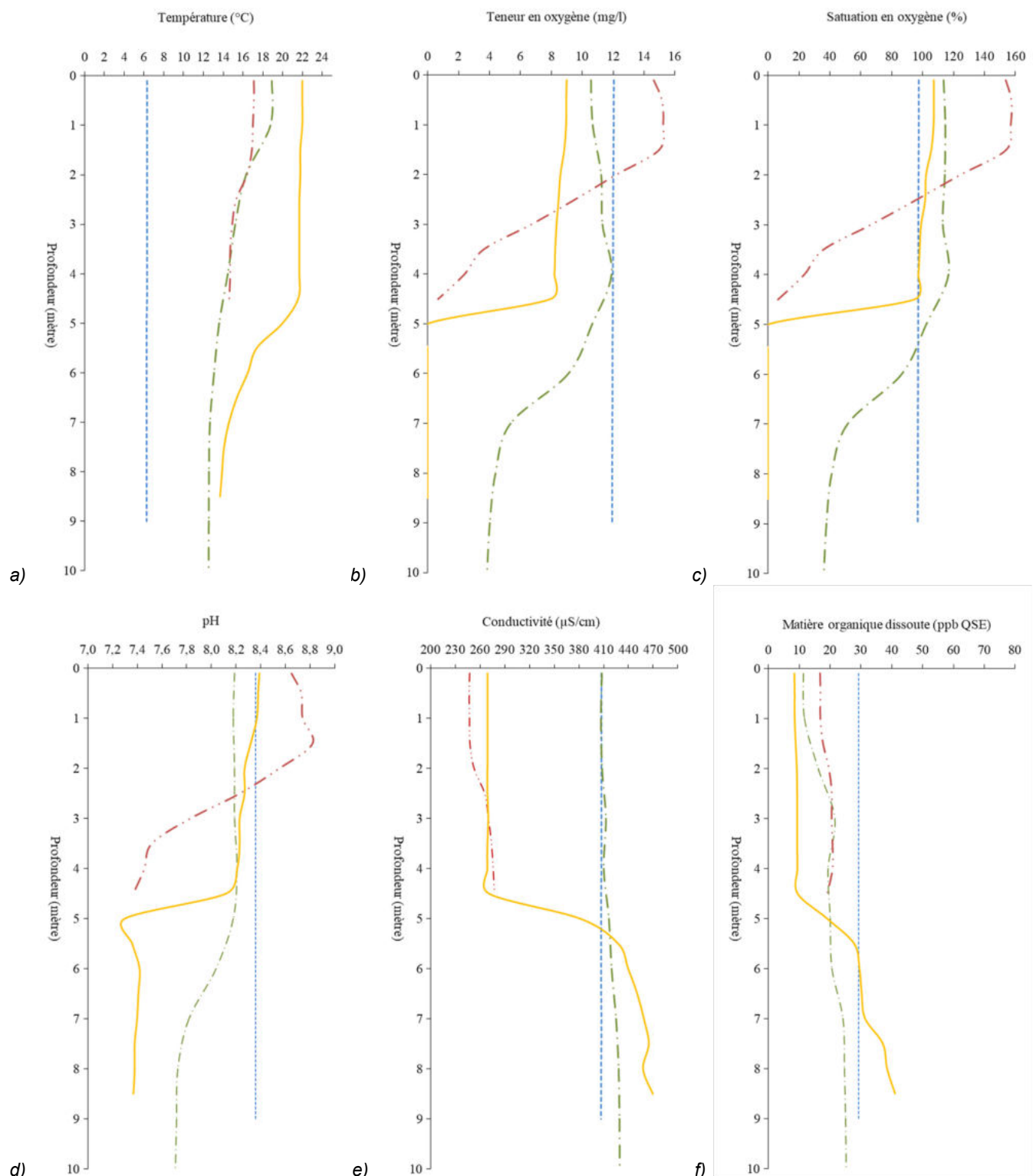


Figure 6 – Profils physico-chimiques de la campagne 2017 sur la retenue de Panthier. (a) Température (°C) ; (b) Concentration en oxygène (mg/l) ; (c) Saturation en oxygène (%) ; (d) pH ; (e) Conductivité à 25 °C (µS/cm - nLF) ; (f) Matière organique dissoute (ppb ESQ).

Campagne 1 (06/03/17) -----
 Campagne 3 (26/07/17) ———

Campagne 2 (17/05/17) - - - -
 Campagne 4 (25/09/17) - - - - -

4.1.2 Paramètres de minéralisation

Les paramètres de minéralisation des eaux de la retenue de Panthier ont été mesurés au sein de la zone trophogène ainsi que dans le prélèvement de fond lors de chaque campagne. Le *Tableau 2* présente les résultats d'analyses. Quatre paramètres ont une évolution significative entre les deux premières campagnes et les deux suivantes. Les concentrations en bicarbonate et calcium, et donc les valeurs de dureté et TAC sur lesquelles elles sont calculées, sont stables au sein de la colonne d'eau en C1 et C2. Elles présentent ensuite des baisses d'un facteur 2 entre les campagnes 2 et 3 au sein de l'épilimnion, et entre les campagnes 3 et 4 en profondeur. Au contraire, sodium, magnésium et sulfates voient leurs teneurs être quasiment doublées en C3 dans l'échantillon de fond, en anoxie totale. En septembre, ces taux sont redescendus à leurs précédentes valeurs.

Tableau 2 - Résultats pour les paramètres de minéralisation quantifiés sur la retenue de Panthier en 2017.

| Code sandre | Paramètre | Unité | Limite de quantification | C1 | | C2 | | C3 | | C4 | |
|-------------|---------------|-------------------------|--------------------------|---------|-------|---------|-------|---------|------|---------|------|
| | | | | Intégré | Fond | Intégré | Fond | Intégré | Fond | Intégré | Fond |
| 1327 | Bicarbonates* | mg(HCO ₃)/L | 6,1 | 216 | 215 | 210 | 223 | 118 | 244 | 93 | 121 |
| 1337 | Chlorures* | mg(Cl)/L | 0,1 | 12,2 | 12,2 | 12,2 | 12,2 | 12,6 | 16,4 | 12,8 | 12,9 |
| 1338 | Sulfates* | mg(SO ₄)/L | 0,2 | 22 | 22 | 21,9 | 21,8 | 20,2 | 13,2 | 19,7 | 19,4 |
| 1345 | Dureté | °F | 0,5 | 19,4 | 19,2 | 19,5 | 19,2 | 10,7 | 23,2 | 10 | 11,4 |
| 1347 | TAC* | °F | 0 | 17,8 | 17,65 | 17,55 | 18,25 | 9,65 | 20 | 8,7 | 9,9 |
| 1367 | Potassium* | mg(K)/L | 0,1 | 2,1 | 2,2 | 2,4 | 2,3 | 2,1 | 2,2 | 2,5 | 2,4 |
| 1372 | Magnésium* | mg(Mg)/L | 0,05 | 3,9 | 3,94 | 4,29 | 4,2 | 3,86 | 5,68 | 3,94 | 3,94 |
| 1374 | Calcium* | mg(Ca)/L | 0,1 | 71,1 | 70,2 | 70,8 | 69,8 | 36,3 | 83,4 | 33,4 | 38,9 |
| 1375 | Sodium* | mg(Na)/L | 0,2 | 7,8 | 7,8 | 8,7 | 8,2 | 8,7 | 17,6 | 8,9 | 8,8 |
| 7073 | Fluorures* | mg(F)/L | 0,05 | 0,15 | 0,15 | 0,16 | 0,15 | 0,15 | 0,14 | 0,15 | 0,15 |

4.1.3 Paramètres physico-chimiques généraux (hors micropolluants)

Les résultats analytiques des paramètres généraux hors micropolluants pour la retenue de Panthier sont listés dans le *Tableau 3*. La *Figure 7* présente une photographie du prélèvement de fond en C3 qui présentait une coloration noirâtre et une odeur caractéristique assez forte. Les évolutions conjointes des concentrations pigmentaires liées à la dynamique du phytoplancton (chlorophylle a et phéopigments), des matières en suspensions totales en surface et de la transparence sont représentées *Figure 8*.



Figure 7 - Prélèvement d'eau de fond réalisé le 26 juillet 2017 sur la retenue de Panthier.

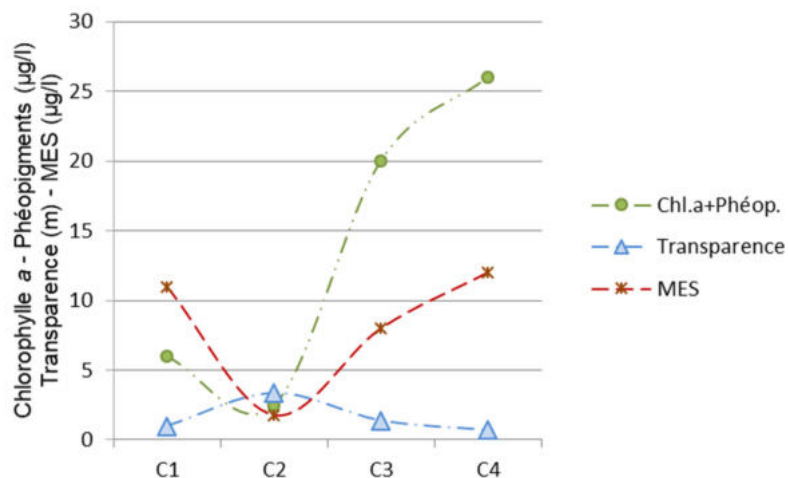


Figure 8 – Graphique de l'évolution conjointe des concentrations pigmentaires (chlorophylle a + phéopigments) de la transparence et des matières en suspension (MES) au cours des campagnes 2017 sur la retenue de Panthier.

Les pigments chlorophylliens sont quantifiés en concentrations faibles lors des deux premières campagnes. Ils baissent même d'un facteur 2 entre mars et mai. Les matières en suspension voient leurs concentrations baisser d'un facteur 6 et la transparence passe alors de 1 à 3,4 m. Dès la campagne suivante, les MES retrouvent une concentration s'approchant de celle mesurée en C1 alors que les pigments chlorophylliens présentent des teneurs relativement élevées, atteignant respectivement 20 et 26 µg/l en juillet et septembre. Parallèlement, la transparence de l'eau régresse alors à 1,4 m puis à 0,7 m.

Les taux de carbone organique restent peu élevés, autour de 3 mg/l, avec un pic à environ 5 mg/l en septembre. En ce qui concerne les nutriments, les nitrates sont en concentrations assez élevées à la sortie de l'hiver, 9 mg (NO_3^-)/l. Ils sont consommés par le développement phytoplanctonique et ne sont plus quantifiable dès le mois de juillet. C'est durant cette troisième campagne que les ions ammonium, dosés en faible quantité le reste de l'année, présentent un taux important de 0,89 mg (NH_4^+)/l, traçant un relargage des sédiments. Quant au phosphore, à l'opposé des nitrates, son taux est relativement peu important à la sortie de l'hiver – 0,03 mg/l. À partir de la C3, ce taux devient moyen dans l'ensemble de la colonne d'eau traduisant une accumulation de matière organique. Sa valeur maximale atteinte dans le fond lors de la campagne de mai est également notable, 0,091 mg/l. Enfin, les concentrations en phosphore minéral dissous – orthophosphates – peu importantes lors des trois premières campagnes, ~ 0,01mg (PO_4^{3-})/l, deviennent moyennes en septembre. Le ratio demande chimique/biologique en oxygène indique une prépondérance des processus biologiques dans l'utilisation de l'oxygène dont l'intensité augmente au fil des saisons.

Tableau 3 – Résultats des analyses physico-chimiques (hors micropolluants) quantifiés sur la retenue de Panthier en 2017.

| Code sandre | Paramètre | Unité | Limite de quantification | C1 | | C2 | | C3 | | C4 | |
|-------------|-----------------------|------------|--------------------------|---------|-------|---------|-------|---------|-------|---------|-------|
| | | | | Intégré | Fond | Intégré | Fond | Intégré | Fond | Intégré | Fond |
| 1436 | Phéopigments | µg/L | 1 | 1 | - | <LQ | - | 7 | - | 6 | - |
| 1439 | Chlorophylle a | µg/L | 1 | 5 | - | 2 | - | 13 | - | 20 | - |
| 1332 | Transparence | m | 0,01 | 1 | - | 3,4 | - | 1,4 | - | 0,7 | - |
| 1295 | Turbidité (Formazine) | NFU | 0,1 | 7 | 9,3 | 1,4 | 1,9 | 7,3 | 18 | 3,6 | 3,6 |
| 1305 | MeS | mg/L | 1 | 11 | 7,6 | 1,8 | 2,4 | 8 | 18 | 12 | 8 |
| 1313 | DBO | mg(O2)/L | 0,5 | 1,2 | 1,2 | 1,1 | 1 | 2,5 | 4 | 4 | 3 |
| 1314 | DCO | mg(O2)/L | 20 | <LQ | <LQ | <LQ | <LQ | <LQ | <LQ | <LQ | <LQ |
| 1841 | Carbone organique* | mg(C)/L | 0,2 | 3,1 | 3,1 | 3,2 | 3,3 | 3,7 | 3,1 | 5,5 | 4,9 |
| 1342 | Silicates* | mg(SiO2)/L | 0,05 | 0,06 | 0,06 | 1,2 | 1,7 | 2,3 | 8,3 | 4,7 | 5 |
| 1319 | Azote Kjeldahl | mg(N)/L | 0,5 | <LQ | <LQ | <LQ | <LQ | <LQ | 1,3 | 0,68 | 0,85 |
| 1335 | Ammonium* | mg(NH4)/L | 0,01 | 0,01 | 0,03 | 0,03 | 0,08 | 0,01 | 0,89 | 0,01 | <LQ |
| 1339 | Nitrites* | mg(NO2)/L | 0,01 | 0,04 | 0,04 | 0,07 | 0,08 | <LQ | <LQ | <LQ | 0,01 |
| 1340 | Nitrates* | mg(NO3)/L | 0,5 | 9,2 | 9,4 | 6,7 | 6,3 | <LQ | <LQ | <LQ | <LQ |
| 1350 | Phosphore total | mg(P)/L | 0,005 | 0,03 | 0,028 | 0,009 | 0,091 | 0,041 | 0,047 | 0,048 | 0,039 |
| 1433 | Phosphates* | mg(PO4)/L | 0,01 | <LQ | <LQ | <LQ | <LQ | <LQ | 0,01 | 0,07 | 0,08 |

* paramètres analysés sur eau filtrée

4.1.4 Micropolluants minéraux

Les métaux quantifiés au moins une fois au cours des quatre campagnes du suivi 2017 sont présentés *Tableau 4*. La liste de l'ensemble des micropolluants recherchés est fournie en annexe 1. Quatorze micropolluants minéraux ont ainsi été dosés au-dessus de leurs seuils de quantification :

- l'aluminium, à chaque campagne, en concentrations décroissantes, de, respectivement pour la surface et le fond, 47,7 et 23,5 µg/l en C1 à 4,4 et <2 µg/l en C4 ;
- l'arsenic, dont les concentrations sont peu élevées lors des deux premières campagnes, puis augmentent nettement sur les deux dernières et de manière encore plus marquée sur les échantillons de fond (jusqu'à 7 µg/l au fond en C3). Ces résultats sont sans doute induits par le relargage sédimentaire en condition anoxique ;
- le baryum, autour de 14 µg/l, sa concentration est divisée par 2 en C3 ;
- le cuivre, quantifié en faibles concentrations à chaque campagne entre 0,17 et 0,7 µg/l ;
- le fer, mesuré en faibles teneurs à toutes les campagnes (entre 34,2 et 6 µg/l) avec un maximum à 85,4 µg/l dans les profondeurs anoxiques en juillet ;
- le manganèse à moins de 1,9 µg/l ;
- le nickel, quantifié à un très faible taux ≤ 0,06 µg/l ;

- le sélénium et le thallium, quantifié uniquement durant les deux premières campagnes en teneurs très faibles ;
- le titane, dépassant ponctuellement sa limite de qualification ;
- l'uranium et le vanadium, quantifiés à chaque campagne à de basses teneurs, soit ≤ 0,55 µg/l.

Tableau 4 – Résultats d'analyses de métaux sur eau filtrée sur la retenue de Panthier en 2017.

| Paramètre | Code sandre | Unité | Limite de quantification | C1 | | C2 | | C3 | | C4 | |
|-----------|-------------|----------|--------------------------|---------|-------|---------|-------|---------|------|---------|------|
| | | | | Intégré | Fond | Intégré | Fond | Intégré | Fond | Intégré | Fond |
| Aluminium | 1370 | µg(Al)/L | 2 | 47,7 | 23,5 | 8 | 6,5 | 2,4 | < LQ | 4,4 | < LQ |
| Arsenic | 1369 | µg(As)/L | 0,5 | 0,8 | 0,8 | 0,9 | 0,9 | 1,77 | 7,03 | 2,41 | 3,26 |
| Baryum | 1396 | µg(Ba)/L | 0,5 | 13,1 | 13,4 | 13 | 13,8 | 8,5 | 8 | 7 | 15,9 |
| Bore | 1362 | µg(B)/L | 10 | 11 | 11 | 13 | 12 | 14 | 11 | 16 | 16 |
| Cobalt | 1379 | µg(Co)/L | 0,05 | 0,07 | 0,07 | 0,08 | 0,09 | < LQ | 0,07 | 0,08 | 0,07 |
| Cuivre | 1392 | µg(Cu)/L | 0,1 | 0,68 | 0,7 | 0,63 | 0,68 | 0,35 | 0,17 | 0,31 | 0,28 |
| Fer | 1393 | µg(Fe)/L | 1 | 34,2 | 27,6 | 15,7 | 14,5 | 6 | 85,4 | 15 | 6,2 |
| Manganèse | 1394 | µg(Mn)/L | 0,5 | 0,8 | 0,7 | 0,6 | 1,9 | < LQ | 1,1 | 0,6 | 0,5 |
| Nickel | 1386 | µg(Ni)/L | 0,5 | 0,7 | 0,7 | 0,7 | 0,8 | 0,6 | 0,6 | 0,8 | 0,8 |
| Sélénum | 1385 | µg(Se)/L | 0,1 | < LQ | < LQ | 0,1 | 0,11 | < LQ | < LQ | < LQ | < LQ |
| Thallium | 2555 | µg(Tl)/L | 0,01 | < LQ | 0,014 | 0,017 | 0,018 | < LQ | < LQ | < LQ | < LQ |
| Titane | 1373 | µg(Ti)/L | 0,5 | 1 | 1,1 | < LQ | 0,6 | < LQ | < LQ | 0,6 | 0,8 |
| Uranium | 1361 | µg(U)/L | 0,05 | 0,45 | 0,45 | 0,51 | 0,51 | 0,44 | 0,28 | 0,43 | 0,41 |
| Vanadium | 1384 | µg(V)/L | 0,1 | 0,26 | 0,24 | 0,3 | 0,32 | 0,28 | 0,11 | 0,55 | 0,27 |

4.1.5 Micropolluants organiques

Le *Tableau 5* regroupe les dix-neuf micropolluants organiques quantifiés lors d'au moins une campagne en 2017 sur la retenue de Panthier. La liste de l'ensemble des micropolluants recherchés est disponible en annexe 1.

Tableau 5 – Résultats d'analyses des micropolluants organiques sur eau brute sur la retenue de Panthier en 2017.

| Paramètre | Code sandre | Famille | Unité | Limite de quantification | C1 | | C2 | | C3 | | C4 | |
|------------------------|-------------|------------------|-------|--------------------------|---------|--------|---------|--------|---------|--------|---------|--------|
| | | | | | Intégré | Fond | Intégré | Fond | Intégré | Fond | Intégré | Fond |
| 4-tert-butylphénol | 2610 | Phénols | µg/L | 0,02 | < LQ | < LQ | 0,04 | 0,04 | 0,1 | 0,04 | < LQ | < LQ |
| AMPA | 1907 | Divers | µg/L | 0,02 | 0,034 | 0,023 | 0,022 | 0,029 | < LQ | 0,05 | 0,024 | 0,034 |
| Bentazone | 1113 | Benzothiazinones | µg/L | 0,02 | < LQ | < LQ | 0,023 | < LQ | < LQ | < LQ | < LQ | < LQ |
| Benzo (b) Fluoranthène | 1116 | HAP | µg/L | 0,0005 | 0,0008 | 0,0009 | < LQ | < LQ | < LQ | 0,0017 | 0,001 | 0,0007 |
| Benzo (ghi) Pérylène | 1118 | HAP | µg/L | 0,0005 | 0,0007 | 0,0008 | < LQ | < LQ | < LQ | 0,0009 | 0,0005 | < LQ |
| Bisphénol-A | 2766 | Bisphénols | µg/L | 0,05 | 0,183 | < LQ | < LQ | 0,238 | < LQ | < LQ | < LQ | < LQ |
| Caféine | 6519 | - | µg/L | 0,02 | 0,04 | 0,032 | 0,054 | 0,043 | 0,539 | 0,028 | < LQ | < LQ |
| DEHP | 6616 | Phtalates | µg/L | 0,4 | 0,83 | 1,63 | < LQ | < LQ | < LQ | < LQ | < LQ | < LQ |
| EDTA | 1493 | Divers | µg/L | 5 | < LQ | < LQ | < LQ | < LQ | < LQ | < LQ | 8 | < LQ |
| Formaldéhyde | 1702 | Aldéhydes | µg/L | 1 | < LQ | < LQ | < LQ | < LQ | < LQ | 1 | 2 | 2 |
| Indéno (123c) Pyrène | 1204 | HAP | µg/L | 0,0005 | < LQ | < LQ | < LQ | < LQ | < LQ | 0,0008 | < LQ | < LQ |
| Irbesartan | 6535 | - | µg/L | 0,005 | 0,006 | < LQ | < LQ | < LQ | < LQ | < LQ | < LQ | < LQ |
| Isoproturon | 1208 | Urées | µg/L | 0,02 | 0,03 | 0,031 | < LQ | < LQ | < LQ | < LQ | < LQ | < LQ |
| Métaldéhyde | 1796 | Cyclo-octanes | µg/L | 0,02 | < LQ | 0,033 | < LQ | < LQ | 0,064 | 0,078 | 0,073 | 0,061 |
| Métazachlore | 1670 | Chloroacétamides | µg/L | 0,005 | 0,01 | 0,009 | < LQ | < LQ | < LQ | < LQ | < LQ | < LQ |
| Metolachlor ESA | 6854 | Organo chlorés | µg/L | 0,02 | 0,022 | 0,021 | 0,026 | 0,027 | 0,023 | 0,026 | < LQ | < LQ |
| Monobutyletai cation | 2542 | Organo étains | µg/L | 0,0025 | 0,0034 | 0,0051 | < LQ | 0,0035 | < LQ | < LQ | < LQ | < LQ |
| Naphtalène | 1517 | HAP | µg/L | 0,005 | 0,006 | 0,006 | < LQ | 0,006 | < LQ | < LQ | < LQ | < LQ |
| Nicotine | 5657 | - | µg/L | 0,02 | < LQ | 0,047 | < LQ | < LQ | < LQ | 0,044 | 0,022 | < LQ |

Il s'agit d'une présentation des résultats bruts, certaines valeurs pouvant être qualifiées d'incertaines suite à la validation finale des résultats (cas par exemple des valeurs mesurées en BTEX, DEHP, formaldéhyde, dont une contamination via la chaîne de prélèvement et/ou d'analyse de laboratoire est parfois privilégiée).

Quatre hydrocarbures aromatiques polycycliques (HAP) ont été quantifiés périodiquement, le benzo (b) fluoranthène, le benzo (g,h,i) pérylène, l'indéno (123c) pyrène et le naphtalène. Ces composés affichent des teneurs peu élevées, à l'exception du premier qui atteint la valeur moyenne de 0,0017 µg/l dans le prélèvement de fond de la C3.

Le DEHP, un phtalate utilisé dans l'industrie plastique, est également mesuré à un taux moyen en surface et en profondeur en C1. La nicotine et la caféine sont des indicateurs de l'activité humaine. La première n'est quantifiée que sporadiquement. Quant à la deuxième, elle dépasse sa limite de quantification durant les trois premières campagnes avec un pic à 0,54 µg/l en surface en C3.

Parmi les autres paramètres, la quantification du métolachlor ESA peut être signalée. Il s'agit d'un métabolite du métalochlore et du S-métalochlore, deux pesticides organochlorés (le S-métalochlore remplaçant le métalochlore, interdit en France depuis 2003). Sa concentration dépasse légèrement sa limite de quantification durant les trois premières campagnes.

4.2 Physico-chimie des sédiments

4.2.1 Paramètres physico-chimiques généraux (hors micropolluants)

Le Tableau 6 fournit les résultats des analyses granulométriques et de physico-chimie générale des sédiments de la retenue de Panthier prélevés lors de la 4^{ème} campagne.

Tableau 6 – Physico-chimie et granulométrie des sédiments de la retenue de Panthier (25/09/17).

| Fraction | Code sandre | Paramètre | Unité | Limite de quantification | Valeur |
|---------------------------------------|-------------|--|-------------|--------------------------|--------|
| Particule inf. 2 mm | 1307 | Matière sèche à 105°C | % | - | 47,4 |
| Matière sèche de particules inf. 2 mm | 5539 | Matière Sèche Minérale (M.S.M) | % | - | 91,6 |
| | 5540 | Matière Sèche Organique (M.S.O) | % | - | 8 |
| | 6578 | Perte au feu à 550°C | % | - | 8,4 |
| | 1841 | Carbone organique | mg(C)/kg MS | 1000 | 23519 |
| Eau intersticielle filtrée | 1335 | Ammonium | mg(NH4)/L | 0,5 | 8,8 |
| | 1433 | Phosphates | mg(PO4)/L | 0,015 | 0,043 |
| Eau intersticielle brute | 1350 | Phosphore total | mg(P)/L | 0,01 | 0,28 |
| Matière sèche de particules inf. 2 mm | 1319 | Azote Kjeldahl | mg(N)/kg MS | 1000 | 3979,7 |
| | 1335 | Ammonium | mg(N)/kg MS | 200 | < LQ |
| | 1350 | Phosphore total | mg(P)/kg MS | 2 | 1137 |
| Matière sèche de particules inf. 2 mm | 6228 | Teneur en fraction inférieure à 20 µm | % | - | 83 |
| | 3054 | Teneur en fraction de 20 à 63 µm | % | - | 15,4 |
| | 7042 | Teneur en fraction de 63 à 150 µm | % | - | 1,4 |
| | 7043 | Teneur en fraction de 150 à 200 µm | % | - | 0,2 |
| | 7044 | Teneur en fraction supérieure à 200 µm | % | - | 0 |

La *Figure 9* présente une photographie du prélèvement. Les sédiments sont composés à 98 % de limons argileux fins à très fins (< 63 µm), avec une part moyenne de matière organique (perte au feu de 8,4 %).

Les charges en azote et carbone organiques sont faibles à peu élevées. La teneur en phosphore y est par contre moyenne, soit 1 137 mg/kg MS. La concentration en ammonium de l'eau interstitielle est par contre significative et traduit une activité de relargage des sédiments (8,8 mg(NH₄)/L).



Figure 9 – Sédiments de la retenue de Panthier prélevés au niveau du point profond le 25/09/17.

4.2.2 Micropolluants minéraux

Les vingt-six micropolluants minéraux recherchés sont présentés en annexe 2. À l'exception du tellure, ils ont tous été quantifiés dans les sédiments de la retenue de Panthier en 2017. Les résultats des analyses sont présentés dans le *Tableau 7*. Le fer et l'aluminium sont dosés en concentrations élevées, respectivement 33 110 mg/kg MS et 59 060 mg/kg MS. Arsenic, chrome et nickel sont mesurés en concentrations moyennes à légèrement élevées, respectivement, 19,1 mg/kg MS, 77,8 mg/kg MS et 42,6 mg/kg MS.

4.2.3. Micropolluants organiques

L'annexe 2 présente la liste de l'ensemble des micropolluants recherchés. Douze micropolluants organiques, tous des hydrocarbures aromatiques polycycliques (HAP) ont été quantifiés dans les sédiments de la retenue de Panthier en 2017. Ils sont listés dans le *Tableau 8*. Neuf d'entre eux sont dosés en concentrations moyennes à légèrement élevées:

- benzo(a)anthracène (63 µg/kg MS)
- benzo(a)pyrène (84 µg/kg MS)
- benzo(b)fluoranthène (128 µg/kg MS)
- benzo(ghi)pérylène (62 µg/kg MS)
- chrysène (63 µg/kg MS)
- dibenzo (a,h) anthracène (11 µg/kg MS)
- fluoranthène (136 µg/kg MS)
- indéno (1,2,3c) pyrène (53 µg/kg MS)
- pyrène (113 µg/kg MS)

Lors du précédent suivi (2014), ces mêmes HAP, à l'exception du dibenzo (a,h) anthracène étaient déjà quantifiés. La somme des concentrations quantifiées en HAP atteint cette année encore une valeur moyenne de 817 µg/kg MS, contre 1166 µg/kg MS en 2014 et 1134 µg/kg MS en 2011. Les sédiments peuvent toujours être considérés comme contaminés par les HAP.

Tableau 7 – Micropolluants minéraux quantifiés dans les sédiments de la retenue de Panthier en 2017.

| Paramètre | Code sandre | Unité | Limite de quantification | Valeur |
|-----------|-------------|--------------|--------------------------|--------|
| Aluminium | 1370 | mg(Al)/kg MS | 5 | 59060 |
| Antimoine | 1376 | mg(Sb)/kg MS | 0,2 | 0,5 |
| Argent | 1368 | mg(Ag)/kg MS | 0,1 | 0,2 |
| Arsenic | 1369 | mg(As)/kg MS | 0,2 | 19,1 |
| Baryum | 1396 | mg(Ba)/kg MS | 0,4 | 214 |
| Beryllium | 1377 | mg(Be)/kg MS | 0,2 | 1,3 |
| Bore | 1362 | mg(B)/kg MS | 1 | 57,2 |
| Cadmium | 1388 | mg(Cd)/kg MS | 0,2 | 0,2 |
| Chrome | 1389 | mg(Cr)/kg MS | 0,2 | 77,8 |
| Cobalt | 1379 | mg(Co)/kg MS | 0,2 | 14 |
| Cuivre | 1392 | mg(Cu)/kg MS | 0,2 | 19,4 |
| Etain | 1380 | mg(Sn)/kg MS | 0,2 | 2,4 |
| Fer | 1393 | mg(Fe)/kg MS | 5 | 33110 |
| Lithium | 1364 | mg(Li)/kg MS | 1 | 135,1 |
| Manganèse | 1394 | mg(Mn)/kg MS | 0,4 | 664,1 |
| Mercure | 1387 | mg(Hg)/kg MS | 0,02 | 0,05 |
| Molybdène | 1395 | mg(Mo)/kg MS | 0,2 | 0,7 |
| Nickel | 1386 | mg(Ni)/kg MS | 0,2 | 42,6 |
| Plomb | 1382 | mg(Pb)/kg MS | 0,2 | 22,1 |
| Sélénium | 1385 | mg(Se)/kg MS | 0,2 | 2 |
| Thallium | 2555 | mg(Tl)/kg MS | 0,2 | 1,6 |
| Titane | 1373 | mg(Ti)/kg MS | 1 | 3503 |
| Uranium | 1361 | mg(U)/kg MS | 0,2 | 1,7 |
| Vanadium | 1384 | mg(V)/kg MS | 0,2 | 101,1 |
| Zinc | 1383 | mg(Zn)/kg MS | 0,4 | 112,8 |

Tableau 8 – Micropolluants organiques quantifiés dans les sédiments de la retenue de Panthier en 2017.

| Paramètre | Code sandre | Famille | Unité | Limite de quantification | Valeur |
|-------------------------|-------------|---------|----------|--------------------------|--------|
| Acénaphtylène | 1622 | HAP | µg/kg MS | 20 | 26 |
| Anthracène | 1458 | HAP | µg/kg MS | 10 | 35 |
| Benzo (a) Anthracène | 1082 | HAP | µg/kg MS | 10 | 63 |
| Benzo (a) Pyrène | 1115 | HAP | µg/kg MS | 10 | 84 |
| Benzo (b) Fluoranthène | 1116 | HAP | µg/kg MS | 10 | 128 |
| Benzo (ghi) Pérylène | 1118 | HAP | µg/kg MS | 10 | 62 |
| Benzo (k) Fluoranthène | 1117 | HAP | µg/kg MS | 10 | 43 |
| Chrysène | 1476 | HAP | µg/kg MS | 10 | 63 |
| Dibenzo (ah) Anthracène | 1621 | HAP | µg/kg MS | 10 | 11 |
| Fluoranthène | 1191 | HAP | µg/kg MS | 40 | 136 |
| Indéno (123c) Pyrène | 1204 | HAP | µg/kg MS | 10 | 53 |
| Pyrène | 1537 | HAP | µg/kg MS | 40 | 113 |



Retenue de Panthier le 17 mai 2017

5. Phytoplancton

L'échantillonnage du phytoplancton a été réalisé sur la retenue de Panthier au niveau de la zone trophogène au cours des quatre campagnes de prélèvement. Avec 190 taxons, la diversité globale du peuplement de 2017 est élevée, mais le biovolume global est essentiellement représenté par un à quatre taxons par campagne. Concentrations phytoplanctoniques et biovolumes présentent une nette augmentation entre les deux premières campagnes et les deux suivantes.

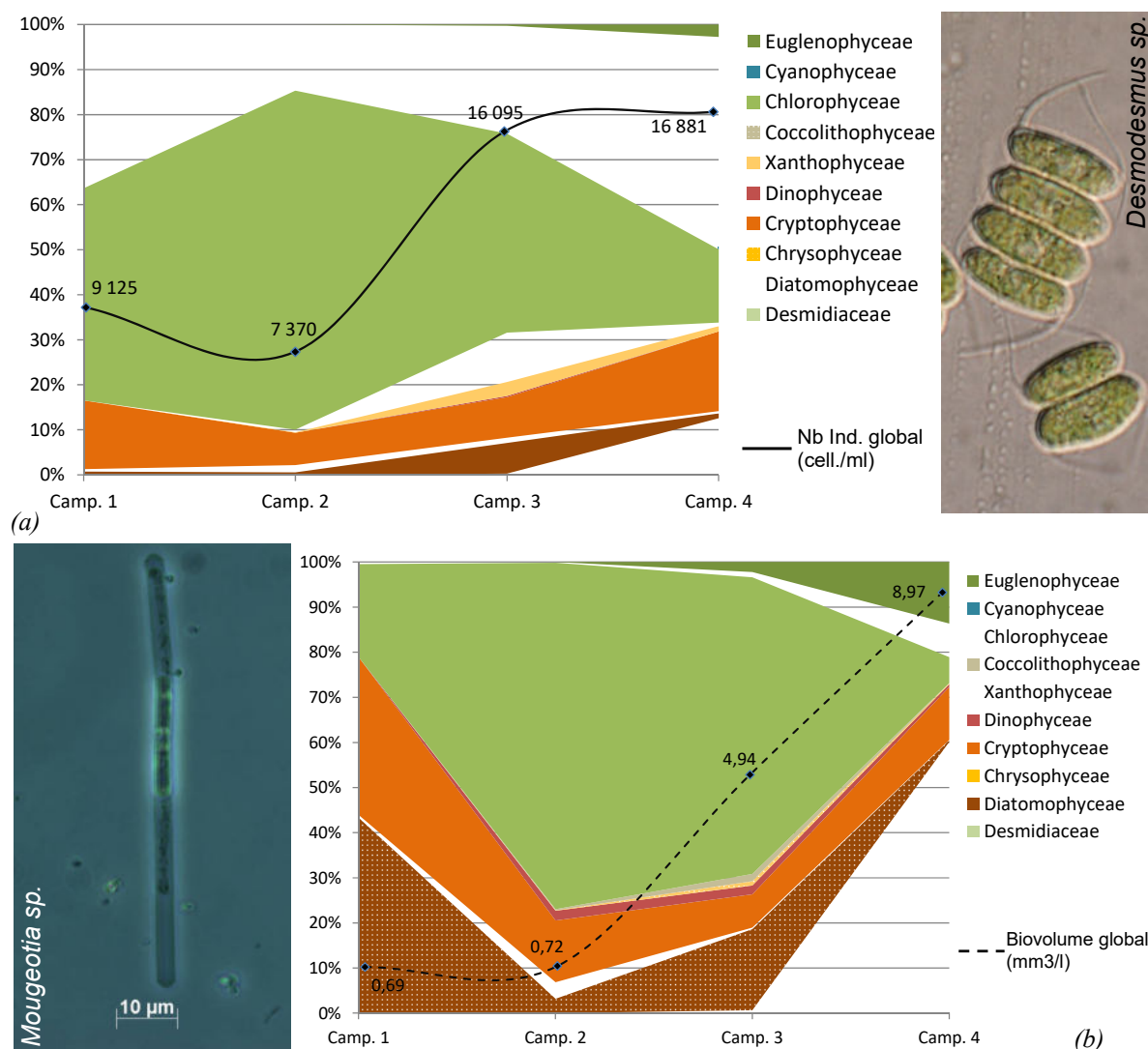


Figure 10 - Évolution de la structure des populations phytoplanctoniques de la retenue de Panthier au cours des 4 saisons de prélèvement 2017 (regroupés en principaux groupes pigmentaires). (a) Évolution en termes de concentration (exprimée en nombre de cellules par ml d'eau) ; (b) Évolution en termes de biovolume algal (exprimé en mm³/l).

Relativement stable en termes de concentration et de biovolume en C1 et C2, autour de respectivement 8 000 cell./ml et 0,7 mm³/l, ces deux paramètres de structure du peuplement

sont multipliés par des facteurs de, respectivement, 2 et 7 en C3. Durant la dernière campagne, les taxons de grandes tailles progressent, car si la teneur en cellules phytoplanctoniques est relativement stable, le volume algal est multiplié par 1,8.

Globalement, le phytoplancton en 2017 est dominé sur la retenue de Panthier, en nombre de cellules par ml, par les groupes pigmentaires des chlorophycées et cyanophycées. Tous deux ont une préférence pour les eaux plutôt chaudes et riches en nutriments. En première campagne, le premier groupe est principalement représenté par *Desmodesmus costato-granulatus* et de petites espèces du genre *Dyctyopsphaerium*, le second par *Aphanocapsa delicatissima*, petite cyanophyte coloniale bénigne caractéristiques des eaux mésotrophes à eutrophes. Ces dernières représentent encore 10 % des individus dénombrés en C2. Lors de cette campagne, 40 % du peuplement global est constitué par la chlorophycée coloniale commune, *Tetrastrum triangulare*. Ce taxon représente près d'un tiers des 76 % du biovolume global occupée par les chlorophycées.

Lors du pic de production observé en juillet, *A. delicatissima* compte encore pour 22 % des cellules du phytoplancton. 30 % sont des chlorophycées. Ce sont principalement des *Coelastrum microporum*, formant des colonies et ayant une affinité marquée pour les plans d'eau méso-eutrophes, et une grande chlorophycée flagellée *Carteria globosa* qui représente 41 % du biovolume global. La motilité est un avantage lors de stratification telle que celle observée sur cette campagne. En effet, les individus peuvent alors évoluer entre la surface pour optimiser l'activité photosynthétique, et le métalimnion, plus riche en nutriments provenant des profondeurs. Ainsi, la coccolithophycée *Erkenia subaequiciliata*, taxon flagellé, augmente de 41 à 1763 cell./ml, soit une augmentation d'un facteur 41. En termes de biovolume global, ce taxon représente alors 11 % en campagne 3, contre 0,6 % en campagne 2. Le genre *Fragilaria*, regroupant de grandes diatomées coloniales aimant les milieux riches, en compte pour 14 % en juillet pour moins de 2 % de la concentration totale. Ce taxon semble quant à lui profiter de l'augmentation de la teneur en silicates au sein de la retenue en juillet (cf. Tableau 3). En fait, l'ensemble des groupes pigmentaires présentent des augmentations plus ou moins significatives de leurs concentrations et de leurs biovolumes. Cet accroissement du peuplement phytoplanctonique en C3 se retrouve également au niveau de la diversité des taxons présents, passant de 32 à 40 lors des deux premières campagnes à 65 au mois de juillet. La dernière campagne se caractérise par le développement de la desmidiacée *Mougeotia sp.* Apparaissant en C3, elle représente en septembre 12,6 % de la concentration totale et 60 % du biovolume globale. Ce taxon, relativement commun, peut toutefois former en conditions favorables des blooms littoraux au sein de masses d'eaux en voie d'acidification. La présence d'euglènes, généralement observées dans des milieux très enrichis peut également être signalée. Elles représentent 13,7 % du biovolume mais seulement 2,8 % de la

concentration totale. Cette dernière, relativement stable par rapport à celle mesurée en C3, est composée à 47 % de cyanophycées appréciant les milieux stratifiés, notamment d'*Aphanizomenon gracile*. Cette dernière affectionne les masses d'eau peu turbulentes au sein desquelles elle est capable de migration. *A. gracile* est exigeante en lumière et en nutriments phosphorés, qui atteignent leurs concentrations maximales en septembre (*Tableau 3*). Ce taxon est capable de produire des hétérocystes pouvant fixer l'azote de l'atmosphère lorsque l'azote minéral vient à manquer dans le milieu aqueux (nitrates < 0,5 mg(NO₃⁻)/l en C3 et 4). Enfin, lorsqu'elle atteint de très importantes concentrations, et sous certaines conditions, *A. gracile* peut former de très importantes fleurs d'eau et présenter un risque de production d'hépatotoxines et de neurotoxines.

L'indice phytoplancton lacustre (**IPLAC**) calculé sur les trois dernières campagnes de production est de **0,528** pour cette période 2017, soit un « **état moyen** » au regard de cet indicateur. La sous métrique de biomasse algale (MBA) n'atteint que 0,419. Basée sur les mesures de chlorophylles a, elle est défavorable, approchant la classe « médiocre ». Au contraire, la métrique de composition spécifique (MCS), tendant à qualifier le niveau trophique du plan d'eau, est plus favorable. De 0,575, elle décrit un milieu plutôt mésotrophe. Le pourcentage de taxons pris en compte dans le calcul de cette métrique varie 32,3 et 52,5 % en fonction des campagnes. Toutefois, l'image du milieu que traduit cette métrique correspond avec l'analyse des listes floristiques.

Lors du suivi 2014, l'indice IPL calculé était alors de 44,3/100, traduisant un milieu mésotrophe. Le peuplement était également faible en termes de concentration (< 18 000 cell./ml) et de biovolume (< 7 mm³/l). Ce dernier, comme en 2017, augmentait au cours des campagnes estivales. Toutefois, les cryptophycées et dinophycées, très présentes en C3 et C4 en 2014, ont ici fortement régressé au profit des chlorophycées et desmidiacées pour le biovolume et des chlorophycées et cyanophycées en termes de concentrations algales.

Tableau 9 – Liste floristique du phytoplancton échantillonné au cours des 4 campagnes 2017 sur la retenue de Panthier. Les taxons sont présentés en concentrations (cell./ml).

| CLASSES | TAXONS | Codes Sandre | CAMPAGNES | | | |
|-------------------|---|--------------|-----------|------|------|-----|
| | | | C1 | C2 | C3 | C4 |
| BACILLARIOPHYCEAE | <i>Achnanthidium catenatum</i> | 7074 | | 436 | 22 | |
| | Diatomées pennées indéf. (30 - 100 µm) | 6598 | | 7 | 41 | |
| | <i>Eunotia</i> | 7569 | | 7 | | |
| | <i>Gyrosigma</i> | 9440 | | | | |
| | <i>Navicula radiosa</i> | 8106 | 50 | | | |
| | <i>Nitzschia</i> | 9804 | | | | |
| | <i>Nitzschia acicularis</i> | 8809 | | 124 | | |
| | <i>Nitzschia acidoclinata</i> | 8810 | 17 | | | |
| | <i>Ankyra judayi</i> | 5596 | 17 | 324 | 133 | |
| | <i>Carteria globosa</i> | 20064 | | 2074 | 66 | |
| CHLOROPHYCEAE | <i>Chlamydomonas</i> | 6016 | | 21 | | |
| | <i>Chlamydomonas (< 10 µm)</i> | 6016 | 33 | | | |
| | <i>Chlamydomonas (< 10µm)</i> | 6016 | | 228 | | |
| | <i>Chlamydomonas > 20 µm</i> | 6016 | | 21 | | |
| | Chlamydomonas sp. (< 10 µm) | 6016 | | 4 | | |
| | <i>Chlorophycées unicellulaires (5 - 10 µm)</i> | 1115 | | | 44 | |
| | <i>Chlorophycées unicellulaires (5-10 µm)</i> | 1115 | 17 | | | |
| | <i>Coelastrum microporum</i> | 5610 | | 2821 | | |
| | <i>Coenochloris fottii</i> | 5618 | | 634 | | |
| | <i>Crucigenia tetrapedia</i> | 5633 | | 15 | | |
| | <i>Desmodesmus abundans</i> | 31929 | | 133 | | |
| | <i>Desmodesmus aculeolatus</i> | 37353 | | 177 | | |
| | <i>Desmodesmus bicaudatus</i> | 37351 | | | | |
| | <i>Desmodesmus communis</i> | 31933 | | 83 | 88 | |
| | <i>Desmodesmus costato-granulatus</i> | 31932 | 1759 | | | |
| | <i>Desmodesmus opoliensis</i> | 30006 | | 88 | | |
| | <i>Desmodesmus subspicatus</i> | 31950 | | 41 | 177 | |
| | <i>Monoraphidium arcuatum</i> | 5729 | | | | |
| | <i>Monoraphidium contortum</i> | 5731 | 17 | | | |
| | <i>Monoraphidium griffithii</i> | 5734 | | 4 | 21 | |
| | <i>Monoraphidium komarkovae</i> | 5735 | 66 | 104 | 44 | |
| | <i>Monoraphidium minutum</i> | 5736 | 282 | 7 | 41 | |
| CHRYSORPHYCEAE | <i>Monoraphidium tortile</i> | 5741 | | 4 | | |
| | <i>Pediastrum boryanum</i> | 5769 | | 22 | | |
| | <i>Pediastrum simplex</i> | 5777 | | 166 | | |
| | <i>Phacotus lenticularis</i> | 6048 | 50 | 11 | 83 | 111 |
| | <i>Scenedesmus arcuatus</i> | 5807 | | 71 | | |
| | <i>Scenedesmus ellipticus</i> | 5826 | | 34 | | |
| | <i>Scenedesmus granulatus</i> | 5829 | | | 44 | |
| | <i>Stichococcus (< 4 µm largeur)</i> | 6003 | 17 | | | |
| | <i>Stichococcus sp. (< 4 µm)</i> | 6003 | | 7 | | |
| | <i>Tetradesmus lagerheimii</i> | 42838 | | 104 | | |
| COCCOLITHOPHYCEAE | <i>Tetraedron caudatum</i> | 5885 | | 21 | 22 | |
| | <i>Tetraedron minimum</i> | 5888 | 17 | 124 | 332 | |
| | <i>Tetrastrum staurogeniaeforme</i> | 5904 | | | 88 | |
| | <i>Tetrastrum triangulare</i> | 9300 | | 3005 | 83 | |
| | <i>Treubaria triappendiculata</i> | 5913 | | | 41 | |
| CHRYSORPHYCEAE | <i>Chrysococcus</i> | 9570 | 50 | 19 | 41 | 88 |
| | <i>Chrysophycées indéf.</i> | 1160 | | | 62 | |
| | <i>Chrysophycées indéterminées</i> | 1160 | | | 62 | |
| | <i>Dinobryon divergens</i> | 6130 | | 97 | | |
| | <i>Kephyrion rubri-claustri</i> | 6152 | | | 20,7 | |
| COCCOLITHOPHYCEAE | <i>Erkenia subaequiciliata</i> | 6149 | | 41 | 1763 | 133 |

...suite page suivante

....Suite du Tableau 9

| | | | | | |
|---------------------|--|-------|--------|------|-----------|
| CONJUGATOPHYCEAE | <i>Mougeotia</i> | 1146 | 2124 | | |
| | <i>Spondylosium planum</i> | 5443 | 41 | | |
| | <i>Staurastrum</i> | 1128 | | | |
| COSCINODISCOPHYCEAE | Diatomées centriques indét. (> 10 µm) | 12334 | 11 | | |
| | Diatomées centriques indét. (< 10 µm) | 6598 | 7 62 | | |
| | Diatomées centriques indét. (5 µm) | 12334 | 7 21 | | |
| | <i>Rhizosolenia eriensis</i> | 8732 | 21 | | |
| CRYPTOPHYCEAE | <i>Chroomonas</i> | 6260 | 41 | | |
| | <i>Cryptomonas</i> | 6269 | 66 | 34 | 465 |
| | <i>Cryptomonas marssonii</i> | 6273 | 17 | 4 | |
| | <i>Cryptomonas sp.</i> | 6269 | | | 62 |
| | <i>Goniomonas truncata</i> | 35416 | 100 | | 1141 398 |
| | <i>Plagioselmis nannoplantica</i> | 9634 | 1211 | 492 | 207 2124 |
| CYANOPHYCEAE | <i>Aphanizomenon flos-aquae</i> | 6291 | 664 | | |
| | <i>Aphanizomenon gracile</i> | 6292 | 2035 | | |
| | <i>Aphanizomenon issatschenkoi</i> | 9668 | | | |
| | <i>Aphanocapsa delicatissima</i> | 6308 | 3318 | 708 | 3526 1327 |
| | <i>Aphanothece</i> | 6346 | | | 885 |
| | <i>Aphanothece clathrata</i> | 6349 | | 149 | |
| | <i>Chroococcus minor</i> | 9642 | | | 88 |
| | <i>Cyanodictyon plantonicum</i> | 9709 | | 224 | |
| | <i>Merismopedia glauca</i> | 6327 | | | 332 |
| | <i>Merismopedia tenuissima</i> | 6330 | | | |
| | <i>Microcystis wesenbergii</i> | 6384 | 1106 | | |
| | <i>Oscillatoriales indét. fines</i> | 6391 | | | |
| DICTYOCOLOPHYCEAE | <i>Synechococcus nidulans</i> | 9726 | 1858 | | |
| | <i>Pseudopedinella elastica</i> | 20753 | 4 | | |
| DINOPHYCEAE | <i>Ceratium</i> | 4949 | 1 2 | | |
| | <i>Ceratium hirundinella</i> | 6553 | | | |
| | <i>Gymnodinium</i> | 4925 | 41 | | |
| | <i>Peridinium cunningtonii</i> | 25630 | | | |
| EUGLENOPHYCEAE | <i>Euglena</i> | 6479 | 111 | | |
| | <i>Phacus curvicauda</i> | 6506 | | | |
| | <i>Phacus longicauda</i> | 6511 | | | |
| | <i>Phacus tortus</i> | 6521 | | | |
| | <i>Trachelomonas</i> | 6527 | 21 354 | | |
| | <i>Trachelomonas hispida</i> | 6531 | 21 | | |
| FRAGILARIOPHYCEAE | <i>Asterionella formosa</i> | 4860 | | | |
| | <i>Fragilaria</i> | 9533 | 290 | | |
| | <i>Fragilaria nanana</i> | 6690 | 133 | | |
| | <i>Ulnaria acus</i> | 32078 | 104 22 | | |
| KLEBSORMIDIOPHYCEAE | <i>Elakatothrix gelatinosa</i> | 5664 | 41 | 88 | |
| | <i>Cyclotella ocellata</i> | 8635 | 3401 | | |
| | <i>Stephanodiscus hantzschii f. tenuis</i> | 8748 | | 44 | |
| MEDIOPHYCEAE | <i>Stephanodiscus minutulus</i> | 8753 | | 3517 | |
| | <i>Actinastrum hantzschii</i> | 5591 | | 354 | |
| | <i>Dictyosphaerium</i> (environ 2µm) | 5645 | 1543 | 26 | 415 |
| | <i>Dictyosphaerium pulchellum</i> | 5648 | 33 | 716 | 560 509 |
| | <i>Dictyosphaerium sp.</i> (environ 2 µm) | 5645 | | | 88 |
| | <i>Didymocystis fina</i> | 9193 | 332 | | 44 |
| | <i>Didymocystis planctonica</i> | 25668 | 33 | | |
| | <i>Lagerheimia genevensis</i> | 5714 | 17 | 21 | 111 |
| | <i>Nephrochlamys rostrata</i> | 5745 | | | 41 |
| | <i>Oocystis lacustris</i> | 5757 | | 34 | |
| TREBOUXIOPHYCEAE | <i>Oocystis parva</i> | 5758 | 66 | 593 | |
| | <i>Centrictractus belenophorus</i> | 6228 | | | |
| | <i>Nephrodiella</i> | 9615 | 7 | 498 | 199 |
| XANTHOPHYCEAE | | | | | |

6. Appréciation globale de la qualité du plan d'eau

Les résultats obtenus sur la retenue de Panthier lors de ce suivi 2017 témoignent d'un lac à **tendance eutrophe**. Malgré sa faible profondeur et une stratification thermique peu marquée, les couches profondes du plan d'eau demeurent de façon chronique très fortement désoxygénée, traduisant un déséquilibre écologique global du plan d'eau, aussi bien au niveau des eaux que des sédiments. Les taux de nutriments, notamment azotés, sont importants dans le plan d'eau, ce qui se reflète dans les volumes phytoplanctoniques rencontrés en périodes de production. Le stock nutritionnel minéral des sédiments en fin de période estival est peu important, mais le relargage sédimentaire reste conséquent lorsque le milieu entre en désoxygénéation, relançant vraisemblablement la dynamique phytoplanctonique au vu de la faible stratification, des importantes teneurs en chlorophylles mesurées, et des sursaturations en oxygène mesurées en surface. Des traces d'éléments métalliques et de HAP sont relevées dans les eaux, et les analyses effectuées sur le compartiment sédimentaire confirment également une contamination du milieu en HAP.

Annexes

Annexe 1

Liste des micropolluants analysés sur eau

| Code SANDRE | Paramètre | Type | Unité | Limite de Quantification | Unité | Limite de Quantification | Unité | Type |
|-------------|---------------------------------|-------|----------|----------------------------|-------|---|-------|---------------------------|
| Code SANDRE | Paramètre | | | | | | | |
| 1370 | Aluminium | 2 | µg(Au)/L | Micropolluants métalliques | 6456 | Acébutoïol | 0,01 | Micropolluants organiques |
| 1376 | Antimoine | 0,5 | µg(Sb)/L | Micropolluants métalliques | 1453 | Acénaphthène | 0,01 | HAP |
| 1368 | Argent | 0,01 | µg(Ag)/L | Micropolluants métalliques | 1622 | Acénaphthylène | 0,01 | HAP |
| 1369 | Arsenic | 0,5 | µg(As)/L | Micropolluants métalliques | 1100 | Acéphate | 0,02 | Pesticides |
| 1396 | Baryum | 0,5 | µg(Ba)/L | Micropolluants métalliques | 1454 | Acétaldéhyde | 5 | Micropolluants organiques |
| 1377 | Béryllium | 0,01 | µg(Be)/L | Micropolluants métalliques | 5579 | Acetaminiprid | 0,02 | Pesticides |
| 1362 | Bore | 10 | µg(B)/L | Micropolluants métalliques | 1903 | Acibenzolar-S-Méthyl | 0,005 | Micropolluants organiques |
| 1388 | Cadmium | 0,01 | µg(Cd)/L | Micropolluants métalliques | 5581 | Acibenzolar-S-Méthyl | 0,02 | Micropolluants organiques |
| 1389 | Chrome | 0,5 | µg(Cr)/L | Micropolluants métalliques | 5408 | Acide clorofrique | 0,01 | Micropolluants organiques |
| 1379 | Cobalt | 0,05 | µg(Co)/L | Micropolluants métalliques | 5369 | Acide fenolifrique | 0,005 | Micropolluants organiques |
| 1392 | Cuivre | 0,1 | µg(Cu)/L | Micropolluants métalliques | 1465 | Acide monochloroacétique | 0,2 | - |
| 1380 | Étain | 0,5 | µg(Sn)/L | Micropolluants métalliques | 1521 | Acide nitrilotriacétique (NTA) | 5 | - |
| 1393 | Fer | 1 | µg(Fe)/L | Micropolluants métalliques | 6549 | Acide perfluorhexanesulfonique (PFHS) | 0,05 | Micropolluants organiques |
| 1394 | Manganèse | 0,5 | µg(Mn)/L | Micropolluants métalliques | 6550 | Acide perfluorodecane sulfonique (PFDS) | 0,05 | Micropolluants organiques |
| 1387 | Mercurie | 0,01 | µg(Hg)/L | Micropolluants métalliques | 6509 | Acide perfluoro-decanoïque (PFDA) | 0,02 | Micropolluants organiques |
| 1395 | Molybdène | 1 | µg(Mo)/L | Micropolluants métalliques | 6507 | Acide perfluoro-dodecanoïque (PFDoA) | 0,02 | Micropolluants organiques |
| 1386 | Nickel | 0,5 | µg(Ni)/L | Micropolluants métalliques | 6542 | Acide perfluorheptane sulfonique | 0,2 | Micropolluants organiques |
| 1382 | Plomb | 0,05 | µg(Pb)/L | Micropolluants métalliques | 6830 | Acide perfluorhexanesulfonique (PFHS) | 0,01 | Micropolluants organiques |
| 1385 | Sélénium | 0,1 | µg(Se)/L | Micropolluants métalliques | 5980 | Acide perfluor-n-butanoïque (PFBA) | 0,2 | Micropolluants organiques |
| 2559 | Tellure | 0,5 | µg(Te)/L | Micropolluants métalliques | 5977 | Acide perfluoro-n-heptanoïque (PFHpA) | 0,01 | Micropolluants organiques |
| 2555 | Thallium | 0,01 | µg(Tl)/L | Micropolluants métalliques | 5978 | Acide perfluoro-n-hexanoïque (PFHxA) | 0,01 | Micropolluants organiques |
| 1373 | Titane | 0,5 | µg(Ti)/L | Micropolluants métalliques | 6508 | Acide perfluoro-n-nonanoïque (PFNA) | 0,02 | Micropolluants organiques |
| 1361 | Uranium | 0,05 | µg(U)/L | Micropolluants métalliques | 5979 | Acide perfluoro-n-pentanoïque | 0,1 | Micropolluants organiques |
| 1384 | Vanadium | 0,1 | µg(V)/L | Micropolluants métalliques | 6510 | Acide perfluor-n-undecanoïque (PFUnA) | 0,02 | Micropolluants organiques |
| 1383 | Zinc | 1 | µg(Zn)/L | Micropolluants métalliques | 6560 | Acide perfluoro-octanoïque (PFOA) | 0,02 | Micropolluants organiques |
| 2934 | 1-(3-chloro-4-méthylphényl)uree | 0,05 | µg/L | Micropolluants organiques | 6547 | Acide Perfluorotetradecanoïque (PFTeA) | 0,01 | Micropolluants organiques |
| 5399 | 17alpha-Estradiol | 0,01 | µg/L | Micropolluants organiques | 6025 | Acide sulfonique de perfluorobutane | 0,12 | Micropolluants organiques |
| 7011 | 1-Hydroxy Ibuprofen | 0,01 | µg/L | Micropolluants organiques | 1970 | Acifluorfen | 0,02 | Pesticides |
| 6022 | 2,4+2,5-dichloranilines | 0,05 | µg/L | Micropolluants organiques | 1688 | Aclonifen | 0,01 | Pesticides |
| 1264 | 2,4 5 T | 0,02 | µg/L | Pesticides | 1310 | Acrinathrine | 0,005 | Pesticides |
| 1141 | 2,4 D | 0,02 | µg/L | Pesticides | 1101 | Alachlore | 0,005 | Pesticides |
| 1142 | 2,4 DB | 0,1 | µg/L | Pesticides | 1102 | Aldicarbe | 0,02 | Pesticides |
| 2872 | 2,4 D isopropyl ester | 0,005 | µg/L | Pesticides | 1807 | Aldicarbe sulfone | 0,02 | Pesticides |
| 2873 | 2,4 D méthyl ester | 0,005 | µg/L | Pesticides | 1806 | Aldicarbe sulfonyde | 0,02 | Pesticides |
| 1212 | 2,4 MCPA | 0,02 | µg/L | Pesticides | 1103 | Aldrine | 0,001 | Pesticides |
| 1213 | 2,4 MCPB | 0,03 | µg/L | Pesticides | 1697 | Aléthrine | 0,03 | Pesticides |
| 2011 | 2,6 Diclorobenzamide | 0,005 | µg/L | Pesticides | 7501 | Alixycarbe | 0,02 | Micropolluants organiques |
| 2815 | 2-chloro-4-nitrotoluene | 0,15 | µg/L | Micropolluants organiques | 6651 | alpha-Hexabromocyclododecane | 0,5 | Micropolluants organiques |
| 2818 | 2-Chloro-6-méthylaniline | 0,02 | µg/L | Micropolluants organiques | 1812 | Alphaméthrine | 0,005 | Pesticides |
| 3159 | 2-hydroxy-desethyl-Atrazine | 0,02 | µg/L | Micropolluants organiques | 5370 | Alprazolam | 0,01 | Micropolluants organiques |
| 7012 | 2-Hydroxy Ibuprofen | 1 | µg/L | Micropolluants organiques | 1104 | Amétryne | 0,02 | Pesticides |
| 2615 | 2-Naphtol | 0,1 | µg/L | Micropolluants organiques | 5697 | Amidithion | 0,02 | Micropolluants organiques |
| 2613 | 2-nitrotoluene | 0,02 | µg/L | Micropolluants organiques | 2012 | Amidosulfuron | 0,02 | Pesticides |
| 6427 | 2-tert-butyl 4-méthylphénol | 0,5 | µg/L | Micropolluants organiques | 5523 | Aminocarbe | 0,02 | Micropolluants organiques |
| 7019 | 3,4,5-trichloroaniline | 0,02 | µg/L | Micropolluants organiques | 2537 | Aminochlorophénol-2,4 | 0,1 | Pesticides |
| 5695 | 3,4,5-Triméthacarb | 0,02 | µg/L | Micropolluants organiques | 7667 | Aminopyrine | 0,02 | Micropolluants organiques |
| 2819 | 3-Chloro-2-méthylaniline | 0,05 | µg/L | Micropolluants organiques | 1105 | Aminotiazole | 0,05 | Pesticides |
| 2820 | 3-Chloro-4-méthylaniline | 0,05 | µg/L | Micropolluants organiques | 7516 | Amiprofos-méthyl | 0,02 | Micropolluants organiques |
| 2823 | 4-Chloro-N-méthylaniline | 0,1 | µg/L | Micropolluants organiques | 1308 | Amitraze | 0,005 | Pesticides |
| 6536 | 4-Méthylbenzylidene camphor | 0,02 | µg/L | Micropolluants organiques | 6967 | Amitriptyline | 0,005 | Micropolluants organiques |
| 5474 | 4-n-nonylphénol | 0,1 | µg/L | Micropolluants organiques | 6781 | Amiodipine | 0,05 | Pesticides |
| 1958 | 4-nonylphénols ramifiés | 0,1 | µg/L | Micropolluants organiques | 1907 | AMPA | 0,02 | Micropolluants organiques |
| 2610 | 4-tert-butylphénol | 0,02 | µg/L | Micropolluants organiques | 5385 | Androstenedione | 0,005 | Micropolluants organiques |
| 1959 | 4-tert-octylphénol | 0,03 | µg/L | Micropolluants organiques | 6594 | Anilofos | 0,02 | Micropolluants organiques |
| 2863 | 5,6,7,8-Tetrahydro-2-naphthol | 0,1 | µg/L | Micropolluants organiques | 1458 | Anthracène | 0,01 | Micropolluants organiques |
| 2822 | 5-Chloroanisotoléfine | 0,02 | µg/L | Micropolluants organiques | 2013 | Anthraquinone | 0,005 | HAP |
| 2817 | 6-Chloro-3-méthylaniline | 0,02 | µg/L | Micropolluants organiques | | | | HAP |

| Code SANDRE | Paramètre | Type | Unité | Limite de Quantification | Type | Unité | Limite de Quantification | Type | Unité |
|-------------|-------------------------------------|---------------------------|-------|--------------------------|-----------------------|-------|--------------------------|---------------------------|-------|
| Code SANDRE | Paramètre | | | | | | | | |
| 1965 | Asulame | Pesticides | µg/L | 0,02 | Biphenyle | µg/L | 0,005 | Micropolluants organiques | µg/L |
| 5361 | Atenolol | Micropolluants organiques | µg/L | 0,01 | Bisoprolol | µg/L | 0,05 | Micropolluants organiques | µg/L |
| 1107 | Atrazine | Pesticides | µg/L | 0,02 | Bisphénol-A | µg/L | 0,05 | Pesticides | µg/L |
| 1832 | Atrazine 2 hydroxy | Pesticides | µg/L | 0,02 | Biteranol | µg/L | 0,005 | Micropolluants organiques | µg/L |
| 1109 | Atrazine désoxypropyl | Pesticides | µg/L | 0,02 | Bixafen | µg/L | 0,02 | Pesticides | µg/L |
| 1108 | Atrazine déséthyl | Pesticides | µg/L | 0,02 | Boscalid | µg/L | 0,02 | Micropolluants organiques | µg/L |
| 1830 | Atrazine déséthyl déisopropyl | Pesticides | µg/L | 0,05 | Bromacil | µg/L | 0,005 | Pesticides | µg/L |
| 2014 | Azaconazole | Pesticides | µg/L | 0,005 | Bromadolone | µg/L | 0,005 | Pesticides | µg/L |
| 2015 | Azaméthiphos | Pesticides | µg/L | 0,02 | Bromazepam | µg/L | 0,02 | Micropolluants organiques | µg/L |
| 2937 | Azimsulfuron | Pesticides | µg/L | 0,02 | Bromoformé | µg/L | 0,5 | Micropolluants organiques | µg/L |
| 1110 | Azinphos éthylique | Micropolluants organiques | µg/L | 0,005 | Bromophos éthyl | µg/L | 0,005 | Pesticides | µg/L |
| 1111 | Azinphos méthyl | Pesticides | µg/L | 0,005 | Bromophos méthyl | µg/L | 0,005 | Pesticides | µg/L |
| 1951 | Azoxystrobine | Pesticides | µg/L | 0,02 | Bromure de méthyle | µg/L | 0,005 | Pesticides | µg/L |
| 2915 | BDE100 | Pesticides | µg/L | 0,0002 | Bromoxynil | µg/L | 0,02 | Pesticides | µg/L |
| 2913 | BDE138 | Pesticides | µg/L | 0,0003 | Bromoxynil octanoate | µg/L | 0,01 | Pesticides | µg/L |
| 2912 | BDE153 | Pesticides | µg/L | 0,0002 | Bromoconazole | µg/L | 0,02 | Pesticides | µg/L |
| 2911 | BDE154 | Pesticides | µg/L | 0,0002 | Bromure de méthyle | µg/L | 0,5 | Pesticides | µg/L |
| 2921 | BDE17 | Pesticides | µg/L | 0,0002 | Buénacarbe | µg/L | 0,02 | Micropolluants organiques | µg/L |
| 6231 | BDE 181 | Pesticides | µg/L | 0,0005 | Bupromedil | µg/L | 0,05 | Micropolluants organiques | µg/L |
| 2910 | BDE183 | Pesticides | µg/L | 0,0005 | Buprimate | µg/L | 0,01 | Pesticides | µg/L |
| 2909 | BDE190 | Pesticides | µg/L | 0,0005 | Bupivacaïne | µg/L | 0,005 | Micropolluants organiques | µg/L |
| 5986 | BDE 203 | Pesticides | µg/L | 0,002 | Buprofazine | µg/L | 0,005 | Pesticides | µg/L |
| 5997 | BDE 205 | Pesticides | µg/L | 0,002 | Butamifos | µg/L | 0,02 | Micropolluants organiques | µg/L |
| 1815 | BDE209 | Pesticides | µg/L | 0,005 | Buratrine | µg/L | 0,005 | Pesticides | µg/L |
| 2920 | BDE247 | Pesticides | µg/L | 0,0002 | Bufuron | µg/L | 0,02 | Micropolluants organiques | µg/L |
| 2919 | BDE47 | Pesticides | µg/L | 0,0002 | Butylate | µg/L | 0,02 | Micropolluants organiques | µg/L |
| 2918 | BDE66 | Pesticides | µg/L | 0,0002 | Butylbenzène n | µg/L | 0,5 | Pesticides | µg/L |
| 2917 | BDE71 | Pesticides | µg/L | 0,0002 | Butylbenzène sec | µg/L | 0,5 | Micropolluants organiques | µg/L |
| 7437 | BDE77 | Pesticides | µg/L | 0,0002 | Butylbenzène tert | µg/L | 0,5 | Micropolluants organiques | µg/L |
| 2914 | BDE85 | Pesticides | µg/L | 0,0002 | Cadusafos | µg/L | 0,02 | Pesticides | µg/L |
| 2916 | BDE99 | Pesticides | µg/L | 0,0002 | Caféine | µg/L | 0,02 | Micropolluants organiques | µg/L |
| 1687 | Bénalaxyl | Pesticides | µg/L | 0,005 | Capitol | µg/L | 0,01 | Pesticides | µg/L |
| 7423 | BENALAXYL-M | Pesticides | µg/L | 0,03 | Captane | µg/L | 0,01 | Micropolluants organiques | µg/L |
| 1329 | Bendiocarbe | Pesticides | µg/L | 0,02 | Carbamazepine | µg/L | 0,005 | Micropolluants organiques | µg/L |
| 1112 | Benfurraline | Pesticides | µg/L | 0,005 | Carbamazepine époxide | µg/L | 0,005 | Micropolluants organiques | µg/L |
| 2924 | Benfuracarbe | Pesticides | µg/L | 0,05 | Carbaryl | µg/L | 0,02 | Pesticides | µg/L |
| 2074 | Benoxacor | Pesticides | µg/L | 0,005 | Carbendazime | µg/L | 0,02 | Pesticides | µg/L |
| 5512 | Bensulfuron-méthyl | Pesticides | µg/L | 0,02 | Carbétamide | µg/L | 0,02 | Micropolluants organiques | µg/L |
| 6595 | Bensulide | Pesticides | µg/L | 0,02 | Carbofuran | µg/L | 0,02 | Pesticides | µg/L |
| 1113 | Bentazone | Pesticides | µg/L | 0,02 | Carbofuran 3 hydroxy | µg/L | 0,02 | Pesticides | µg/L |
| 7460 | Benthiaxilcarbe-isopropyl | Pesticides | µg/L | 0,02 | Carbophenothion | µg/L | 0,02 | Pesticides | µg/L |
| 1764 | Benthiocarbe | Pesticides | µg/L | 0,05 | Carbosulfan | µg/L | 0,1 | Pesticides | µg/L |
| 1114 | Benzène | Pesticides | µg/L | 0,5 | Carboxine | µg/L | 0,02 | Micropolluants organiques | µg/L |
| 2816 | Benzene, 1-chloro-2-methyl-3-nitro- | Pesticides | µg/L | 0,15 | Carfenazone-éthyl | µg/L | 0,005 | Micropolluants organiques | µg/L |
| 1607 | Benzididine | Pesticides | µg/L | 0,25 | Chlométhionate | µg/L | 0,005 | Pesticides | µg/L |
| 1082 | Benzo (a) Anthracène | Pesticides | µg/L | 0,01 | Chloramphénicol | µg/L | 0,1 | Micropolluants organiques | µg/L |
| 1115 | Benzo (a) Pyrène | Pesticides | µg/L | 0,01 | Chlorantraniliprole | µg/L | 0,02 | Pesticides | µg/L |
| 1116 | Benzo (b) Fluoranthène | Pesticides | µg/L | 0,0005 | Chlorofuame | µg/L | 0,05 | Pesticides | µg/L |
| 1118 | Benzo (ghi) Pérylène | Pesticides | µg/L | 0,0005 | Chlordane alpha | µg/L | 0,005 | Pesticides | µg/L |
| 1117 | Benzo (k) Fluoranthène | Pesticides | µg/L | 0,0005 | Chlordane beta | µg/L | 0,005 | Pesticides | µg/L |
| 3209 | Béta cyfluthrine | Pesticides | µg/L | 0,01 | Chlordane gamma | µg/L | 0,005 | Micropolluants organiques | µg/L |
| 6652 | beta-Hexabromocyclododecane | Pesticides | µg/L | 0,5 | Chlordecone | µg/L | 0,01 | Pesticides | µg/L |
| 6457 | Betaxolol | Pesticides | µg/L | 0,005 | Chlorefenazon | µg/L | 0,005 | Micropolluants organiques | µg/L |
| 5366 | Bezafibrate | Pesticides | µg/L | 0,2 | Chlorfenimorph | µg/L | 0,02 | Pesticides | µg/L |
| 1119 | Bifénox | Pesticides | µg/L | 0,005 | Chlorfluazuron | µg/L | 0,01 | Pesticides | µg/L |
| 1120 | Bifenthrine | Pesticides | µg/L | 0,005 | Chlordanone | µg/L | 0,005 | Pesticides | µg/L |
| 1502 | Bioresméthine | Pesticides | µg/L | 0,005 | Chlormuron-éthyl | µg/L | 0,02 | Micropolluants organiques | µg/L |

| Code SANDRE | Paramètre | Type | Unité | Limite de Quantification | Type | Unité | Limite de Quantification | Type |
|-------------|--|---------------------------|-------|--------------------------|------------------------------|---------|--------------------------|---------------------------|
| 5405 | Chlormadinone | Micropolluants organiques | µg/L | 0,01 | Pesticides | µg/L | 0,02 | Pesticides |
| 1134 | Chlorméphos | Pesticides | µg/L | 0,005 | Micropolluants organiques | µg/L | 0,02 | Micropolluants organiques |
| 5554 | Chlormequat | Micropolluants organiques | µg/L | 0,05 | Pesticides | µg/L | 0,005 | Pesticides |
| 1606 | Chloro-2-p-toluidine | - | µg/L | 0,02 | Clofentézine | µg/L | 0,02 | Pesticides |
| 1955 | Chloroalcanes C10-C13 | Micropolluants organiques | µg/L | 0,15 | Clomazone | µg/L | 0,005 | Pesticides |
| 1593 | Chloroaniline-2 | Micropolluants organiques | µg/L | 0,05 | Clopyralide | µg/L | 0,02 | Pesticides |
| 1592 | Chloroaniline-3 | Micropolluants organiques | µg/L | 0,05 | Cloquintocet mésyl | µg/L | 0,02 | Pesticides |
| 1591 | Chloroaniline-4 | Micropolluants organiques | µg/L | 0,05 | Cotinine | µg/L | 0,02 | Pesticides |
| 1467 | Chlorobenzène | Micropolluants organiques | µg/L | 0,5 | Coumafénac | µg/L | 0,05 | Pesticides |
| 2016 | Chlorobiumuron | Pesticides | µg/L | 0,02 | Coumaraphos | µg/L | 0,02 | Pesticides |
| 1612 | Chlorodinitrobenzène-1,2,4 | Micropolluants organiques | µg/L | 0,1 | Coumaratéraly | µg/L | 0,05 | Micropolluants organiques |
| 1135 | Chlorofluorométhane (Trichlorométhane) | Micropolluants organiques | µg/L | 0,5 | Crésol-ortho | µg/L | 0,05 | Pesticides |
| 2821 | Chlorométhylaniline-4,2 | Micropolluants organiques | µg/L | 0,5 | Crésol-parax | µg/L | 0,05 | Micropolluants organiques |
| 1635 | Chlorométhylphénol-2,5 | Micropolluants organiques | µg/L | 0,02 | Crotoxyphos | µg/L | 0,02 | Micropolluants organiques |
| 2759 | Chlorométhylphénol-2,6 | Micropolluants organiques | µg/L | 0,02 | Crofomate | µg/L | 0,02 | Micropolluants organiques |
| 1634 | Chlorométhylphénol-4,2 | Micropolluants organiques | µg/L | 0,05 | Cyanazine | µg/L | 0,02 | Pesticides |
| 1636 | Chlorométhylphénol-4,3 | Micropolluants organiques | µg/L | 0,05 | Cyanofenphos | µg/L | 0,02 | Micropolluants organiques |
| 1603 | Chloronaphtaléne-1 | HAP | µg/L | 0,02 | Cyanures libres | µg(CN)Y | 5 | Micropolluants organiques |
| 1604 | Chloronaphtaléne-2 | HAP | µg/L | 0,02 | Cyclate | µg/L | 0,02 | Micropolluants organiques |
| 1341 | Chloronène | Pesticides | µg/L | 0,005 | Cyclophosphamide | µg/L | 0,02 | Micropolluants organiques |
| 1594 | Chloronitroaniline-4,2 | Micropolluants organiques | µg/L | 0,1 | CYCLOXYDIME | µg/L | 0,02 | Pesticides |
| 1469 | Chloronitrobenzène-1,2 | Micropolluants organiques | µg/L | 0,02 | Cycluron | µg/L | 0,02 | Pesticides |
| 1468 | Chloronitrobenzène-1,3 | Micropolluants organiques | µg/L | 0,02 | Cyhalofop-butyl | µg/L | 0,02 | Pesticides |
| 1470 | Chloronitrobenzène-1,4 | Micropolluants organiques | µg/L | 0,05 | Cynalothrine | µg/L | 0,02 | Pesticides |
| 2814 | Chloronitrotoluène-2,3 | Micropolluants organiques | µg/L | 0,1 | Cymoxanil | µg/L | 0,02 | Pesticides |
| 1605 | Chloronitrotoluène-4,2 | Micropolluants organiques | µg/L | 0,1 | Cyperméthrine | µg/L | 0,02 | Pesticides |
| 1684 | Chlorophacnone | Micropolluants organiques | µg/L | 0,1 | Cyproconazole | µg/L | 0,02 | Pesticides |
| 1471 | Chlorophénol-2 | Micropolluants organiques | µg/L | 0,05 | Cyprodinil | µg/L | 0,005 | Pesticides |
| 1651 | Chlorophénol-3 | Micropolluants organiques | µg/L | 0,05 | Cyromazine | µg/L | 0,005 | Micropolluants organiques |
| 1650 | Chlorophénol-4 | Micropolluants organiques | µg/L | 0,05 | Cythioate | µg/L | 0,02 | Micropolluants organiques |
| 2611 | Chloroprène | Micropolluants organiques | µg/L | 0,5 | Daimuron | µg/L | 0,02 | Pesticides |
| 2065 | Chloropropène-3 | Micropolluants organiques | µg/L | 0,5 | Dalapon | µg/L | 0,02 | Micropolluants organiques |
| 1473 | Chlorothalonil | Pesticides | µg/L | 0,01 | Danfloxacine | µg/L | 0,1 | Micropolluants organiques |
| 1602 | Chlorotoluène-2 | Micropolluants organiques | µg/L | 0,5 | DCPMU (métabolite du Diuron) | µg/L | 0,02 | Pesticides |
| 1601 | Chlorotoluène-3 | Micropolluants organiques | µg/L | 0,5 | DCPU (métabolite Diuron) | µg/L | 0,05 | Pesticides |
| 1600 | Chlorotoluène-4 | Micropolluants organiques | µg/L | 0,5 | DDD-o,p' | µg/L | 0,02 | Pesticides |
| 1683 | Chloroxuron | Pesticides | µg/L | 0,02 | DDD-p,p' | µg/L | 0,001 | Pesticides |
| 1474 | Chloroprophame | Pesticides | µg/L | 0,005 | DDE-o,p' | µg/L | 0,001 | Pesticides |
| 1083 | Chloropyriphos éthyl | Pesticides | µg/L | 0,005 | DDE-p,p' | µg/L | 0,001 | Pesticides |
| 1540 | Chloropyriphos méthyl | Pesticides | µg/L | 0,005 | DDT-q,p' | µg/L | 0,001 | Pesticides |
| 1353 | Chlorsulfuron | Pesticides | µg/L | 0,02 | DDT-t,p' | µg/L | 0,001 | Pesticides |
| 6743 | Chlortetracycline | Micropolluants organiques | µg/L | 0,02 | DEHP | µg/L | 0,04 | Pesticides |
| 2966 | Chlorthal diméthy | Pesticides | µg/L | 0,005 | Deltaméthrine | µg/L | 0,005 | Pesticides |
| 1813 | Chlorthiamide | Pesticides | µg/L | 0,01 | Déméton-O | µg/L | 0,01 | Pesticides |
| 5723 | Chlothiophos | Micropolluants organiques | µg/L | 0,02 | Déméton O + S | µg/L | 0,01 | Pesticides |
| 1136 | Chlortoluron | Pesticides | µg/L | 0,02 | Déméton-S | µg/L | 0,01 | Pesticides |
| 1579 | Chlore de Benzyle | Micropolluants organiques | µg/L | 0,1 | Déméton S méthyl sulfone | µg/L | 0,005 | Pesticides |
| 2715 | Chlore de Benzylidène | Micropolluants organiques | µg/L | 0,1 | Désmétryne | µg/L | 0,02 | Pesticides |
| 2977 | CHLORURE DE CHOLINE | - | µg/L | 0,1 | Déséthyl-terbutéthon | µg/L | 0,01 | Micropolluants organiques |
| 1753 | Chloorthiophos | Micropolluants organiques | µg/L | 0,1 | Desmediphamine | µg/L | 0,02 | Pesticides |
| 1476 | Chrysène | Pesticides | µg/L | 0,01 | Desmétylsoprotron | µg/L | 0,02 | Micropolluants organiques |
| 5481 | Cinosulfuron | Pesticides | µg/L | 0,02 | Déméton S méthyl sulfone | µg/L | 0,01 | Pesticides |
| 6540 | Ciprofloxacine | Micropolluants organiques | µg/L | 0,02 | Dexaméthasone | µg/L | 0,01 | Micropolluants organiques |
| 6537 | Clarithromycine | Micropolluants organiques | µg/L | 0,005 | Dialate | µg/L | 0,02 | Pesticides |
| 6968 | Clenbutero | Micropolluants organiques | µg/L | 0,02 | Diazepam | µg/L | 0,005 | Micropolluants organiques |
| 2978 | Clethodim | Micropolluants organiques | µg/L | 0,005 | Diazinon | µg/L | 0,05 | Pesticides |
| 6792 | Clindamycine | Micropolluants organiques | µg/L | 0,01 | Dibenzo (ah) Anthracène | µg/L | 0,01 | HAP |

| Code SANDRE | Paramètre | Type | Unité | Limite de Quantification | Unité | Limite de Quantification | Type | Unité |
|-------------|-----------------------------|---------------------------|-------|--------------------------|-------|--------------------------|----------------------|------------|
| 1158 | Dibromochlorméthane | Micropolluants organiques | µg/L | 0,5 | µg/L | 2983 | Diféthalone | 0,02 µg/L |
| 1498 | Dibromoéthane-1,2 | Pesticides | µg/L | 0,5 | µg/L | 1488 | Diflubenzuron | 0,05 µg/L |
| 1513 | Dibromométhane | Micropolluants organiques | µg/L | 0,5 | µg/L | 1814 | Diflufenicanil | 0,005 µg/L |
| 7074 | Di butyletai n cation | Pesticides | µg/L | 0,0025 | µg/L | 6647 | Dihydrocodeine | 0,005 µg/L |
| 1480 | Dicamba | Pesticides | µg/L | 0,03 | µg/L | 5325 | Disobutyl phthalate | 0,4 µg/L |
| 1679 | Dichlobénil | Pesticides | µg/L | 0,005 | µg/L | 6729 | Diltiazem | 0,005 µg/L |
| 1159 | Dichlofenthion | Pesticides | µg/L | 0,02 | µg/L | 1870 | Dinéfuron | 0,02 µg/L |
| 1360 | Dichlofluanide | Pesticides | µg/L | 0,005 | µg/L | 7142 | Dimepiperate | 0,02 µg/L |
| 1160 | Dichloréthane-1,1 | Micropolluants organiques | µg/L | 0,5 | µg/L | 2546 | Dimétabchloré | 0,005 µg/L |
| 1161 | Dichloréthane-1,2 | Micropolluants organiques | µg/L | 0,5 | µg/L | 5737 | Diméthametryn | 0,02 µg/L |
| 1162 | Dichloréthylène-1,1 | Micropolluants organiques | µg/L | 0,5 | µg/L | 1678 | Diméthénamide | 0,005 µg/L |
| 1456 | Dichloréthylène-1,2 cis | Micropolluants organiques | µg/L | 0,5 | µg/L | 5617 | Dimethenamid-P | 0,03 µg/L |
| 1727 | Dichloréthylène-1,2 trans | Micropolluants organiques | µg/L | 0,5 | µg/L | 1175 | Diméthoate | 0,01 µg/L |
| 2929 | Dichlormide | Micropolluants organiques | µg/L | 0,05 | µg/L | 1403 | Diméthomorphe | 0,02 µg/L |
| 1590 | Dichloroaniline-2,3 | Pesticides | µg/L | 0,02 | µg/L | 2773 | Diméthylamine | 0,02 µg/L |
| 1589 | Dichloroaniline-2,4 | Pesticides | µg/L | 0,05 | µg/L | 6292 | Diméthylaniline | 0,025 µg/L |
| 1588 | Dichloroaniline-2,5 | Pesticides | µg/L | 0,02 | µg/L | 1641 | Diméthylphénol-2,4 | 0,02 µg/L |
| 1587 | Dichloroaniline-2,6 | Pesticides | µg/L | 0,02 | µg/L | 6972 | Diméthylphosphos | - |
| 1586 | Dichloroaniline-3,4 | Pesticides | µg/L | 0,015 | µg/L | 1698 | Diméthylaniline | 0,02 µg/L |
| 1585 | Dichloroaniline-3,5 | Pesticides | µg/L | 0,02 | µg/L | 5748 | dimoxystrobine | 0,02 µg/L |
| 1165 | Dichlorobenzène-1,2 | Micropolluants organiques | µg/L | 0,05 | µg/L | 1871 | Diniconazole | 0,02 µg/L |
| 1164 | Dichlorobenzène-1,3 | Micropolluants organiques | µg/L | 0,5 | µg/L | 1578 | Dinitrotoluène-2,4 | 0,5 µg/L |
| 1166 | Dichlorobenzène-1,4 | Micropolluants organiques | µg/L | 0,05 | µg/L | 1577 | Dinitrotoluène-2,6 | 0,5 µg/L |
| 1484 | Dichlorobenzidine-3,3' | Micropolluants organiques | µg/L | 0,5 | µg/L | 5619 | Dinocap | 0,05 µg/L |
| 1167 | Dichlorobromométhane | Micropolluants organiques | µg/L | 0,5 | µg/L | 1491 | Dinosèbe | 0,02 µg/L |
| 1168 | Dichlorométhane | Micropolluants organiques | µg/L | 5 | µg/L | 1176 | Dinoterbe | 0,03 µg/L |
| 1617 | Dichloronitrobenzène-2,3 | Micropolluants organiques | µg/L | 0,05 | µg/L | 7494 | Diocetylétain cation | 0,025 µg/L |
| 1616 | Dichloronitrobenzène-2,4 | Micropolluants organiques | µg/L | 0,05 | µg/L | 5743 | Dioxacarb | 0,02 µg/L |
| 1615 | Dichloronitrobenzène-2,5 | Micropolluants organiques | µg/L | 0,05 | µg/L | 5478 | Diphenylamine | 0,05 µg/L |
| 1614 | Dichloronitrobenzène-3,4 | Micropolluants organiques | µg/L | 0,05 | µg/L | 7495 | Diphenylétain cation | 0,01 µg/L |
| 1613 | Dichloronitrobenzène-3,5 | Micropolluants organiques | µg/L | 0,05 | µg/L | 1698 | Diquat | 0,05 µg/L |
| 2981 | Dichlorophène | Pesticides | µg/L | 0,02 | µg/L | 1492 | Disulfoton | 0,005 µg/L |
| 1645 | Dichlorophénol-2,3 | Micropolluants organiques | µg/L | 0,05 | µg/L | 5745 | Ditalimfos | 0,05 µg/L |
| 1486 | Dichlorophénol-2,4 | Micropolluants organiques | µg/L | 0,02 | µg/L | 1177 | Diuron | 0,02 µg/L |
| 1649 | Dichlorophénol-2,5 | Micropolluants organiques | µg/L | 0,02 | µg/L | 1490 | DNOC | 0,02 µg/L |
| 1648 | Dichlorophénol-2,6 | Micropolluants organiques | µg/L | 0,05 | µg/L | 3383 | Dodécyl phénol | 1 µg/L |
| 1647 | Dichlorophénol-3,4 | Micropolluants organiques | µg/L | 0,05 | µg/L | 2933 | Dodine | 0,02 µg/L |
| 1646 | Dichlorophénol-3,5 | Micropolluants organiques | µg/L | 0,05 | µg/L | 6969 | Doxepine | 5 µg/L |
| 2081 | Dichloropropane-2,2 | Pesticides | µg/L | 0,03 | µg/L | 6791 | Doxycycline | 0,001 µg/L |
| 1834 | Dichloropropylène-1,3 Cis | Pesticides | µg/L | 0,1 | µg/L | 7515 | DPU (Diphénylurée) | 0,005 µg/L |
| 1835 | Dichloropropylène-1,3 Trans | Pesticides | µg/L | 0,1 | µg/L | 5751 | Edifenphos | 0,001 µg/L |
| 1169 | Dichloropropylène-1,3 Trans | Pesticides | µg/L | 0,03 | µg/L | 1493 | EDTA | 0,001 µg/L |
| 2544 | Dichloroprop-P | Pesticides | µg/L | 0,03 | µg/L | 1178 | Endosulfan alpha | 0,001 µg/L |
| 1170 | Dichlorvos | Pesticides | µg/L | 0,01 | µg/L | 1179 | Endosulfan beta | 0,001 µg/L |
| 5349 | Diclofenac | Pesticides | µg/L | 0,01 | µg/L | 1742 | Endosulfan sulfate | 0,01 µg/L |
| 1171 | Diclofop méthyl | Pesticides | µg/L | 0,05 | µg/L | 1181 | Endrine | 0,001 µg/L |
| 1172 | Dicotol | Pesticides | µg/L | 0,005 | µg/L | 2941 | Endrine aldehyde | 0,005 µg/L |
| 5525 | Dicrotophos | Pesticides | µg/L | 0,005 | µg/L | 6784 | Enrofloxacine | 0,02 µg/L |
| 2847 | Didémethylisoproturon | Pesticides | µg/L | 0,05 | µg/L | 1494 | Epichlorohydrine | 0,1 µg/L |
| 1173 | Dieidrine | Pesticides | µg/L | 0,001 | µg/L | 1873 | EPN | 0,02 µg/L |
| 7507 | Dienestrol | Pesticides | µg/L | 0,01 | µg/L | 1744 | Epoxiconazole | 0,02 µg/L |
| 1402 | Déthofencarbe | Pesticides | µg/L | 0,02 | µg/L | 1182 | EPTC | 0,05 µg/L |
| 2826 | Déthylamine | - | µg/L | 10 | µg/L | 7504 | Equilin | 0,01 µg/L |
| 2628 | Diethylstilbestrol | Pesticides | µg/L | 0,01 | µg/L | 6522 | Erythromycine | 0,005 µg/L |
| 2982 | Difenacoum | Pesticides | µg/L | 0,02 | µg/L | 1809 | Etenvalérate | 0,005 µg/L |
| 1905 | Difenoconazole | Pesticides | µg/L | 0,02 | µg/L | 5397 | Estradiol | 0,01 µg/L |
| 5524 | Difenoxuron | Pesticides | µg/L | 0,02 | µg/L | 6446 | Estriol | 0,005 µg/L |
| 1158 | Dibromochlorméthane | Micropolluants organiques | µg/L | 0,5 | µg/L | 2983 | Diféthalone | 0,02 µg/L |
| 1498 | Dibromoéthane-1,2 | Pesticides | µg/L | 0,5 | µg/L | 1488 | Diflubenzuron | 0,05 µg/L |
| 1513 | Dibromométhane | Micropolluants organiques | µg/L | 0,5 | µg/L | 1814 | Diflufenicanil | 0,005 µg/L |
| 7074 | Di butyletai n cation | Pesticides | µg/L | 0,0025 | µg/L | 6647 | Dihydrocodeine | 0,005 µg/L |
| 1480 | Dicamba | Pesticides | µg/L | 0,03 | µg/L | 5325 | Disobutyl phthalate | 0,4 µg/L |
| 1679 | Dichlobénil | Pesticides | µg/L | 0,005 | µg/L | 6729 | Diltiazem | 0,005 µg/L |
| 1159 | Dichlofenthion | Pesticides | µg/L | 0,02 | µg/L | 1870 | Dinéfuron | 0,02 µg/L |
| 1360 | Dichlofluanide | Pesticides | µg/L | 0,005 | µg/L | 7142 | Dimepiperate | 0,02 µg/L |
| 1160 | Dichloréthane-1,1 | Micropolluants organiques | µg/L | 0,5 | µg/L | 2546 | Dimétabchloré | 0,005 µg/L |
| 1161 | Dichloréthane-1,2 | Micropolluants organiques | µg/L | 0,5 | µg/L | 5737 | Diméthametryn | 0,02 µg/L |
| 1162 | Dichloréthylène-1,1 | Micropolluants organiques | µg/L | 0,5 | µg/L | 1678 | Diméthénamide | 0,005 µg/L |
| 1456 | Dichloréthylène-1,2 cis | Micropolluants organiques | µg/L | 0,5 | µg/L | 5617 | Dimethenamid-P | 0,03 µg/L |
| 1727 | Dichloréthylène-1,2 trans | Micropolluants organiques | µg/L | 0,5 | µg/L | 1175 | Diméthoate | 0,01 µg/L |
| 2929 | Dichlormide | Micropolluants organiques | µg/L | 0,05 | µg/L | 1403 | Diméthomorphe | 0,02 µg/L |
| 1590 | Dichloroaniline-2,3 | Pesticides | µg/L | 0,02 | µg/L | 2773 | Diméthylamine | 0,02 µg/L |
| 1589 | Dichloroaniline-2,4 | Pesticides | µg/L | 0,05 | µg/L | 6292 | Diméthylaniline | 0,025 µg/L |
| 1588 | Dichloroaniline-2,5 | Pesticides | µg/L | 0,02 | µg/L | 1641 | Diméthylphénol-2,4 | 0,02 µg/L |
| 1587 | Dichloroaniline-2,6 | Pesticides | µg/L | 0,02 | µg/L | 6972 | Diméthylphosphos | - |
| 1586 | Dichloroaniline-3,4 | Pesticides | µg/L | 0,015 | µg/L | 1698 | Diméthylaniline | 0,02 µg/L |
| 1585 | Dichloroaniline-3,5 | Pesticides | µg/L | 0,02 | µg/L | 5748 | dimoxystrobine | 0,02 µg/L |
| 1165 | Dichlorobenzène-1,2 | Micropolluants organiques | µg/L | 0,05 | µg/L | 1871 | Diniconazole | 0,02 µg/L |
| 1164 | Dichlorobenzène-1,3 | Micropolluants organiques | µg/L | 0,5 | µg/L | 1578 | Dinitrotoluène-2,4 | 0,5 µg/L |
| 1166 | Dichlorobenzène-1,4 | Micropolluants organiques | µg/L | 0,05 | µg/L | 1577 | Dinitrotoluène-2,6 | 0,5 µg/L |
| 1484 | Dichlorobenzidine-3,3' | Micropolluants organiques | µg/L | 0,5 | µg/L | 5619 | Dinocap | 0,05 µg/L |
| 1167 | Dichlorobromométhane | Micropolluants organiques | µg/L | 0,5 | µg/L | 1491 | Dinosèbe | 0,02 µg/L |
| 1168 | Dichlorométhane | Micropolluants organiques | µg/L | 5 | µg/L | 1176 | Dinoterbe | 0,03 µg/L |
| 1617 | Dichloronitrobenzène-2,3 | Micropolluants organiques | µg/L | 0,05 | µg/L | 7494 | Diocetylétain cation | 0,025 µg/L |
| 1616 | Dichloronitrobenzène-2,4 | Micropolluants organiques | µg/L | 0,05 | µg/L | 5743 | Dioxacarb | 0,025 µg/L |
| 1615 | Dichloronitrobenzène-2,5 | Micropolluants organiques | µg/L | 0,05 | µg/L | 5478 | Diphenylamine | 0,05 µg/L |
| 1614 | Dichloronitrobenzène-3,4 | Micropolluants organiques | µg/L | 0,05 | µg/L | 7495 | Diphenylétain cation | 0,01 µg/L |
| 1613 | Dichloronitrobenzène-3,5 | Micropolluants organiques | µg/L | 0,05 | µg/L | 1698 | Diquat | 0,05 µg/L |
| 2981 | Dichlorophène | Pesticides | µg/L | 0,02 | µg/L | 1492 | Disulfoton | 0,005 µg/L |
| 1645 | Dichlorophénol-2,3 | Micropolluants organiques | µg/L | 0,05 | µg/L | 5745 | Ditalimfos | 0,05 µg/L |
| 1486 | Dichlorophénol-2,4 | Micropolluants organiques | µg/L | 0,02 | µg/L | 1177 | Diuron | 0,02 µg/L |
| 1649 | Dichlorophénol-2,5 | Micropolluants organiques | µg/L | 0,02 | µg/L | 1490 | DNOC | 0,02 µg/L |
| 1648 | Dichlorophénol-2,6 | Micropolluants organiques | µg/L | 0,05 | µg/L | 3383 | Dodécyl phénol | 1 µg/L |
| 1647 | Dichlorophénol-3,4 | Micropolluants organiques | µg/L | 0,05 | µg/L | 2933 | Dodine | 0,02 µg/L |
| 1646 | Dichlorophénol-3,5 | Micropolluants organiques | µg/L | 0,05 | µg/L | 6969 | Doxepine | 5 µg/L |
| 2081 | Dichloropropane-2,2 | Pesticides | µg/L | 0,03 | µg/L | 6791 | Doxycycline | 0,001 µg/L |
| 1834 | Dichloropropylène-1,3 Cis | Pesticides | µg/L | 0,1 | µg/L | 7515 | DPU (Diphénylurée) | 0,005 µg/L |
| 1835 | Dichloropropylène-1,3 Trans | Pesticides | µg/L | 0,1 | µg/L | 5751 | Edifenphos | 0,001 µg/L |
| 1169 | Dichloropropylène-1,3 Trans | Pesticides | µg/L | 0,03 | µg/L | 1493 | EDTA | 0,001 µg/L |
| 2544 | Dichloroprop-P | Pesticides | µg/L | 0,03 | µg/L | 1178 | Endosulfan alpha | 0,001 µg/L |
| 1170 | Dichlorvos | Pesticides | µg/L | 0,01 | µg/L | 1179 | Endosulfan beta | 0,001 µg/L |
| 5349 | Diclofenac | Pesticides | µg/L | 0,01 | µg/L | 1742 | Endosulfan sulfate | 0,01 µg/L |
| 1171 | Diclofop méthyl | Pesticides | µg/L | 0,05 | µg/L | 1181 | Endrine | 0,001 µg/L |
| 1172 | Dicotol | Pesticides | µg/L | 0,005 | µg/L | 2941 | Endrine aldehyde | 0,005 µg/L |
| 5525 | Dicrotophos | Pesticides | µg/L | 0,005 | µg/L | 6784 | Enrofloxacine | 0,02 µg/L |
| 2847 | Didémethylisoproturon | Pesticides | µg/L | 0,05 | µg/L | 1494 | Epichlorohydrine | 0,1 µg/L |
| 1173 | Dieidrine | Pesticides | µg/L | 0,001 | µg/L | 1873 | EPN | 0,02 µg/L |
| 7507 | Dienestrol | Pesticides | µg/L | 0,01 | µg/L | 1744 | Epoxiconazole | 0,02 µg/L |
| 1402 | Déthofencarbe | Pesticides | µg/L | 0,02 | µg/L | 1182 | EPTC | 0,05 µg/L |
| 2826 | Déthylamine | - | µg/L | 10 | µg/L | 7504 | Equilin | 0,01 µg/L |
| 2628 | Diethylstilbestrol | Pesticides | µg/L | 0,01 | µg/L | 6522 | Erythromycine | 0,005 µg/L |
| 2982 | Difenacoum | Pesticides | µg/L | 0,02 | µg/L | 1809 | Etenvalérate | 0,005 µg/L |
| 1905 | Difenoconazole | Pesticides | µg/L | 0,02 | µg/L | 5397 | Estradiol | 0,01 µg/L |
| 5524 | Difenoxuron | Pesticides | µg/L | 0,02 | µg/L | 6446 | Estriol | 0,005 µg/L |

| Code SANDRE | Paramètre | Type | Unité | Limite de Quantification | Code SANDRE | Paramètre | Type | Unité | Limite de Quantification |
|-------------|--------------------------|---------------------------|-------|--------------------------|-------------|------------------------------|---------------------------|-------|--------------------------|
| 5396 | Estrone | Micropolluants organiques | µg/L | 0,01 | 1191 | Fluoranthène | HAP | µg/L | 0,005 |
| 5529 | Ethametsulfuron-methyl | Micropolluants organiques | µg/L | 0,02 | 1623 | Fluorène | HAP | µg/L | 0,005 |
| 2093 | Ethephon | Pesticides | µg/L | 0,02 | 5638 | Fluoxastrobine | Micropolluants organiques | µg/L | 0,02 |
| 1763 | Ethidimuron | Pesticides | µg/L | 0,02 | 5373 | Fluoxétine | Pesticides | µg/L | 0,005 |
| 5528 | Ethiofencarbe sulfone | Pesticides | µg/L | 0,02 | 2565 | Fluypyrsulfuron méthyle | Pesticides | µg/L | 0,02 |
| 6534 | Ethofencarbe sulfonyde | Pesticides | µg/L | 0,02 | 2056 | Fluquinconazole | Pesticides | µg/L | 0,02 |
| 1183 | Ethion | Pesticides | µg/L | 0,02 | 1974 | Fluridone | Pesticides | µg/L | 0,02 |
| 1874 | Ethiophencarbe | Pesticides | µg/L | 0,02 | 1675 | Flurochloridone | Pesticides | µg/L | 0,005 |
| 1184 | Etholumesate | Pesticides | µg/L | 0,005 | 1765 | Fluroxypyr | Pesticides | µg/L | 0,02 |
| 1495 | Ethoprophos | Pesticides | µg/L | 0,02 | 2547 | Fluroxypyr-méthyl | Pesticides | µg/L | 0,02 |
| 5527 | Ethoxysulfuron | Micropolluants organiques | µg/L | 0,02 | 2024 | Flurprimidol | Pesticides | µg/L | 0,005 |
| 1497 | Ethylbenzène | Micropolluants organiques | µg/L | 0,5 | 2008 | Flurtamone | Pesticides | µg/L | 0,02 |
| 5648 | Ethylène Thiodiglycérine | Micropolluants organiques | µg/L | 0,1 | 1194 | Flusilazole | Pesticides | µg/L | 0,02 |
| 6601 | Ethyleneglycure | Pesticides | µg/L | 0,1 | 2985 | Flutoianil | Micropolluants organiques | µg/L | 0,02 |
| 6644 | Ethylparaben | Micropolluants organiques | µg/L | 0,03 | 1503 | Flutriatol | Micropolluants organiques | µg/L | 0,02 |
| 2673 | Ethyl tert-butyl ether | Micropolluants organiques | µg/L | 0,5 | 1192 | Folpel | Pesticides | µg/L | 0,01 |
| 2629 | Ethynodiol | Micropolluants organiques | µg/L | 0,04 | 2075 | Fomesafen | Pesticides | µg/L | 0,05 |
| 5625 | Etoxazole | Micropolluants organiques | µg/L | 0,05 | 1674 | Fonotols | Pesticides | µg/L | 0,02 |
| 5760 | Ettimos | Micropolluants organiques | µg/L | 0,005 | 2806 | Foramsulfuron | Micropolluants organiques | µg/L | 0,02 |
| 2020 | Famoxadone | Micropolluants organiques | µg/L | 0,005 | 5969 | Forchlorenuron | Micropolluants organiques | µg/L | 0,02 |
| 5761 | Famphur | Micropolluants organiques | µg/L | 0,02 | 1702 | Formaldéhyde | Pesticides | µg/L | 1 |
| 2057 | Fénamidon | Micropolluants organiques | µg/L | 0,02 | 1703 | Forméatanate | Micropolluants organiques | µg/L | 0,05 |
| 1185 | Fénarimol | Micropolluants organiques | µg/L | 0,005 | 1504 | Formothion | Pesticides | µg/L | 0,001 |
| 2742 | Fénazéquin | Micropolluants organiques | µg/L | 0,05 | 1975 | Foséthyl aluminium | Micropolluants organiques | µg/L | 0,02 |
| 1906 | Fenbuconazole | Micropolluants organiques | µg/L | 0,02 | 2744 | Fosthiazate | Micropolluants organiques | µg/L | 0,02 |
| 2078 | Fenbutatin oxyde | Micropolluants organiques | µg/L | 0,1 | 1908 | Furalaxylyl | Micropolluants organiques | µg/L | 0,005 |
| 7513 | Fenchlorazole-éthyl | Micropolluants organiques | µg/L | 0,1 | 2567 | Furathiocarbé | Pesticides | µg/L | 0,05 |
| 1186 | Fenchlorphos | Micropolluants organiques | µg/L | 0,005 | 7441 | Furlazole | Micropolluants organiques | µg/L | 0,05 |
| 2743 | Fenhexamid | Micropolluants organiques | µg/L | 0,005 | 5364 | Furosemide | Micropolluants organiques | µg/L | 0,02 |
| 1187 | Fénitrothion | Micropolluants organiques | µg/L | 0,02 | 6653 | gamma-Hexabromocyclododecane | Micropolluants organiques | µg/L | 0,02 |
| 5627 | Fenizon | Micropolluants organiques | µg/L | 0,1 | 5365 | Gemfibrozil | Micropolluants organiques | µg/L | 0,05 |
| 5763 | Fenobucarb | Micropolluants organiques | µg/L | 0,005 | 1526 | Glufosinate | Pesticides | µg/L | 0,02 |
| 5368 | Fenofibrate | Micropolluants organiques | µg/L | 0,02 | 1506 | Glyphosate | Micropolluants organiques | µg/L | 0,02 |
| 6970 | Fenopropfen | Micropolluants organiques | µg/L | 0,05 | 5508 | Halosulfuron-méthyl | Pesticides | µg/L | 0,02 |
| 5970 | Fenothiocarbe | Micropolluants organiques | µg/L | 0,02 | 2047 | Haloxytop | Micropolluants organiques | µg/L | 0,05 |
| 1973 | Fénoxaproprop éthyl | Micropolluants organiques | µg/L | 0,02 | 1833 | Haloxop-éthoxyéthyl | Micropolluants organiques | µg/L | 0,02 |
| 1967 | Fénoxycarbe | Micropolluants organiques | µg/L | 0,02 | 1201 | HCH alpha | Pesticides | µg/L | 0,005 |
| 1188 | Fenopropazine | Micropolluants organiques | µg/L | 0,05 | 1202 | HCH beta | Micropolluants organiques | µg/L | 0,02 |
| 1700 | Fenopropidone | Micropolluants organiques | µg/L | 0,01 | 1202 | HCH delta | Pesticides | µg/L | 0,005 |
| 1189 | Fenopropmorphine | Micropolluants organiques | µg/L | 0,005 | 2046 | HCH epsilon | Pesticides | µg/L | 0,005 |
| 1190 | Fenthion | Micropolluants organiques | µg/L | 0,02 | 1203 | HCH gamma | Pesticides | µg/L | 0,005 |
| 1500 | Fénuron | Micropolluants organiques | µg/L | 0,02 | 1197 | Heptachlore époxide cis | Pesticides | µg/L | 0,005 |
| 1701 | Fenvalératate | Micropolluants organiques | µg/L | 0,01 | 1748 | Heptachlore époxide trans | Pesticides | µg/L | 0,005 |
| 2009 | Fipronil | Micropolluants organiques | µg/L | 0,005 | 1749 | Heptachlore époxide cis | Pesticides | µg/L | 0,005 |
| 1840 | Flamprop-isopropyl | Micropolluants organiques | µg/L | 0,02 | 1910 | Heptenophos | Pesticides | µg/L | 0,02 |
| 6539 | Flamprop-méthyl | Micropolluants organiques | µg/L | 0,02 | 2600 | Hexabromodiphényléther | Micropolluants organiques | µg/L | 0,0007 |
| 1939 | Fiazasulfuron | Micropolluants organiques | µg/L | 0,02 | 1199 | Hexachlorobenzène | Pesticides | µg/L | 0,001 |
| 6393 | Flonicamid | Micropolluants organiques | µg/L | 0,005 | 1652 | Hexachlorobutadiène | Pesticides | µg/L | 0,02 |
| 2810 | Florasulam | Micropolluants organiques | µg/L | 0,02 | 1656 | Hexachloroéthane | Pesticides | µg/L | 0,5 |
| 6764 | Florfenicol | Micropolluants organiques | µg/L | 0,1 | 1405 | Hexaconazole | Pesticides | µg/L | 0,02 |
| 6545 | Fluazifop | Micropolluants organiques | µg/L | 0,02 | 1875 | Hexaflumuron | Pesticides | µg/L | 0,05 |
| 1825 | Fluazifop-butyl | Micropolluants organiques | µg/L | 0,05 | 1673 | Hexazine | Pesticides | µg/L | 0,02 |
| 2984 | Fluazinam | Micropolluants organiques | µg/L | 0,1 | 1876 | Hexythiazox | Pesticides | µg/L | 0,02 |
| 2022 | Fludioxonil | Micropolluants organiques | µg/L | 0,02 | 5350 | Ibupofène | Pesticides | µg/L | 0,01 |
| 1676 | Fluénoxonuron | Micropolluants organiques | µg/L | 0,02 | 6727 | Ioflamide | Pesticides | µg/L | 0,005 |
| 2023 | Flumioxazine | Micropolluants organiques | µg/L | 0,005 | 1704 | Imazalil | Pesticides | µg/L | 0,02 |
| 1501 | Fluometuron | Micropolluants organiques | µg/L | 0,02 | 1695 | Imazaméthabenz | Micropolluants organiques | µg/L | 0,02 |

| Code SANDRE | Paramètre | Type | Unité | Limite de Quantification | Type | Unité | Limite de Quantification | Type |
|-------------|---------------------------|----------------------------|-------|--------------------------|-------------------------------------|-------|--------------------------|----------------------------|
| 1911 | Inazaméthabenzoïne méthyl | Pesticides | µg/L | 0,01 | MCPA-butoxyethyl ester | 2747 | 0,005 | - |
| 2986 | Inazamox | Micropollutants organiques | µg/L | 0,02 | MCPA-éthyl-ester | 2748 | 0,01 | - |
| 2090 | Inazapyr | Micropollutants organiques | µg/L | 0,02 | MCPA-méthyle-ester | 2749 | 0,005 | - |
| 2860 | MAZAQUINE | Pesticides | µg/L | 0,02 | Mecarbam | 5789 | 0,05 | Micropollutants organiques |
| 7510 | Imbenconazole | Micropollutants organiques | µg/L | 0,1 | Mécoprop | 1214 | 0,02 | Pesticides |
| 1877 | Imidaclopride | Pesticides | µg/L | 0,02 | Mecoprop-1-octyl ester | 2750 | 0,005 | - |
| 6971 | Imiparmine | Micropollutants organiques | µg/L | 0,02 | Mecoprop-2,4-triméthylphényle ester | 2751 | 0,005 | - |
| 1204 | Indépé (123c) Pyrène | HAP | µg/L | 0,005 | Mecoprop-2-butylhexyl ester | 2752 | 0,005 | - |
| 6794 | Indometacine | Micropollutants organiques | µg/L | 0,02 | Mecoprop-2-éthylhexyl ester | 2753 | 0,005 | Pesticides |
| 5483 | Indoxacarbe | Micropollutants organiques | µg/L | 0,02 | Mecoprop-2-octyl ester | 2754 | 0,005 | Micropollutants organiques |
| 2741 | Iodocarbe | Micropollutants organiques | µg/L | 0,02 | Mecoprop-méthyl ester | 2755 | 0,005 | Micropollutants organiques |
| 2025 | Iodofeniphos | Pesticides | µg/L | 0,005 | Mecoprop n isobutylique ester | 2870 | 0,005 | Pesticides |
| 2563 | Iodosulfuron | Pesticides | µg/L | 0,02 | Méfénacet | 1988 | 0,005 | Micropollutants organiques |
| 1205 | Ioxynil | Pesticides | µg/L | 0,02 | Méfenipyridiptyl | 2930 | 0,005 | Pesticides |
| 2871 | Ioxynil methyl ester | - | µg/L | 0,005 | Mefluidide | 2588 | 0,02 | Pesticides |
| 1942 | Ioxynil octanoate | Pesticides | µg/L | 0,01 | Méfonoxam | 2754 | 0,02 | Micropollutants organiques |
| 7508 | Ipoconazole | Micropollutants organiques | µg/L | 0,02 | Mepanipyrim | 5533 | 0,005 | Micropollutants organiques |
| 5777 | Iprobenitos | Micropollutants organiques | µg/L | 0,02 | Mephositolan | 5791 | 0,02 | Micropollutants organiques |
| 1206 | Iprodione | Pesticides | µg/L | 0,005 | Mépiquat | 1989 | 0,05 | Pesticides |
| 2951 | Iprovalicarbe | Pesticides | µg/L | 0,02 | Mépiquat chlorure | 2089 | 0,066 | Micropollutants organiques |
| 6535 | Irbesartan | Micropollutants organiques | µg/L | 0,005 | Mepivacaïne | 6521 | 0,01 | Micropollutants organiques |
| 1935 | Irgarol | Micropollutants organiques | µg/L | 0,05 | Mépronil | 1878 | 0,005 | Pesticides |
| 1976 | Isazofos | Pesticides | µg/L | 0,02 | Mercaptoimidéthur sulfoxyde | 1510 | 0,01 | Micropollutants organiques |
| 1836 | Isobutylbenzène | Micropollutants organiques | µg/L | 0,5 | Mercaptoimidéthur sulfoxyde | 1804 | 0,02 | Pesticides |
| 1207 | Isodrine | Pesticides | µg/L | 0,001 | Mesosulfuron méthyle | 2578 | 0,02 | Micropollutants organiques |
| 1829 | Isophosphos | Pesticides | µg/L | 0,02 | Mésotrione | 2076 | 0,05 | Pesticides |
| 5781 | Isoprocarb | Micropollutants organiques | µg/L | 0,02 | Métaisoprotiazuron | 1706 | 0,02 | Pesticides |
| 1633 | Isopropylbenzène | Micropollutants organiques | µg/L | 0,5 | Métaisoprotiazuron | 1796 | 0,02 | Micropollutants organiques |
| 2681 | Isopropyli tolène o | Micropollutants organiques | µg/L | 0,5 | Métaimitrone | 1215 | 0,02 | Pesticides |
| 1856 | Isopropyli tolène p | Micropollutants organiques | µg/L | 0,5 | Métazacchlore | 1670 | 0,005 | Pesticides |
| 1208 | Isoproturon | Pesticides | µg/L | 0,02 | Metonazole | 1879 | 0,02 | Pesticides |
| 6643 | Isquinoline | Micropollutants organiques | µg/L | 0,01 | Méthabenzthiazuron | 1216 | 0,02 | Micropollutants organiques |
| 2722 | Isothiocyanate de méthyle | Pesticides | µg/L | 1 | Méthachrifos | 5792 | 0,02 | Pesticides |
| 1672 | Isocaben | Micropollutants organiques | µg/L | 0,02 | Méthamidophos | 1671 | 0,02 | Micropollutants organiques |
| 2807 | Is oxadifen-éthyle | Pesticides | µg/L | 0,005 | Méthidathion | 1217 | 0,02 | Pesticides |
| 1945 | Is oxafutol | Micropollutants organiques | µg/L | 0,02 | Méthomyl | 1218 | 0,02 | Pesticides |
| 5784 | Isoxathion | Pesticides | µg/L | 0,02 | Méthotrexate | 6793 | 0,05 | Micropollutants organiques |
| 7505 | Karbutilate | Micropollutants organiques | µg/L | 0,02 | Méthoxychloré | 1511 | 0,005 | Pesticides |
| 5353 | Ketoprofene | Micropollutants organiques | µg/L | 0,01 | Méthyl-2-Fluoranthène | 1619 | 0,01 | Micropollutants organiques |
| 7669 | Ketorolac | Micropollutants organiques | µg/L | 0,05 | Méthyl-2-Naphtalène | 1618 | 0,005 | Pesticides |
| 1950 | Kresoxim méthyl | Pesticides | µg/L | 0,02 | Méthylparaben | 6695 | 0,03 | Micropollutants organiques |
| 1094 | Lambada Cyhalothrine | Micropollutants organiques | µg/L | 0,005 | Métriam | 2067 | 0,03 | Pesticides |
| 1406 | Lénacile | Pesticides | µg/L | 0,005 | Mélobromuron | 1515 | 0,02 | Micropollutants organiques |
| 6770 | Levonorgestrel | Micropollutants organiques | µg/L | 0,05 | Métolachlore | 1221 | 0,02 | Pesticides |
| 7843 | Lincomycline | Micropollutants organiques | µg/L | 0,005 | Métolachlor ESA | 6854 | 0,005 | Micropollutants organiques |
| 1209 | Linuron | Pesticides | µg/L | 0,02 | Métoxuron | 1222 | 0,02 | Pesticides |
| 5374 | Lorazépam | Micropollutants organiques | µg/L | 0,02 | Métrafenone | 5654 | 0,005 | Micropollutants organiques |
| 2026 | Lufénuron | Pesticides | µg/L | 0,05 | Métribuzine | 1225 | 0,02 | Pesticides |
| 1210 | Malathion | Pesticides | µg/L | 0,02 | Métoprolo | 5362 | 0,01 | Micropollutants organiques |
| 5787 | Malathion-o-analog | Micropollutants organiques | µg/L | 0,02 | Métosulame | 1912 | 0,02 | Pesticides |
| 7327 | Maléate de Timolol | Pesticides | µg/L | 0,005 | Métoxuron | 1222 | 0,02 | Micropollutants organiques |
| 1211 | Mancozebe | Micropollutants organiques | µg/L | 0,03 | Métrufenone | 5654 | 0,005 | Pesticides |
| 6399 | Mandipropramid | Pesticides | µg/L | 0,02 | Metsulfuron méthyl | 1797 | 0,02 | Micropollutants organiques |
| 1705 | Manèbe | Micropollutants organiques | µg/L | 0,03 | Mévinphos | 1226 | 0,02 | Pesticides |
| 6700 | Marbofloxacine | Micropollutants organiques | µg/L | 0,1 | Mexacarbate | 7143 | 0,02 | Micropollutants organiques |
| 2745 | MCPA-1-butyl ester | Pesticides | µg/L | 0,005 | Molinate | 1707 | 0,005 | Pesticides |
| 2746 | MCPA-2-éthylhexyl ester | - | µg/L | 0,005 | Monobutyl/étain cation | 2542 | 0,0025 | Micropollutants organiques |

| Code SANDRE | Paramètre | Type | Unité | Limite de Quantification | Code SANDRE | Paramètre | Type | Unité | Limite de Quantification |
|-------------|----------------------------------|---------------------------|-------|--------------------------|-------------|------------------------------------|---------------------------|-------|--------------------------|
| 1880 | Monocrotophos | Pesticides | µg/L | 0,02 | 1243 | PCB 118 | PCB | µg/L | 0,0012 |
| 1227 | Monolinuron | Pesticides | µg/L | 0,02 | 5434 | PCB 123 | PCB | µg/L | 0,0003 |
| 7496 | Monooctylétain cation | Pesticides | µg/L | 0,001 | 2943 | PCB 125 | PCB | µg/L | 0,005 |
| 7497 | Monophényletian cation | Pesticides | µg/L | 0,001 | 1089 | PCB 126 | PCB | µg/L | 0,00006 |
| 1228 | Monuron | Pesticides | µg/L | 0,02 | 1884 | PCB 128 | PCB | µg/L | 0,0012 |
| 6671 | Morphine | Micropolluants organiques | µg/L | 0,02 | 1244 | PCB 138 | PCB | µg/L | 0,0012 |
| 7475 | Morpholine | Micropolluants organiques | µg/L | 2 | 1885 | PCB 149 | PCB | µg/L | 0,0012 |
| 1512 | MTBE | Micropolluants organiques | µg/L | 0,5 | 1245 | PCB 153 | PCB | µg/L | 0,0012 |
| 6342 | Musc xylène | - | µg/L | 0,1 | 2032 | PCB 156 | PCB | µg/L | 0,00012 |
| 1881 | Myclobutanil | Pesticides | µg/L | 0,02 | 5435 | PCB 157 | PCB | µg/L | 0,000018 |
| 6443 | Nadolol | Micropolluants organiques | µg/L | 0,005 | 5436 | PCB 167 | PCB | µg/L | 0,00003 |
| 1516 | Naled | Pesticides | µg/L | 0,02 | 1090 | PCB 169 | PCB | µg/L | 0,00006 |
| 1517 | Naphthalène | HAP | µg/L | 0,005 | 1626 | PCB 170 | PCB | µg/L | 0,0012 |
| 1518 | Naphthol-1 | HAP | µg/L | 0,1 | 1246 | PCB 180 | PCB | µg/L | 0,0012 |
| 1519 | Napropamide | Pesticides | µg/L | 0,005 | 5437 | PCB 189 | PCB | µg/L | 0,000012 |
| 5351 | Naproxène | Micropolluants organiques | µg/L | 0,05 | 1625 | PCB 194 | PCB | µg/L | 0,0012 |
| 1937 | Napthalame | Pesticides | µg/L | 0,05 | 1624 | PCB 209 | PCB | µg/L | 0,0012 |
| 1520 | Néburon | Pesticides | µg/L | 0,02 | 1239 | PCB 28 | PCB | µg/L | 0,0012 |
| 1882 | Nicosulfuron | Pesticides | µg/L | 0,02 | 1886 | PCB 31 | PCB | µg/L | 0,0012 |
| 5657 | Nicotine | Micropolluants organiques | µg/L | 0,02 | 1240 | PCB 35 | PCB | µg/L | 0,0012 |
| 2614 | Nitrobenzène | Micropolluants organiques | µg/L | 0,1 | 2031 | PCB 37 | PCB | µg/L | 0,005 |
| 1229 | Nitrofène | Pesticides | µg/L | 0,005 | 1628 | PCB 44 | PCB | µg/L | 0,0012 |
| 1637 | Nitrophénol-2 | Micropolluants organiques | µg/L | 0,05 | 1241 | PCB 52 | PCB | µg/L | 0,0012 |
| 6598 | Nitrophénols linéaire ou ramifié | Micropolluants organiques | µg/L | 0,1 | 2048 | PCB 54 | PCB | µg/L | 0,0012 |
| 5400 | Norethindrone | Micropolluants organiques | µg/L | 0,05 | 5803 | PCB 66 | PCB | µg/L | 0,005 |
| 6761 | Norfloxacine | Micropolluants organiques | µg/L | 0,1 | 1091 | PCB 77 | PCB | µg/L | 0,00006 |
| 6772 | Norfluoxétine | Micropolluants organiques | µg/L | 0,005 | 5432 | PCB 81 | PCB | µg/L | 0,00006 |
| 1669 | Norfurazon | Pesticides | µg/L | 0,005 | 1762 | Penconazole | Pesticides | µg/L | 0,02 |
| 2737 | Norfurazon désméthyl | Pesticides | µg/L | 0,005 | 1887 | Pencycuron | Pesticides | µg/L | 0,02 |
| 1883 | Nuarimol | Pesticides | µg/L | 0,005 | 1234 | Pendiméthiline | Pesticides | µg/L | 0,005 |
| 2609 | Ocarbamodiphénylether | Pesticides | µg/L | 0,002 | 6394 | Penoxytolam | Pesticides | µg/L | 0,005 |
| 2904 | Octylphénols | Micropolluants organiques | µg/L | 0,03 | 1888 | Pentachlorobenzène | Micropolluants organiques | µg/L | 0,001 |
| 6767 | O-Demethyltramadol | Micropolluants organiques | µg/L | 0,005 | 1235 | Pentachlorophénol | Micropolluants organiques | µg/L | 0,06 |
| 6533 | Oflacacine | Micropolluants organiques | µg/L | 0,02 | 7509 | Penthiopyrad | Micropolluants organiques | µg/L | 0,02 |
| 2027 | Oflurace | Pesticides | µg/L | 0,005 | 7670 | Pentoxifyline | Micropolluants organiques | µg/L | 0,005 |
| 1230 | Ométhoate | Pesticides | µg/L | 0,002 | 6219 | Perchlorate | Micropolluants organiques | µg/L | 0,1 |
| 1668 | Oxyzalin | Pesticides | µg/L | 0,1 | 6548 | Perfluorooctanesulfonamide (PFOSA) | Micropolluants organiques | µg/L | 0,02 |
| 2068 | Oxadaryl | Pesticides | µg/L | 0,005 | 1523 | Perméthrine | Pesticides | µg/L | 0,01 |
| 1667 | Oxadiazon | Pesticides | µg/L | 0,005 | 1499 | Phénamiphos | Pesticides | µg/L | 0,02 |
| 1666 | Oxadixyl | Pesticides | µg/L | 0,005 | 1524 | Phénanthrène | Pesticides | µg/L | 0,005 |
| 1850 | Oxamyl | Pesticides | µg/L | 0,02 | 5420 | Phénazone | Pesticides | µg/L | 0,005 |
| 5510 | Oxa sulfuron | Micropolluants organiques | µg/L | 0,02 | 1236 | Phénoméphane | Pesticides | µg/L | 0,02 |
| 5375 | Oxazepam | Micropolluants organiques | µg/L | 0,01 | 2876 | Phénol, 4-(3-méthylbutyl)- | Pesticides | µg/L | 0,1 |
| 6682 | Oxycodone | Micropolluants organiques | µg/L | 0,01 | 5813 | Phenthioate | Pesticides | µg/L | 0,02 |
| 1231 | Oxydémerton méthyl | Micropolluants organiques | µg/L | 0,02 | 7708 | Phénytoïn | Pesticides | µg/L | 0,05 |
| 1952 | Oxyfluorène | Pesticides | µg/L | 0,01 | 1525 | Phorate | Pesticides | µg/L | 0,02 |
| 6532 | Oxytétracycline | Micropolluants organiques | µg/L | 0,005 | 1237 | Phosalone | Pesticides | µg/L | 0,02 |
| 1920 | p-(n-octyl)phénol | Micropolluants organiques | µg/L | 0,03 | 1971 | Phosmet | Pesticides | µg/L | 0,02 |
| 2545 | Paclbutrazole | Pesticides | µg/L | 0,02 | 1238 | Phosphamidon | Pesticides | µg/L | 0,02 |
| 5806 | Paraxoxon | Micropolluants organiques | µg/L | 0,02 | 1665 | Phoxime | Pesticides | µg/L | 0,02 |
| 1522 | Paraquat | Pesticides | µg/L | 0,05 | 1489 | Phthalate de diméthyle | Pesticides | µg/L | 0,4 |
| 2618 | Para-sec-butylphénol | Micropolluants organiques | µg/L | 0,1 | 1708 | Piclorame | Pesticides | µg/L | 0,05 |
| 1232 | Parathion éthyl | Pesticides | µg/L | 0,01 | 5665 | Picolinafen | Pesticides | µg/L | 0,02 |
| 1233 | Parathion méthyl | Pesticides | µg/L | 0,005 | 2689 | Picoxystrobine | Pesticides | µg/L | 0,02 |
| 1242 | PCB 101 | PCB | µg/L | 0,0012 | 1709 | Piperonil butoxide | Pesticides | µg/L | 0,005 |
| 1627 | PCB 105 | PCB | µg/L | 0,0003 | 5819 | Piperophos | Pesticides | µg/L | 0,02 |
| 5433 | PCB 114 | PCB | µg/L | 0,0003 | 1528 | Primicarbe | Pesticides | µg/L | 0,02 |

| Code SANDRE | Paramètre | Type | Unité | Limite de Quantification | Type | Unité | Limite de Quantification | Type | Unité |
|-------------|--------------------------------|---------------------------|-----------|--------------------------|--|-------------|--------------------------|---------------------------|-----------|
| Code SANDRE | Paramètre | Code SANDRE | Paramètre | Code SANDRE | Paramètre | Code SANDRE | Paramètre | Code SANDRE | Paramètre |
| 5531 | Primicarbe Desmethyl | Pesticides | µg/L | 0,02 | Pyroxulam | 7340 | 0,05 | Micropolluants organiques | |
| 5532 | Primicarbe Fommamido Desmethyl | Pesticides | µg/L | 0,02 | Quinalphos | 1891 | 0,02 | Pesticides | |
| 7668 | Prioxicam | Micropolluants organiques | µg/L | 0,005 | Quinmerac | 2087 | 0,02 | Pesticides | |
| 5821 | p-Nitrotoluene | Micropolluants organiques | µg/L | 0,15 | Quinoxylén | 2028 | 0,02 | Pesticides | |
| 6734 | Prednisolone | Micropolluants organiques | µg/L | 0,05 | Quintozène | 1538 | 0,005 | Pesticides | |
| 1949 | Prelachlore | Micropolluants organiques | µg/L | 0,005 | Quizalofop | 2069 | 0,01 | Pesticides | |
| 6531 | Prilocaine | Micropolluants organiques | µg/L | 0,005 | Quizalofop éthyl | 2070 | 0,02 | Pesticides | |
| 6847 | Pristinamycine IA | Micropolluants organiques | µg/L | 0,02 | Ranitidine | 6529 | 0,02 | Micropolluants organiques | |
| 1253 | Prochloraze | Pesticides | µg/L | 0,02 | Resmethrine | 2859 | 0,05 | Micropolluants organiques | |
| 1664 | Procymidone | Micropolluants organiques | µg/L | 0,005 | Rimsulfuron | 1892 | 0,01 | Pesticides | |
| 1889 | Profénofos | Micropolluants organiques | µg/L | 0,02 | Roténone | 2029 | 0,02 | Pesticides | |
| 5402 | Progesterone | Micropolluants organiques | µg/L | 0,005 | Salbutamol | 6527 | 0,005 | Micropolluants organiques | |
| 1710 | Pronécarbe | Pesticides | µg/L | 0,02 | Sébutylazina | 1923 | 0,05 | Micropolluants organiques | |
| 1711 | Prométion | Pesticides | µg/L | 0,005 | Sébutylazina 2-hydroxy | 6101 | 0,02 | Pesticides | |
| 1254 | Prométryne | Pesticides | µg/L | 0,02 | Sébutylazina deséthyl | 5981 | 0,02 | Micropolluants organiques | |
| 1712 | Propachlore | Pesticides | µg/L | 0,01 | Sebumeton | 1262 | 0,02 | Pesticides | |
| 6398 | Propamocarb | Pesticides | µg/L | 0,02 | Serratoline | 6769 | 0,05 | Micropolluants organiques | |
| 1532 | Propanil | Pesticides | µg/L | 0,005 | Séthoxydime | 1808 | 0,02 | Micropolluants organiques | |
| 6964 | Propaphos | Pesticides | µg/L | 0,02 | Siduron | 1893 | 0,02 | Pesticides | |
| 1972 | Propaquazop | Pesticides | µg/L | 0,02 | Silthiopham | 5609 | 0,02 | Micropolluants organiques | |
| 1255 | Propargile | Pesticides | µg/L | 0,005 | Silvex | 1539 | 0,02 | Micropolluants organiques | |
| 1256 | Propazine | Pesticides | µg/L | 0,02 | Simazine | 1263 | 0,02 | Pesticides | |
| 5968 | Propazine 2-hydroxy | Pesticides | µg/L | 0,02 | Simazine hydroxy | 1831 | 0,02 | Pesticides | |
| 1533 | Propatamphos | Pesticides | µg/L | 0,005 | Simétrynate | 5477 | 0,01 | Micropolluants organiques | |
| 1534 | Propame | Pesticides | µg/L | 0,02 | Simavastatine | 5358 | 0,1 | Pesticides | |
| 1257 | Propiconazole | Pesticides | µg/L | 0,02 | S Métolachlor | 2974 | 0,1 | Micropolluants organiques | |
| 2989 | Propinobé | Pesticides | µg/L | 0,1 | Somme de Méthylphénol-3 et de Méthylphén | 5855 | 0,05 | Micropolluants organiques | |
| 1535 | Propoxur | Pesticides | µg/L | 0,02 | Sotalol | 5424 | 0,005 | Micropolluants organiques | |
| 5602 | Propoxycarbazone-sodium | Pesticides | µg/L | 0,02 | Spironad | 5610 | 0,01 | Micropolluants organiques | |
| 5363 | Proprianolol | Pesticides | µg/L | 0,005 | Spironetetramat | 7506 | 0,02 | Micropolluants organiques | |
| 1837 | Propylbenzène | Pesticides | µg/L | 0,05 | Spiroxamine | 2684 | 0,02 | Micropolluants organiques | |
| 6214 | Propylene thioure | Pesticides | µg/L | 0,5 | s-Triazin-2-ol, 4-amino-6-(éthylamino)- | 3160 | 0,05 | Micropolluants organiques | |
| 6693 | Propylparaben | Pesticides | µg/L | 0,03 | Styrène | 1541 | 0,5 | Micropolluants organiques | |
| 5421 | Propyphénazole | Pesticides | µg/L | 0,005 | Sulcotricone | 1662 | 0,05 | Pesticides | |
| 1414 | Propyzamide | Pesticides | µg/L | 0,005 | Sulfamethoxazole | 5356 | 0,02 | Micropolluants organiques | |
| 7422 | Proquinazid | Pesticides | µg/L | 0,02 | Sulfaguanoxaline | 6575 | 0,05 | Micropolluants organiques | |
| 1092 | Prosulfocarbe | Pesticides | µg/L | 0,02 | Sulfiramid (EtFOASA) | 6662 | 0,05 | Micropolluants organiques | |
| 2534 | Prosulfuron | Pesticides | µg/L | 0,02 | Sulfuron | 5507 | 0,05 | Micropolluants organiques | |
| 5603 | Prothioconazole | Pesticides | µg/L | 0,05 | Sulfotéfup | 2085 | 0,02 | Pesticides | |
| 7442 | Proximpham | Pesticides | µg/L | 0,02 | Sulfosulfuron | 1894 | 0,02 | Micropolluants organiques | |
| 5416 | Pymétozine | Pesticides | µg/L | 0,02 | Sulprifos | 5831 | 0,02 | Pesticides | |
| 6611 | Pyraclofós | Pesticides | µg/L | 0,02 | Tafluvalinate | 1193 | 0,005 | Micropolluants organiques | |
| 2576 | Pyraclostrobine | Pesticides | µg/L | 0,02 | Tébutame | 1694 | 0,02 | Pesticides | |
| 5509 | Pyraflufen-éthyl | Pesticides | µg/L | 0,02 | Tébuténozide | 1895 | 0,02 | Micropolluants organiques | |
| 1258 | Pyrazophos | Pesticides | µg/L | 0,02 | Téflubenzuron | 1896 | 0,005 | Pesticides | |
| 6386 | Pyrazosulfuron-éthyl | Pesticides | µg/L | 0,02 | Téfluthrine | 1953 | 0,005 | Micropolluants organiques | |
| 6530 | Pyrazoxyfen | Pesticides | µg/L | 0,02 | Tébutame | 1661 | 0,005 | Pesticides | |
| 1537 | Pyrène | HAP | µg/L | 0,005 | Tébuténozide | 1542 | 0,02 | Micropolluants organiques | |
| 5826 | Pyributicarb | Pesticides | µg/L | 0,02 | Técazène | 5413 | 0,01 | Pesticides | |
| 1890 | Pyridabâne | Pesticides | µg/L | 0,005 | Téflubenzuron | 1897 | 0,05 | Micropolluants organiques | |
| 5606 | Pyridaphenthion | Pesticides | µg/L | 0,02 | Téfluthrine | 1953 | 0,005 | Pesticides | |
| 1259 | Pyridate | Pesticides | µg/L | 0,01 | Tembotrione | 7086 | 0,05 | Micropolluants organiques | |
| 1663 | Pyrifénox | Pesticides | µg/L | 0,01 | Téphéphos | 1898 | 0,02 | Pesticides | |
| 1432 | Pyriméthanal | Pesticides | µg/L | 0,005 | Terbacille | 1659 | 0,005 | Micropolluants organiques | |
| 1260 | Pyrimiphos éthyl | Pesticides | µg/L | 0,02 | Terbucarb | 5835 | 0,02 | Pesticides | |
| 1261 | Pyrimiphos méthyl | Pesticides | µg/L | 0,005 | Terburnéton | 1266 | 0,02 | Micropolluants organiques | |
| 5499 | Pyriproxyfène | Pesticides | µg/L | 0,005 | Terbuphos | 1267 | 0,005 | Pesticides | |

| Code SANDRE | Paramètre | Type | Unité | Limite de Quantification | Unité | Limite de Quantification | Type | Unité | Limite de Quantification | Unité | Limite de Quantification | Type |
|-------------|----------------------------------|---------------------------|-------|--------------------------|-------|--------------------------------|---------------------------|-------|--------------------------|--------|---------------------------|------|
| Code SANDRE | Paramètre | | | | | | | | | | | |
| 6963 | Terbutaline | Micropolluants organiques | µg/L | 0.02 | 2879 | Tributylétain cation | Micropolluants organiques | µg/L | 0,0002 | 0,005 | Micropolluants organiques | |
| 1288 | Terbutylazine | Pesticides | µg/L | 0,02 | 1847 | Tributylphosphate | Micropolluants organiques | µg/L | 0,02 | 0,02 | Micropolluants organiques | |
| 2045 | Terbutylazine déséthyl | Micropolluants organiques | µg/L | 0,05 | 5840 | Tributyl phosphorothioate | Pesticides | µg/L | 0,02 | 0,02 | Pesticides | |
| 7150 | Terbutylazine déséthyl-2-hydroxy | Pesticides | µg/L | 0,02 | 1288 | Trichlopyr | Micropolluants organiques | µg/L | 0,5 | 0,5 | Micropolluants organiques | |
| 1954 | Terbutylazine hydroxy | Micropolluants organiques | µg/L | 0,02 | 1284 | Trichloréthane-1,1,1 | Micropolluants organiques | µg/L | 0,25 | 0,25 | Micropolluants organiques | |
| 1269 | Terbutryne | Micropolluants organiques | µg/L | 0,005 | 1285 | Trichloréthane-1,1,2 | Micropolluants organiques | µg/L | 0,5 | 0,5 | Micropolluants organiques | |
| 5384 | Testostérone | Micropolluants organiques | µg/L | 0,005 | 1286 | Trichloréthylène | Pesticides | µg/L | 0,02 | 0,02 | Pesticides | |
| 1936 | Tetrabutylétain | Micropolluants organiques | µg/L | 0,005 | 1287 | Trichlorofon | Micropolluants organiques | µg/L | 0,02 | 0,02 | Micropolluants organiques | |
| 1270 | Tétrachloréthane-1,1,1,2 | Pesticides | µg/L | 0,5 | 2734 | Trichloroaniline-2,3,4 | Micropolluants organiques | µg/L | 0,02 | 0,02 | Pesticides | |
| 1271 | Tétrachloréthane-1,1,2,2 | Micropolluants organiques | µg/L | 0,05 | 7017 | Trichloroaniline-2,3,5 | Micropolluants organiques | µg/L | 0,02 | 0,02 | Micropolluants organiques | |
| 1272 | Tétrachloréthyène | Micropolluants organiques | µg/L | 0,5 | 2732 | Trichloroaniline-2,4,5 | Micropolluants organiques | µg/L | 0,02 | 0,02 | Micropolluants organiques | |
| 2010 | Tétrachlorobenzène-1,2,3,4 | Micropolluants organiques | µg/L | 0,02 | 1595 | Trichloroaniline-2,4,6 | Micropolluants organiques | µg/L | 0,05 | 0,05 | Micropolluants organiques | |
| 2536 | Tétrachlorobenzène-1,2,3,5 | Micropolluants organiques | µg/L | 0,1 | 1630 | Trichlorobenzène-1,2,3 | Micropolluants organiques | µg/L | 0,1 | 0,1 | Micropolluants organiques | |
| 1631 | Tétrachlorobenzène-1,2,4,5 | Pesticides | µg/L | 0,1 | 1283 | Trichlorobenzène-1,2,4 | Micropolluants organiques | µg/L | 0,1 | 0,1 | Micropolluants organiques | |
| 1273 | Tétrachlorophénol-2,3,4,5 | Micropolluants organiques | µg/L | 0,05 | 1629 | Trichlorobenzène-1,3,5 | Micropolluants organiques | µg/L | 0,05 | 0,05 | Micropolluants organiques | |
| 1274 | Tétrachlorophénol-2,3,4,6 | Micropolluants organiques | µg/L | 0,5 | 1195 | Trichlorofluorométhane | Micropolluants organiques | µg/L | 0,05 | 0,05 | Micropolluants organiques | |
| 1275 | Tétrachlorophénol-2,3,5,6 | Micropolluants organiques | µg/L | 0,5 | 1644 | Trichlorophénol-2,3,4 | Micropolluants organiques | µg/L | 0,05 | 0,05 | Micropolluants organiques | |
| 1276 | Tétrachlorure de C | Micropolluants organiques | µg/L | 0,5 | 1643 | Trichlorophénol-2,3,5 | Micropolluants organiques | µg/L | 0,05 | 0,05 | Micropolluants organiques | |
| 1277 | Tétrachlorvinphos | Pesticides | µg/L | 0,02 | 1642 | Trichlorophénol-2,3,6 | Micropolluants organiques | µg/L | 0,25 | 0,25 | Micropolluants organiques | |
| 1660 | Tétraconazole | Micropolluants organiques | µg/L | 0,02 | 1548 | Trichlorophénol-2,4,5 | Micropolluants organiques | µg/L | 0,05 | 0,05 | Micropolluants organiques | |
| 6750 | Tetracycline | Micropolluants organiques | µg/L | 0,1 | 1549 | Trichlorophénol-2,4,6 | Micropolluants organiques | µg/L | 0,05 | 0,05 | Micropolluants organiques | |
| 1900 | Téttradifon | Micropolluants organiques | µg/L | 0,005 | 1723 | Trichlorophénol-3,4,5 | Micropolluants organiques | µg/L | 0,25 | 0,25 | Micropolluants organiques | |
| 5249 | Tétraphénylétain | Pesticides | µg/L | 0,005 | 1854 | Trichloropropane-1,2,3 | Pesticides | µg/L | 0,5 | 0,5 | Pesticides | |
| 5837 | Tetrasulf | Micropolluants organiques | µg/L | 0,01 | 1196 | Trichlorotrifluoroéthane-1,1,2 | Micropolluants organiques | µg/L | 0,5 | 0,5 | Micropolluants organiques | |
| 1713 | Thiabendazole | Pesticides | µg/L | 0,02 | 5430 | Tricosan | Pesticides | µg/L | 0,05 | 0,05 | Pesticides | |
| 5671 | Thiacloprid | Micropolluants organiques | µg/L | 0,05 | 2898 | Tricyclohexyletaien cation | Micropolluants organiques | µg/L | 0,0005 | 0,0005 | Micropolluants organiques | |
| 1940 | Thiafluamide | Micropolluants organiques | µg/L | 0,02 | 2885 | Tridémorphe | Micropolluants organiques | µg/L | 0,1 | 0,1 | Micropolluants organiques | |
| 6390 | Thiamethoxam | Pesticides | µg/L | 0,02 | 1811 | Triflumuron | Pesticides | µg/L | 0,02 | 0,02 | Pesticides | |
| 1714 | Thiazasulfuron | Micropolluants organiques | µg/L | 0,05 | 5842 | Trietazine | Micropolluants organiques | µg/L | 0,02 | 0,02 | Pesticides | |
| 5934 | Thidiazuron | Pesticides | µg/L | 0,02 | 6102 | Trietazine 2-hydroxy | Micropolluants organiques | µg/L | 0,02 | 0,02 | Pesticides | |
| 1913 | Thifensulfuron méthyl | Micropolluants organiques | µg/L | 0,05 | 5971 | Trietazine desethyl | Micropolluants organiques | µg/L | 0,02 | 0,02 | Pesticides | |
| 7512 | Thiocyclam hydrogén oxalate | Micropolluants organiques | µg/L | 0,01 | 2678 | Trifl oxy strobine | Micropolluants organiques | µg/L | 0,02 | 0,02 | Pesticides | |
| 1093 | Thiodicarbe | Pesticides | µg/L | 0,02 | 1902 | Triflumuron | Micropolluants organiques | µg/L | 0,02 | 0,02 | Pesticides | |
| 1715 | Thiofanox | Micropolluants organiques | µg/L | 0,05 | 1288 | Trifluraline | Micropolluants organiques | µg/L | 0,005 | 0,005 | Pesticides | |
| 5476 | Thiofanox sulfone | Pesticides | µg/L | 0,02 | 2991 | Triflusulfuron-methyl | Micropolluants organiques | µg/L | 0,02 | 0,02 | Pesticides | |
| 5475 | Thiofanox sulfonyde | Micropolluants organiques | µg/L | 0,05 | 1802 | Triforine | Micropolluants organiques | µg/L | 0,02 | 0,02 | Micropolluants organiques | |
| 2071 | Thiométon | Pesticides | µg/L | 0,02 | 5357 | Triméthoprime | Micropolluants organiques | µg/L | 0,005 | 0,005 | Pesticides | |
| 5838 | Thionazin | Micropolluants organiques | µg/L | 0,05 | 1857 | Triméthylbenzène-1,2,3 | Micropolluants organiques | µg/L | 1 | 1 | Micropolluants organiques | |
| 7514 | Thiophanate-ethyl | Micropolluants organiques | µg/L | 0,05 | 1609 | Triméthylbenzène-1,2,4 | Micropolluants organiques | µg/L | 1 | 1 | Micropolluants organiques | |
| 1717 | Thiophanate-méthyl | Micropolluants organiques | µg/L | 0,05 | 1509 | Triméthylbenzène-1,3,5 | Micropolluants organiques | µg/L | 0,02 | 0,02 | Micropolluants organiques | |
| 1718 | Thiram | Pesticides | µg/L | 0,1 | 2096 | Trinexapac-ethyl | Micropolluants organiques | µg/L | 0,005 | 0,005 | Pesticides | |
| 6524 | Ticlopidine | Micropolluants organiques | µg/L | 0,01 | 2886 | Trioctylétain cation | Micropolluants organiques | µg/L | 0,001 | 0,001 | Pesticides | |
| 7965 | Timolol | Micropolluants organiques | µg/L | 0,005 | 6372 | Triphenyletaien cation | Micropolluants organiques | µg/L | 0,02 | 0,02 | Micropolluants organiques | |
| 5922 | Ticcarbazil | Micropolluants organiques | µg/L | 0,02 | 2992 | Triticonazole | Micropolluants organiques | µg/L | 0,02 | 0,02 | Micropolluants organiques | |
| 5675 | Tolclofós-méthyl | Micropolluants organiques | µg/L | 0,02 | 7482 | Uronazole | Micropolluants organiques | µg/L | 0,01 | 0,01 | Micropolluants organiques | |
| 1278 | Tolène | Micropolluants organiques | µg/L | 1 | 1290 | Vamidothion | Micropolluants organiques | µg/L | 0,005 | 0,005 | Pesticides | |
| 1719 | Tolyfluanide | Pesticides | µg/L | 0,005 | 1291 | Vinclozoline | Micropolluants organiques | µg/L | 1 | 1 | Micropolluants organiques | |
| 1658 | Tralométhrine | Micropolluants organiques | µg/L | 0,005 | 1289 | Xylène-méta | Micropolluants organiques | µg/L | 0,5 | 0,5 | Micropolluants organiques | |
| 6720 | Tramadol | Pesticides | µg/L | 0,005 | 1292 | Xylène-ortho | Micropolluants organiques | µg/L | 1 | 1 | Micropolluants organiques | |
| 1544 | Tradiméton | Pesticides | µg/L | 0,005 | 1294 | Xylène-para | Micropolluants organiques | µg/L | 0,03 | 0,03 | Micropolluants organiques | |
| 1280 | Tradiméthol | Pesticides | µg/L | 0,02 | 1721 | Znèbe | Pesticides | µg/L | 0,02 | 0,02 | Pesticides | |
| 1281 | Triallate | Pesticides | µg/L | 0,02 | 5376 | Zolpidem | Pesticides | µg/L | 0,005 | 0,005 | Pesticides | |
| 1914 | Triasulfuron | Pesticides | µg/L | 0,02 | 2858 | Zoxamide | Pesticides | µg/L | 0,02 | 0,02 | Pesticides | |
| 1901 | Triazamate | Pesticides | µg/L | 0,05 | | | | | | | | |
| 1657 | Triazophos | Pesticides | µg/L | 0,02 | | | | | | | | |
| 2990 | Triazoxide | Pesticides | µg/L | 0,05 | | | | | | | | |
| 2064 | Tribenuron-Méthyle | Pesticides | µg/L | 0,02 | | | | | | | | |

Annexe 2

Liste des micropolluants analysés sur sédiments

| Code SANDRE | Paramètre | Limité de Quantification | Unité | Type | Code SANDRE | Paramètre | Limité de Quantification | Unité | Type |
|-------------|--|--------------------------|-----------|----------------------------|-------------|--------------------------------|--------------------------|-------|---------------------------|
| 1370 | Aluminium | 10 | mg(A)/kg | Micropolluants métalliques | 1607 | Benzidine | 100 | lg/kg | Pesticides |
| 1376 | Antimoine | 0.2 | mg(Sb)/kg | Micropolluants métalliques | 1082 | Benzo (a) Anthracène | 10 | lg/kg | HAP |
| 1368 | Argent | 0.2 | mg(Ag)/kg | Micropolluants métalliques | 1115 | Benzo (a) Pyrène | 10 | lg/kg | HAP |
| 1369 | Arsenic | 0.2 | mg(As)/kg | Micropolluants métalliques | 1116 | Benzo (b) Fluoranthène | 10 | lg/kg | HAP |
| 1396 | Baryum | 0.4 | mg(Ba)/kg | Micropolluants métalliques | 1118 | Benzo (ghi) Pétylène | 10 | lg/kg | HAP |
| 1377 | Beryllium | 0.2 | mg(Be)/kg | Micropolluants métalliques | 1117 | Benzo (k) Fluoranthène | 10 | lg/kg | Pesticides |
| 1362 | Bore | 1 | mg(B)/kg | Micropolluants métalliques | 1119 | Bifénox | 50 | lg/kg | Micropolluants organiques |
| 1388 | Cadmium | 0.2 | mg(Cd)/kg | Micropolluants métalliques | 1584 | Biphényle | 10 | lg/kg | Micropolluants organiques |
| 1389 | Chrome | 0.2 | mg(Cr)/kg | Micropolluants métalliques | 1122 | Bromoformé | 5 | lg/kg | Pesticides |
| 1379 | Cobalt | 0.2 | mg(Co)/kg | Micropolluants métalliques | 1125 | Bromoxynil | 10 | lg/kg | Pesticides |
| 1392 | Cuivre | 0.2 | mg(Cu)/kg | Micropolluants métalliques | 1941 | Bromoxynil octanoate | 50 | lg/kg | Pesticides |
| 1380 | Étain | 0.2 | mg(Sn)/kg | Micropolluants métalliques | 1464 | Chlorfenvinphos | 20 | lg/kg | Pesticides |
| 1393 | Fer | 10 | mg(Fe)/kg | Micropolluants métalliques | 1134 | Chloméphos | 10 | lg/kg | - |
| 1364 | Lithium | 1 | mg(Li)/kg | Micropolluants métalliques | 1955 | Chloroalcanes C10-C13 | 2000 | lg/kg | Micropolluants organiques |
| 1394 | Manganèse | 0.4 | mg(Mn)/kg | Micropolluants métalliques | 1593 | Chloroaniline-2 | 50 | lg/kg | Micropolluants organiques |
| 1387 | Mercure | 0.02 | mg(Hg)/kg | Micropolluants métalliques | 1592 | Chloroaniline-3 | 50 | lg/kg | Micropolluants organiques |
| 1395 | Molybdène | 0.2 | mg(Mo)/kg | Micropolluants métalliques | 1591 | Chloroaniline-4 | 50 | lg/kg | Micropolluants organiques |
| 1386 | Nickel | 0.2 | mg(Ni)/kg | Micropolluants métalliques | 1467 | Chlorobenzène | 10 | lg/kg | Micropolluants organiques |
| 1382 | Plomb | 0.2 | mg(Pb)/kg | Micropolluants métalliques | 1612 | Chlorodinitrobenzène-1,2,4 | 20 | lg/kg | Micropolluants organiques |
| 1385 | Sélénium | 0.2 | mg(Se)/kg | Micropolluants métalliques | 1135 | Chloroforme (Trichlorométhane) | 5 | lg/kg | Micropolluants organiques |
| 2559 | Tellure | 0.2 | mg(Te)/kg | Micropolluants métalliques | 1635 | Chlorométhylphénol-2,5 | 50 | lg/kg | Micropolluants organiques |
| 2555 | Thallium | 0.2 | mg(Tl)/kg | Micropolluants métalliques | 1636 | Chlorométhylphénol-4,3 | 50 | lg/kg | Micropolluants organiques |
| 1373 | Titan | 1 | mg(U)/kg | Micropolluants métalliques | 1594 | Chloronitroniline-4,2 | 50 | lg/kg | Micropolluants organiques |
| 1361 | Uranium | 0.2 | mg(V)/kg | Micropolluants métalliques | 1469 | Chloronitrobenzène-1,2 | 20 | lg/kg | Micropolluants organiques |
| 1384 | Vanadium | 0.2 | mg(Zn)/kg | Micropolluants métalliques | 1468 | Chloronitrobenzène-1,3 | 20 | lg/kg | Micropolluants organiques |
| 1383 | Zinc | 0.4 | lg/kg | Micropolluants organiques | 1470 | Chloronitrobenzène-1,4 | 20 | lg/kg | Micropolluants organiques |
| 5474 | 4-n-nonylphénol | 40 | lg/kg | Micropolluants organiques | 1471 | Chlorophénol-2 | 50 | lg/kg | Micropolluants organiques |
| 1958 | 4-nonylphénols ramifiés | 40 | lg/kg | Micropolluants organiques | 1651 | Chlorophénol-3 | 50 | lg/kg | Micropolluants organiques |
| 2610 | 4-tert-butylphénol | 40 | lg/kg | Micropolluants organiques | 1650 | Chlorophénol-4 | 50 | lg/kg | Micropolluants organiques |
| 1959 | 4-t-octylphénol | 40 | lg/kg | HAP | 2611 | Chloropropene | 20 | lg/kg | Micropolluants organiques |
| 1453 | Acénaphthène | 10 | lg/kg | HAP | 2065 | Chloropropène-3 | 5 | lg/kg | Micropolluants organiques |
| 1622 | Acénaphytène | 20 | lg/kg | Pesticides | 1602 | Chlorotoluène-2 | 5 | lg/kg | Micropolluants organiques |
| 1903 | Acétochloré | 10 | lg/kg | Pesticides | 1601 | Chlorotoluène-3 | 5 | lg/kg | Micropolluants organiques |
| 6560 | Acide perfluorooctanesulfonique (PFOS) | 50 | lg/kg | Micropolluants organiques | 1600 | Chlorotoluène-4 | 5 | lg/kg | Micropolluants organiques |
| 1688 | Acilonifen | 20 | lg/kg | Pesticides | 1474 | Chloropropane | 10 | lg/kg | Pesticides |
| 1103 | Aldrine | 20 | lg/kg | Pesticides | 1083 | Chloryphiphos éthyl | 10 | lg/kg | Pesticides |
| 1812 | Alphanéthrine | 20 | lg/kg | HAP | 1540 | Chloryphiphos méthyl | 20 | lg/kg | HAP |
| 1458 | Anthracène | 10 | lg/kg | Micropolluants organiques | 1476 | Chrysène | 10 | lg/kg | Pesticides |
| 1110 | Azinphos éthyl | 50 | lg/kg | Pesticides | 2017 | Claomazone | 50 | lg/kg | Pesticides |
| 1951 | Azoxystrobine | 10 | lg/kg | - | 1639 | Crésol-méta | 50 | lg/kg | Micropolluants organiques |
| 2915 | BDE100 | 10 | lg/kg | - | 1640 | Crésol-ortho | 50 | lg/kg | Pesticides |
| 2913 | BDE138 | 10 | lg/kg | - | 1638 | Crésol-para | 50 | lg/kg | Pesticides |
| 2912 | BDE153 | 10 | lg/kg | - | 1140 | Cyperméthrine | 20 | lg/kg | Pesticides |
| 2911 | BDE154 | 10 | lg/kg | - | 1680 | Cyprocronazole | 10 | lg/kg | Pesticides |
| 2910 | BDE183 | 10 | lg/kg | - | 1359 | Cyprodinil | 10 | lg/kg | Pesticides |
| 5989 | BDE196 | 10 | lg/kg | - | 1143 | DDD-o,p' | 5 | lg/kg | Pesticides |
| 5990 | BDE197 | 10 | lg/kg | - | 1144 | DDD-p,p' | 5 | lg/kg | Pesticides |
| 5991 | BDE198 | 10 | lg/kg | - | 1145 | DDE-o,p' | 5 | lg/kg | Pesticides |
| 5986 | BDE203 | 10 | lg/kg | - | 1146 | DDE-p,p' | 5 | lg/kg | Pesticides |
| 5996 | BDE204 | 10 | lg/kg | - | 1147 | DDT-o,p' | 5 | lg/kg | Pesticides |
| 5997 | BDE205 | 10 | lg/kg | - | 1148 | DDT-p,p' | 5 | lg/kg | Pesticides |
| 1815 | BDE209 | 10 | lg/kg | - | 6616 | DEHP | 100 | lg/kg | Micropolluants organiques |
| 2920 | BDE228 | 10 | lg/kg | - | 1149 | Deltaméthrine | 20 | lg/kg | Pesticides |
| 2919 | BDE47 | 10 | lg/kg | - | 1157 | Diazinon | 25 | lg/kg | Pesticides |
| 7437 | BDE77 | 10 | lg/kg | - | 1621 | Dibenzo (ah) Anthracène | 10 | lg/kg | HAP |
| 2916 | BDE99 | 10 | lg/kg | - | 1158 | Dibromo-chlorométhane | 5 | lg/kg | Micropolluants organiques |
| 1114 | Benzène | 5 | µg/kg | - | 1498 | Dibromoéthane-1,2 | 5 | lg/kg | Pesticides |

| Code SANDRE | Paramètre | Type | Unité | Limite de Quantification | Type | Unité | Limite de Quantification |
|-------------|-------------------------------|---------------------------|-------|--------------------------|-----------------------------------|-------|--------------------------|
| 7074 | Dibutyletaien cation | Pesticides | µg/kg | 10 | Fluoroxypyr-méthyl | 20 | µg/kg |
| 1160 | Dichloréthane-1,1 | Micropolluants organiques | µg/kg | 10 | Flusilazole | 10 | µg/kg |
| 1161 | Dichloréthane-1,2 | Micropolluants organiques | µg/kg | 10 | HCH alpha | 10 | µg/kg |
| 1162 | Dichlorotoléphényle-1,1 | Micropolluants organiques | µg/kg | 10 | HCH beta | 10 | µg/kg |
| 1456 | Dichlorotoléphényle-1,2 cis | Micropolluants organiques | µg/kg | 10 | HCH delta | 10 | µg/kg |
| 1727 | Dichlorotoléphényle-1,2 trans | Micropolluants organiques | µg/kg | 10 | HCH epsilon | 10 | µg/kg |
| 1590 | Dichloroaniline-2,3 | Micropolluants organiques | µg/kg | 20 | HCH gamma | 10 | µg/kg |
| 1589 | Dichloroaniline-2,4 | Micropolluants organiques | µg/kg | 50 | Heptachlore | 10 | µg/kg |
| 1588 | Dichloroaniline-2,5 | Pesticides | µg/kg | 50 | Heptachlore époxyde cis | 10 | µg/kg |
| 1587 | Dichloroaniline-2,6 | Pesticides | µg/kg | 50 | Heptachlore époxyde trans | 10 | µg/kg |
| 1586 | Dichloroaniline-3,4 | Pesticides | µg/kg | 50 | Hexachlorobutadiène | 10 | µg/kg |
| 1585 | Dichloroaniline-3,5 | Pesticides | µg/kg | 50 | Hexachlorobutadiène | 1 | µg/kg |
| 1165 | Dichlorobenzène-1,1,2 | Micropolluants organiques | µg/kg | 10 | Hexaconazole | 10 | µg/kg |
| 1164 | Dichlorobenzène-1,3 | Micropolluants organiques | µg/kg | 10 | Indénol (123c) Pyrène | 10 | µg/kg |
| 1166 | Dichlorobenzène-1,4 | Micropolluants organiques | µg/kg | 10 | Iprodione | 10 | µg/kg |
| 1167 | Dichlorobromométhane | Micropolluants organiques | µg/kg | 5 | Irgarol | 10 | µg/kg |
| 1168 | Dichlorométhane | Micropolluants organiques | µg/kg | 10 | Isodrine | 10 | µg/kg |
| 1617 | Dichloronitrobenzène-2,3 | Micropolluants organiques | µg/kg | 50 | Isopropyl/benzène | 5 | µg/kg |
| 1616 | Dichloronitrobenzène-2,4 | Micropolluants organiques | µg/kg | 50 | Kresoxim méthyl | 10 | µg/kg |
| 1615 | Dichloronitrobenzène-2,5 | Micropolluants organiques | µg/kg | 50 | Lambda Cyhalothrine | 10 | µg/kg |
| 1614 | Dichloronitrobenzène-3,4 | Micropolluants organiques | µg/kg | 50 | Linuron | 10 | µg/kg |
| 1613 | Dichloronitrobenzène-3,5 | Micropolluants organiques | µg/kg | 50 | Méthyl-2-Fluoranthène | 50 | µg/kg |
| 1645 | Dichlorophénol-2,3 | Micropolluants organiques | µg/kg | 50 | Napropamide | 50 | µg/kg |
| 1486 | Dichloropropane-1,2 | Micropolluants organiques | µg/kg | 50 | Méthyl-2-Naphthalène | 100 | µg/kg |
| 1649 | Dichloropropane-2,5 | Micropolluants organiques | µg/kg | 50 | n-Butyl Phthalate | 75 | µg/kg |
| 1648 | Dichloropropane-2,6 | Micropolluants organiques | µg/kg | 50 | Monooctylétain cation | 40 | µg/kg |
| 1647 | Dichlorophénol-3,4 | Micropolluants organiques | µg/kg | 50 | Monophényletaien cation | 40 | µg/kg |
| 1646 | Dichlorophénol-3,5 | Micropolluants organiques | µg/kg | 50 | Naphthalène | 25 | µg/kg |
| 1655 | Dichloropropane-1,2 | Micropolluants organiques | µg/kg | 10 | Napropamide | 10 | µg/kg |
| 1654 | Dichloropropane-1,3 | Micropolluants organiques | µg/kg | 10 | n-Butyl Phthalate | 100 | µg/kg |
| 2081 | Dichloropropane-2,2 | Micropolluants organiques | µg/kg | 10 | Nitrophénol-2 | 50 | µg/kg |
| 2082 | Dichloropropane-1,1 | Micropolluants organiques | µg/kg | 10 | Nonylphénols linéaire ou ramifiés | 40 | µg/kg |
| 1834 | Dichloropropylène-1,3 Cis | Micropolluants organiques | µg/kg | 10 | Nonurazon | 10 | µg/kg |
| 1835 | Dichloropropylène-1,3 Trans | Micropolluants organiques | µg/kg | 10 | Oxadiazon | 10 | µg/kg |
| 1653 | Dichloropropylène-2,3 | Micropolluants organiques | µg/kg | 20 | p-(n-octyl)phénol | 40 | µg/kg |
| 1169 | Dichloroprop | Micropolluants organiques | µg/kg | 20 | Parathion éthyl | 20 | µg/kg |
| 1170 | Dichlornovos | Pesticides | µg/kg | 30 | PCB 101 | 1 | µg/kg |
| 1172 | Dicofol | Pesticides | µg/kg | 20 | PCB 105 | 1 | µg/kg |
| 1173 | Dieldrine | Pesticides | µg/kg | 20 | PCB 114 | 1 | µg/kg |
| 1814 | Diffulfénicanil | Pesticides | µg/kg | 10 | PCB 118 | 1 | µg/kg |
| 1403 | Diméthomorphine | Pesticides | µg/kg | 100 | PCB 123 | 1 | µg/kg |
| 1641 | Diméthylphénol-2,4 | Micropolluants organiques | µg/kg | 50 | PCB 126 | 1 | µg/kg |
| 1578 | Dinitrotoluène-2,4 | Pesticides | µg/kg | 50 | PCB 138 | 1 | µg/kg |
| 1577 | Dinitrotoluène-2,6 | Pesticides | µg/kg | 50 | PCB 153 | 1 | µg/kg |
| 7494 | Diocetylétain cation | Pesticides | µg/kg | 100 | PCB 156 | 1 | µg/kg |
| 7495 | Diphenyletaien cation | Pesticides | µg/kg | 10 | PCB 157 | 1 | µg/kg |
| 1178 | Endosulfan alpha | Pesticides | µg/kg | 20 | PCB 167 | 1 | µg/kg |
| 1179 | Endosulfan beta | Pesticides | µg/kg | 20 | PCB 169 | 1 | µg/kg |
| 1742 | Endosulfan sulfate | Pesticides | µg/kg | 20 | PCB 170 | 1 | µg/kg |
| 1181 | Endrine | Pesticides | µg/kg | 20 | PCB 180 | 1 | µg/kg |
| 1744 | Epoxiconazole | Pesticides | µg/kg | 10 | PCB 189 | 1 | µg/kg |
| 1497 | Ethylbenzène | Micropolluants organiques | µg/kg | 5 | PCB 194 | 1 | µg/kg |
| 1187 | Fénitrothion | Pesticides | µg/kg | 10 | PCB 209 | 1 | µg/kg |
| 1967 | Fénoxycarbe | Pesticides | µg/kg | 10 | PCB 28 | 1 | µg/kg |
| 2022 | Fludioxonil | Pesticides | µg/kg | 10 | PCB 35 | 1 | µg/kg |
| 1191 | Fluoranthène | HAP | µg/kg | 40 | PCB 44 | 1 | µg/kg |
| 1623 | Fluorène | HAP | µg/kg | 40 | PCB 52 | 1 | µg/kg |

| Code SANDRE | Paramètre | Type | Unité | Limite de Quantification | Type | Unité | Limite de Quantification | Type | Unité | Limite de Quantification | Type | Unité |
|-------------|----------------------------------|---------------------------|-------|--------------------------|-------------|--------------|--------------------------|--------------------------|---------------------------|--------------------------|--------------------------|---------------------------|
| | | | | | Code SANDRE | Paramètre | Unité | Limite de Quantification | Type | Unité | Limite de Quantification | Type |
| 1091 | PCB 77 | PCB | µg/kg | 1 | 1292 | Xylène-ortho | 2 | 2 | Micropolluants organiques | µg/kg | 2 | Micropolluants organiques |
| 5432 | PCB 81 | PCB | µg/kg | 10 | 1294 | Xylène-para | 2 | 2 | Micropolluants organiques | µg/kg | 2 | Micropolluants organiques |
| 1234 | Pendiméthaline | Pesticides | µg/kg | 5 | | | | | | | | |
| 1888 | Pentachlorobénzène | Micropolluants organiques | µg/kg | 50 | | | | | | | | |
| 1235 | Pentachlorophénol | HAP | µg/kg | 50 | | | | | | | | |
| 1524 | Phénanthrène | Pesticides | µg/kg | 10 | | | | | | | | |
| 1665 | Phoxime | Pesticides | µg/kg | 10 | | | | | | | | |
| 1664 | Procyridone | Pesticides | µg/kg | 10 | | | | | | | | |
| 1414 | Propyzamide | Pesticides | µg/kg | 10 | | | | | | | | |
| 1537 | Pyrine | HAP | µg/kg | 40 | | | | | | | | |
| 2028 | Quinoxyfen | Pesticides | µg/kg | 10 | | | | | | | | |
| 7128 | Somme de 3 Hexabromocyclodécanes | Micropolluants organiques | µg/kg | 10 | | | | | | | | |
| 1662 | Sulcotrine | Pesticides | µg/kg | 10 | | | | | | | | |
| 1694 | Tébuconazole | Pesticides | µg/kg | 10 | | | | | | | | |
| 1661 | Tébutame | Pesticides | µg/kg | 10 | | | | | | | | |
| 1268 | Terbutylazine | Pesticides | µg/kg | 10 | | | | | | | | |
| 1269 | Terbutryne | Pesticides | µg/kg | 10 | | | | | | | | |
| 1936 | Tétrabutylétain | Micropolluants organiques | µg/kg | 5 | | | | | | | | |
| 1270 | Tétrachloroéthane-1,1,1,2 | Micropolluants organiques | µg/kg | 5 | | | | | | | | |
| 1271 | Tétrachloroéthane-1,1,2,2 | Micropolluants organiques | µg/kg | 10 | | | | | | | | |
| 1272 | Tétrachloroéthylène | Micropolluants organiques | µg/kg | 5 | | | | | | | | |
| 2010 | Tétrachlorobénzene-1,2,3,4 | Micropolluants organiques | µg/kg | 10 | | | | | | | | |
| 2536 | Tétrachlorobénzene-1,2,3,5 | Micropolluants organiques | µg/kg | 10 | | | | | | | | |
| 1631 | Tétrachlorobénzene-1,2,4,5 | Micropolluants organiques | µg/kg | 10 | | | | | | | | |
| 1273 | Tétrachlorophénol-2,3,4,5 | Micropolluants organiques | µg/kg | 50 | | | | | | | | |
| 1274 | Tétrachlorophénol-2,3,4,6 | Micropolluants organiques | µg/kg | 50 | | | | | | | | |
| 1275 | Tétrachlorophénol-2,3,5,6 | Micropolluants organiques | µg/kg | 50 | | | | | | | | |
| 1276 | Tétrachlorure de C | Micropolluants organiques | µg/kg | 5 | | | | | | | | |
| 1660 | Tétraconazole | Micropolluants organiques | µg/kg | 10 | | | | | | | | |
| 1278 | Toluène | Micropolluants organiques | µg/kg | 5 | | | | | | | | |
| 2879 | Tributyletian cation | Micropolluants organiques | µg/kg | 25 | | | | | | | | |
| 1847 | Tributylphosphate | Micropolluants organiques | µg/kg | 20 | | | | | | | | |
| 1288 | Trichloropyr | Pesticides | µg/kg | 10 | | | | | | | | |
| 1284 | Trichlorothéthane-1,1,1 | Micropolluants organiques | µg/kg | 5 | | | | | | | | |
| 1285 | Trichlorothéthane-1,1,2 | Micropolluants organiques | µg/kg | 5 | | | | | | | | |
| 1286 | Trichlorotéthylène | Micropolluants organiques | µg/kg | 5 | | | | | | | | |
| 2734 | Trichloroaniline-2,3,4 | Micropolluants organiques | µg/kg | 50 | | | | | | | | |
| 7017 | Trichloroaniline-2,3,5 | Micropolluants organiques | µg/kg | 20 | | | | | | | | |
| 2732 | Trichloroaniline-2,4,5 | Micropolluants organiques | µg/kg | 50 | | | | | | | | |
| 1595 | Trichloroaniline-2,4,6 | Micropolluants organiques | µg/kg | 50 | | | | | | | | |
| 1630 | Trichlorobénzene-1,2,3 | Micropolluants organiques | µg/kg | 10 | | | | | | | | |
| 1283 | Trichlorobénzene-1,2,4 | Micropolluants organiques | µg/kg | 10 | | | | | | | | |
| 1629 | Trichlorobénzene-1,3,5 | Micropolluants organiques | µg/kg | 10 | | | | | | | | |
| 1195 | Trichloroturométhane | Micropolluants organiques | µg/kg | 1 | | | | | | | | |
| 1644 | Trichlorophénol-2,3,4 | Micropolluants organiques | µg/kg | 50 | | | | | | | | |
| 1643 | Trichlorophénol-2,3,5 | Micropolluants organiques | µg/kg | 50 | | | | | | | | |
| 1642 | Trichlorophénol-2,3,6 | Micropolluants organiques | µg/kg | 50 | | | | | | | | |
| 1548 | Trichlorophénol-2,4,5 | Micropolluants organiques | µg/kg | 50 | | | | | | | | |
| 1549 | Trichlorophénol-2,4,6 | Micropolluants organiques | µg/kg | 50 | | | | | | | | |
| 1723 | Trichlorophénol-3,4,5 | Micropolluants organiques | µg/kg | 50 | | | | | | | | |
| 6506 | Trichlorotrifluoroéthane | Micropolluants organiques | µg/kg | 5 | | | | | | | | |
| 2885 | Tricyclohexyletian cation | Pesticides | µg/kg | 15 | | | | | | | | |
| 1289 | Trifluraline | Pesticides | µg/kg | 10 | | | | | | | | |
| 2736 | Trinitrotoluène | Hydrocarbures aromatiques | µg/kg | 20 | | | | | | | | |
| 2886 | Trioctyletian cation | Micropolluants organiques | µg/kg | 100 | | | | | | | | |
| 6372 | Triphényletrialetin cation | Pesticides | µg/kg | 10 | | | | | | | | |
| 1293 | Xyliène-méta | - | µg/kg | 2 | | | | | | | | |

Annexe 3

Comptes rendus des campagnes de prélèvements physico-chimiques et phytoplanctoniques

Relevé phytoplanctonique en plan d'eau

DONNEES GENERALES PLAN D'EAU - STATION

v.3.3.1
Septembre 2009

| | | | |
|-------------------------|---------------------------------|----------------|------------|
| Plan d'eau : | Retenue de PANTHIER | Date : | 06/03/2017 |
| Nom station : | Point profond | Code station : | U1305043 |
| Organisme / opérateur : | GREBE / A. Olivetto - P. Prompt | Réf. dossier : | AERMC PE |

| LOCALISATION PLAN D'EAU | | | |
|---------------------------------------|------------------------------|--------------------------------|----------------------|
| Commune : | Commarin (21) | | |
| Plan d'eau marnant : | oui | Superficie du bassin versant : | 973 km ² |
| HERI : | HERI : 10-Côtes calcaire Est | Superficie du plan d'eau : | 1,19 km ² |
| Profondeur maximale théorique : | 14,3 m | Profondeur moyenne : | m |
| Carte : (extrait IGN 1/25 000 ème) | | | |

| LOCALISATION STATION | | | |
|---|----------------------|-------------|--------------|
| Coordonnées du point : | relevées sur | GPS | |
| Lambert 93 (système français) : | (en m) | X S23528 | Y 6683578 |
| WGS 84 (système international) : | données GPS (en dms) | N | Altitude (m) |
| Profondeur : | 9,4 m | | |
| Photos du site : (indiquer l'angle de prise de vue sur la carte) | | | |
| Remarques et observations : | | | |

Relevé phytoplanctonique en plan d'eau

v.3.3.2

DONNEES GENERALES CAMPAGNE

juin 2012

| | | | |
|-------------------------------|---------------------------------|----------------|------------|
| Plan d'eau : | Retenue de PANTHIER | Date : | 06/03/2017 |
| Station ou n° d'échantillon : | Point profond | Code lac : | U1305043 |
| Organisme / opérateur : | GREBE / A. Olivetto - P. Prompt | Réf. dossier : | AERMC PE |

| STATION | | | | | |
|--------------------------------|----------------------|--|--------------|----------------|-------|
| Coordonnées de la station | relevées sur : | GPS | | | |
| Lambert 93 (système français) | (en m) | X 823528 | Y 6683578 | Altitude (m) : | 376,0 |
| WGS 84 (système international) | données GPS (en dms) | N | | Altitude (m) : | |
| Profondeur (m) : | 9,4 | | | | |
| Conditions d'observation : | Intensité du vent : | moyen | | | |
| | météo : | pluie fine | | | |
| | Surface de l'eau : | agitée | | | |
| | Hauteur des vagues: | 0,2 | | | m |
| | Bloom algal : | non | | | |
| Marnage : | oui | niveau des eaux par rapport à la végétation de ceinture (pour les plans d'eau marnant) : | 2 | m | |
| Remarques : | | | | | |

| PRELEVEMENTS | | | |
|---------------------------|--|---|---|
| Heure début de relevé : | 14:45 | Heure de fin de relevé : | 17:15 |
| Prélèvements réalisés : | <input checked="" type="checkbox"/> phytoplancton <input checked="" type="checkbox"/> chlorophylle <input checked="" type="checkbox"/> eau | Matériel employé : | <input type="checkbox"/> bouteille intégratrice <input checked="" type="checkbox"/> bouteille Van Dorn <input type="checkbox"/> Tuyau |
| | <input type="checkbox"/> sédiment <input type="checkbox"/> macrophytes <input type="checkbox"/> oligochètes <input type="checkbox"/> autres, préciser : | Volume filtré pour la chlorophylle (ml) : | 960 |
| Remarques, observations : | <p>Dépôt des échantillons d'eau et de sédiments au TNT de Besançon (25) le 06/07/2017 à 18:15.</p> <p>Prélèvements de fond réalisés à la bouteille verticale type Van Dorn à 8,4 m.</p> <p>Prélèvements euphotiques pour analyse des macropolluants et micropolluants et échantillonnage phytoplancton réalisés à la bouteille verticale type Van Dorn tous les 0,5 m sur 2,5 m.</p> <p>Température de l'air : 21°C - Press. atmos. : 960 hPa.</p> | | |

Relevé phytoplanctonique en plan d'eau
DONNEES PHYSICO-CHIMIQUES

v.3.3.2
June 2012

| | | | |
|-------------------------------|---------------------------------|----------------|------------|
| Plan d'eau : | Retenue de PANTHIER | Date : | 06/03/2017 |
| Station ou n° d'échantillon : | Point profond | Code lac : | U1305043 |
| Organisme / opérateur : | GREBE / A. Olivetto - P. Prompt | Réf. dossier : | AERMC PE |

TRANSPARENCY

| | | | | |
|----------------------|----------|---------------------------------------|---------------|------------|
| Secchi en m : | 1 | Zone euphotique (2,5 x Secchi) | en m : | 2,5 |
|----------------------|----------|---------------------------------------|---------------|------------|

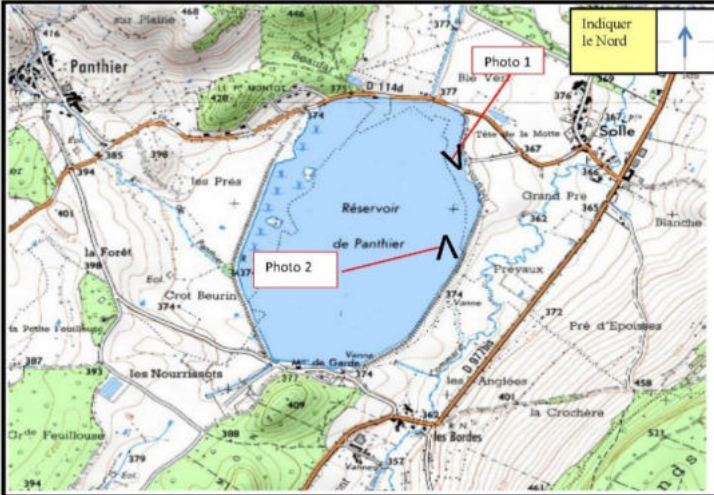
PROFIL VERTICAL

Relevé phytoplanctonique en plan d'eau
DONNEES GENERALES PLAN D'EAU - STATION

v.3.3.1

Septembre 2009

| | | | |
|-------------------------|----------------------------------|----------------|------------|
| Plan d'eau : | Retenue de PANTHIER | Date : | 17/05/2017 |
| Nom station : | Point profond | Code station : | U1305043 |
| Organisme / opérateur : | GREBE / F. Bourgeot - S. Ponchon | Réf. dossier : | AERMC PE |

| LOCALISATION PLAN D'EAU | | | |
|---|-------------------------------|--------------------------------|----------------------|
| Commune : | Commarin (21) | | |
| Plan d'eau marnant : | oui | Superficie du bassin versant : | 973 km ² |
| HER : | HIERI : 10-Côtes calcaire Est | Superficie du plan d'eau : | 1,19 km ² |
| Profondeur maximale théorique : | 14,3 m | Profondeur moyenne : | m |
| Carte : | (extrait IGN 1/25 000 émc) | | |
|  | | | |

| LOCALISATION STATION | | | |
|---|--|--------|--------------|
| Coordonnées du point : | relevées sur : | GPS | |
| Lambert 93 (système français) : | (en m) | X | Y |
| | | 823528 | 6683578 |
| WGS 84 (système international) : | données GPS (en dms) | N | Altitude (m) |
| Profondeur : | 10,8 m | | |
| Photos du site : (indiquer l'angle de prise de vue sur la carte) |  | | |
| Remarques et observations : | | | |

Relevé phytoplanctonique en plan d'eau

DONNEES GENERALES CAMPAGNE

v.3.3.2
juin 2012

| | | | |
|-------------------------------|----------------------------------|----------------|------------|
| Plan d'eau : | Retenue de PANTHIER | Date : | 17/05/2017 |
| Station ou n° d'échantillon : | Point profond | Code lac : | U1305043 |
| Organisme / opérateur : | GREBE / F. Bourgeot - S. Ponchon | Réf. dossier : | AERMC PE |

| STATION | | | | | |
|--------------------------------|----------------------|--|--------------|----------------|-------|
| Coordonnées de la station | relevées sur : | GPS | | | |
| Lambert 93 (système français) | (en m) | X 823528 | Y 6683578 | Altitude (m) : | 376,0 |
| WGS 84 (système international) | données GPS (en dms) | N | | Altitude (m) : | |
| Profondeur (m) : | 10,8 | | | | |
| Conditions d'observation : | Instensité du vent : | moyen | | | |
| | météo : | temps sec faiblement nuageux | | | |
| | Surface de l'eau : | agitée | | | |
| | Hauteur des vagues : | 0,1 | | | m |
| | Bloom algal : | non | | | |
| Marnage : | oui | niveau des eaux par rapport à la végétation de ceinture (pour les plans d'eau marrant) : | 0,55 | m | |
| Remarques : | | | | | |

| PRELEVEMENTS | | | |
|---------------------------|---|---|--|
| Heure début de relevé : | 13:00 | Heure de fin de relevé : | 15:00 |
| Prélèvements réalisés : | <input checked="" type="checkbox"/> phytoplancton <input checked="" type="checkbox"/> chlorophylle <input checked="" type="checkbox"/> eau <input type="checkbox"/> sédiment <input type="checkbox"/> macrophytes <input type="checkbox"/> oligochètes <input type="checkbox"/> autres, préciser : | Matériel employé : | <input type="checkbox"/> bouteille intégratrice <input checked="" type="checkbox"/> bouteille Van Dorn <input checked="" type="checkbox"/> Tuyau |
| | | Volume filtré pour la chlorophylle (ml) : | 1000 |
| Remarques, observations : | Dépôt des échantillons d'eau et de sédiments au TNT de Châlon/Saône (71) le 17/05/2017 à 19:00. Prélèvements de fond réalisés à la bouteille verticale type Van Dorn à 9,5 m. Prélèvement euphotique pour analyse des macropolluants et échantillonnage phytoplancton réalisé au tuyau sur 8,5 m et prélèvements pour micropolluants réalisés à la bouteille verticale type Van Dorn tous les 0,7 m sur 8,5 m. Beaucoup de zooplancton. Cote à l'échelle : 13,0 m Température de l'eau : 25,0°C - Press. atmos. : 975 hpa. | | |

Relevé phytoplanctonique en plan d'eau
DONNEES PHYSICO-CHIMIQUES

v.3.3.2
juin 2012

| | | | | | | | |
|-------------------------------|----------------------------------|--|--|----------------|------------|--|--|
| Plan d'eau : | Retenue de PANTHIER | | | Date : | 17/05/2017 | | |
| Station ou n° d'échantillon : | Point profond | | | Code lac : | U1305043 | | |
| Organisme / opérateur : | GREBE / F. Bourgeot - S. Ponchon | | | Réf. dossier : | AERMC PE | | |

| TRANSPARENCE | | | | | | | |
|---------------|-----|--|--|-----|--|--|--|
| Secchi en m : | 3,4 | | Zone euphotique (2,5 x Secchi) en m : | 8,5 | | | |

| PROFIL VERTICAL | | | | | | | |
|---|--------------------------------|-----------|-----|---|------------------|---------------------|--------------|
| Moyen utilisé : | mesures in-situ à chaque prof. | | | | | | |
| Echantillon phytoplanton ? | Prof (m) | Temp (°C) | pH | Conductivité à 25°C ($\mu\text{S.cm}^{-1}$) | O ₂ % | O ₂ mg/l | MODF ppb ESQ |
| <input checked="" type="checkbox"/> Intégré de 0 à .. 8,5 | 0,1 | 18,9 | 8,2 | 408,2 | 113,6 | 10,6 | 11,34 |
| | 1 | 18,8 | 8,2 | 407,0 | 114,7 | 10,7 | 11,68 |
| | 2 | 16,3 | 8,2 | 408,4 | 114,4 | 11,2 | 16,16 |
| | 3 | 15,2 | 8,2 | 413,0 | 113,1 | 11,3 | 21,59 |
| | 4 | 14,5 | 8,2 | 410,4 | 116,8 | 11,9 | 19,38 |
| | 5 | 13,6 | 8,2 | 416,6 | 102,4 | 10,6 | 20,10 |
| | 6 | 13,1 | 8,0 | 419,8 | 86,5 | 9,1 | 20,63 |
| | 7 | 12,7 | 7,8 | 425,1 | 51,5 | 5,4 | 24,23 |
| | 8 | 12,6 | 7,7 | 428,2 | 41,2 | 4,4 | 24,70 |
| | 9 | 12,6 | 7,7 | 429,1 | 37,8 | 4,0 | 25,08 |
| | 10 | 12,5 | 7,7 | 429,4 | 36,1 | 3,8 | 25,26 |

| | Profondeur (m) | | | | | | | | | | | | |
|----|----------------|---|--|---|---|---|---|---|---|---|---|----|----|
| | 0 | 1 | | 2 | 3 | 4 | 5 | 6 | 7 | 8 | 9 | 10 | 11 |
| | 0 | | | | | | | | | | | | |
| | 2 | | | | | | | | | | | | |
| | 4 | | | | | | | | | | | | |
| | 6 | | | | | | | | | | | | |
| | 8 | | | | | | | | | | | | |
| | 10 | | | | | | | | | | | | |
| | 12 | | | | | | | | | | | | |
| | 14 | | | | | | | | | | | | |
| | 16 | | | | | | | | | | | | |
| | 18 | | | | | | | | | | | | |
| 20 | | | | | | | | | | | | | |

Relevé phytoplanctonique en plan d'eau

DONNEES GENERALES PLAN D'EAU - STATION

v.3.3.1
Septembre 2009

| | | | |
|-------------------------|----------------------------------|----------------|------------|
| Plan d'eau : | Retenue de PANTHIER | Date : | 26/07/2017 |
| Nom station : | Point profond | Code station : | U1305043 |
| Organisme / opérateur : | GREBE / E. Michaut - A. Olivetto | Réf. dossier : | AERMC PE |

LOCALISATION PLAN D'EAU

| | | | |
|---------------------------------|---|--------------------------------|----------------------|
| Commune : | Commarin (21) | | |
| Plan d'eau mariant : | oui | Superficie du bassin versant : | 973 km ² |
| HER : | HÉR1 : 10-Côtes calcaire Est | Superficie du plan d'eau : | 1,19 km ² |
| Profondeur maximale théorique : | 14,3 m | Profondeur moyenne : | m |
| Carte : | <p>(extrait IGN 1/25 000 éme)</p> | | |
| | <p>Photo 1</p> <p>Photo 2</p> <p>Indiquer le Nord</p> | | |

LOCALISATION STATION

| | | | | |
|----------------------------------|--|--------|---------|--------------|
| Coordonnées du point : | relevées sur : | GPS | | |
| Lambert 93 (système français) : | (en m) | X | Y | Altitude |
| | | 823527 | 6683587 | 376 |
| WGS 84 (système international) : | données GPS (en dmz) | N | | Altitude [m] |
| Profondeur : | 8,8 | m | | |
| Photos du site : | <p>(indiquer l'angle de prise de vue sur la carte)</p> | | | |
| Remarques et observations : | | | | |

Relevé phytoplanctonique en plan d'eau

DONNEES GENERALES CAMPAGNE

v.3.3.2
juin 2012

| | | | |
|-------------------------------|----------------------------------|----------------|------------|
| Plan d'eau : | Retenue de PANTHIER | Date : | 26/07/2017 |
| Station ou n° d'échantillon : | Point profond | Code lac : | U1305043 |
| Organisme / opérateur : | GREBE / E. Michaut - A. Olivetto | Réf. dossier : | AERMC PE |

| STATION | | | | | |
|--------------------------------|----------------------|--|--------------|----------------|-------|
| Coordonnées de la station | relevées sur : | GPS | | | |
| Lambert 93 (système français) | (en m) | X 823527 | Y 6683587 | Altitude (m) : | 376,0 |
| WGS 84 (système international) | données GPS (en dms) | N | | Altitude (m) : | |
| Profondeur (m) : | 8,8 | | | | |
| Conditions d'observation : | Intensité du vent : | faible | | | |
| | météo : | temps sec faiblement nuageux | | | |
| | Surface de l'eau : | faiblement agitée | | | |
| | Hauteur des vagues : | 0,05 | | | m |
| | Bloom algal : | non | | | |
| Marnage : | oui | niveau des eaux par rapport à la végétation de ceinture (pour les plans d'eau marnant) : | 1,8 | m | |
| Remarques : | | | | | |

| PRELEVEMENTS | | | |
|---------------------------|---|---|---|
| Heure début de relevé : | 10:00 | Heure de fin de relevé : | 12:30 |
| Prélèvements réalisés : | <input checked="" type="checkbox"/> phytoplancton <input checked="" type="checkbox"/> chlorophylle <input checked="" type="checkbox"/> eau | Matériel employé : | <input type="checkbox"/> bouteille intégratrice <input checked="" type="checkbox"/> bouteille Van Dorn <input type="checkbox"/> Tuyau |
| | <input type="checkbox"/> sédiment <input type="checkbox"/> macrophytes <input type="checkbox"/> oligochètes <input type="checkbox"/> autres, préciser : | Volume filtré pour la chlorophylle (ml) : | 1000 |
| | | Volume de Lugol ajouté pour le phytoplancton (ml) : | 4 |
| Remarques, observations : | Dépôt des échantillons d'eau et de sédiments au TNT de Dijon (21) le 26/07/2017 à 16:30. Prélèvements de fond réalisés à la bouteille verticale type Van Dorn à 7,8 m. Echantillon euphotique pour analyse des micro/macropolluants et phytoplancton réalisé à la bouteille verticale type Van Dorn tous les 0,5 m sur 3,5 m. Cote à l'échelle : 11,20 m / Cote NGF : 370,66 m Température de l'air : 19,1°C - Press. atmos. : 975 hPa. | | |

Relevé phytoplanctonique en plan d'eau
DONNEES PHYSICO-CHIMIQUES

v.3.3.2
juin 2012

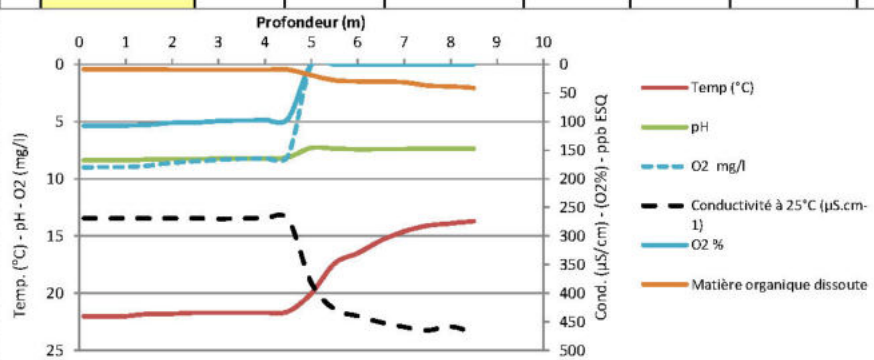
| | | | |
|-------------------------------|----------------------------------|----------------|------------|
| Plan d'eau : | Retenue de PANTHIER | Date : | 26/07/2017 |
| Station ou n° d'échantillon : | Point profond | Code lac : | U1305043 |
| Organisme / opérateur : | GREBE / E. Michaut - A. Olivetto | Réf. dossier : | AERMC PE |

TRANSPARENCY

| | | | |
|---------------|-----|---------------------------------------|-----|
| Secchi en m : | 1,4 | Zone euphotique (2,5 x Secchi) en m : | 3,5 |
|---------------|-----|---------------------------------------|-----|

PROFIL VERTICAL

| Moyen utilisé : | mesures in-situ à chaque prof. | | | | | | | |
|-----------------------------|---|-----------|-----|---|------------------|---------------------|--------------|-------|
| Echantillon phytoplancton ? | Prof (m) | Temp (°C) | pH | Conductivité à 25°C ($\mu\text{S.cm}^{-1}$) | O ₂ % | O ₂ mg/l | MODF ppb ESQ | Heure |
| | <input checked="" type="checkbox"/> Intégré de 0 à .. | | | | | | | |
| | <input type="checkbox"/> 3,5 | | | | | | | |
| <input type="checkbox"/> | 0,1 | 22,0 | 8,4 | 269 | 107 | 9,0 | 8,5 | |
| <input type="checkbox"/> | 0,5 | 22,0 | 8,4 | 269 | 107 | 9,0 | 8,6 | |
| <input type="checkbox"/> | 1 | 22,0 | 8,4 | 269 | 107 | 9,0 | 8,6 | |
| <input type="checkbox"/> | 1,5 | 21,8 | 8,3 | 269 | 106 | 8,9 | 8,9 | |
| <input type="checkbox"/> | 2 | 21,8 | 8,3 | 269 | 102 | 8,6 | 9,3 | |
| <input type="checkbox"/> | 2,5 | 21,7 | 8,3 | 269 | 102 | 8,5 | 9,4 | |
| <input type="checkbox"/> | 3 | 21,7 | 8,2 | 270 | 99 | 8,4 | 9,4 | |
| <input type="checkbox"/> | 3,5 | 21,7 | 8,2 | 269 | 98 | 8,3 | 9,4 | |
| <input type="checkbox"/> | 4 | 21,7 | 8,2 | 269 | 97 | 8,2 | 9,5 | |
| <input type="checkbox"/> | 4,5 | 21,6 | 8,1 | 271 | 95 | 8,0 | 9,5 | |
| <input type="checkbox"/> | 5 | 20,0 | 7,3 | 382 | 0 | 0,0 | 19,1 | |
| <input type="checkbox"/> | 5,5 | 17,4 | 7,4 | 428 | 0 | 0,0 | 27,8 | |
| <input type="checkbox"/> | 6 | 16,5 | 7,4 | 440 | 0 | 0,0 | 29,6 | |
| <input type="checkbox"/> | 6,5 | 15,4 | 7,4 | 451 | 0 | 0,0 | 30,3 | |
| <input type="checkbox"/> | 7 | 14,6 | 7,4 | 459 | 0 | 0,0 | 31,4 | |
| <input type="checkbox"/> | 7,5 | 14,1 | 7,4 | 465 | 0 | 0,0 | 37,2 | |
| <input type="checkbox"/> | 8 | 13,9 | 7,4 | 458 | 0 | 0,0 | 38,5 | |
| <input type="checkbox"/> | 8,5 | 13,7 | 7,4 | 470 | 0 | 0,0 | 41,1 | |

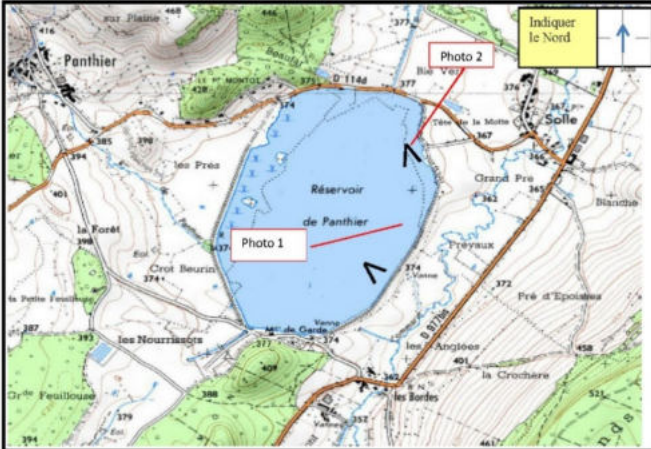


Relevé phytoplanctonique en plan d'eau
DONNEES GENERALES PLAN D'EAU - STATION

v.3.3.1

Septembre 2009

| | | | |
|-------------------------|---------------------------------|----------------|------------|
| Plan d'eau : | Retenue de PANTHIER | Date : | 25/09/2017 |
| Nom station : | Point profond | Code station : | U1305043 |
| Organisme / opérateur : | GREBE / F. Bourgeot - C. Louche | Réf. dossier : | AERMIC PE |

| LOCALISATION PLAN D'EAU | | | |
|---------------------------------|------------------------------|---|----------------------|
| Commune : | Commarin (21) | | |
| Plan d'eau marrant : | Oui | Superficie du bassin versant : | 973 km ² |
| HER : | HER1 - 10-Côtes calcaire Est | Superficie du plan d'eau : | 1,19 km ² |
| Profondeur maximale théorique : | 14,3 m | Profondeur moyenne : | m |
| Carte : | (extrait IGN 1/25 000 ème) |  | |

| LOCALISATION STATION | | | | |
|----------------------------------|--|--------|---------|--------------|
| Coordonnées du point : | relevées sur : | GPS | | |
| Lambert 93 (système français) : | (en m) | X | Y | Altitude |
| | | 823529 | 6683590 | 376 |
| WGS 84 (système international) : | données GPS (en dms) | N | | Altitude (m) |
| Profondeur : | 4,6 | m | | |
| Photos du site : |  | | | |
| Remarques et observations : | | | | |

Relevé phytoplanctonique en plan d'eau

v.3.3.2

DONNEES GENERALES CAMPAGNE

juin 2012

| | | | |
|-------------------------------|---------------------------------|----------------|------------|
| Plan d'eau : | Retenue de PANTHIER | Date : | 25/09/2017 |
| Station ou n° d'échantillon : | Point profond | Code lac : | U1305043 |
| Organisme / opérateur : | GREBE / F. Bourgeot - C. Louche | Réf. dossier : | AERMC PE |

STATION

| Coordonnées de la station | relevées sur : | GPS | | |
|--------------------------------|----------------------|--|---------|----------------|
| | | X | Y | Altitude (m) : |
| Lambert 93 (système français) | (en m) | 823529 | 6683590 | 376,0 |
| WGS 84 (système international) | données GPS (en dms) | N | | Altitude (m) : |
| Profondeur (m) : | 4,6 | | | |
| Conditions d'observation : | Instensité du vent : | faible | | |
| | météo : | temps sec fortement nuageux | | |
| | Surface de l'eau : | faiblement agitée | | |
| | Hauteur des vagues: | 0,05 | | m |
| | Bloom algal : | non | | |
| Marnage : | oui | niveau des eaux par rapport à la végétation de ceinture (pour les plans d'eau marnant) : | 5 | m |
| Remarques : | | | | |

PRELEVEMENTS

| | | | |
|---------------------------|---|---|---|
| Heure début de relevé : | 15:32 | Heure de fin de relevé : | 18:20 |
| Prélèvements réalisés : | <input checked="" type="checkbox"/> phytoplancton <input checked="" type="checkbox"/> chlorophylle <input checked="" type="checkbox"/> eau <input checked="" type="checkbox"/> sédiment <input type="checkbox"/> macrophytes <input type="checkbox"/> oligochètes <input type="checkbox"/> autres, préciser : | Matériel employé : | <input type="checkbox"/> bouteille intégratrice <input checked="" type="checkbox"/> bouteille Van Dorn <input type="checkbox"/> tuyau |
| | | Volume filtré pour la chlorophylle (ml) : | 495 |
| | | Volume de Lugol ajouté pour le phytoplancton (ml) : | 4 |
| Remarques, observations : | Dépôt des échantillons d'eau au laboratoire Carso de Vénissieux (69) le 26/09/2017 à 11:20. Dépôt des échantillons de sédiments au laboratoire LDA 26 le 26/09/2017 à 12:30. Prélèvements de fond réalisés à la bouteille verticale type Van Dorn à 4,0 m, 20 bouteilles soit 24 litres. Echantillon euphotique pour analyse des micro/macropolluants et phytoplancton réalisé à la bouteille verticale type Van Dorn tous les 0,5 m sur 1,5 m. 18 bouteilles soit 21,6 litres. Cote à l'échelle : 7,40 m / Cote NGF : 366,86 m Température de l'air : 20,3°C - Press. atmos. : 980 hPa. | | |

Relevé phytoplanctonique en plan d'eau
DONNEES PHYSICO-CHIMIQUES

v.3.3.2
juin 2012

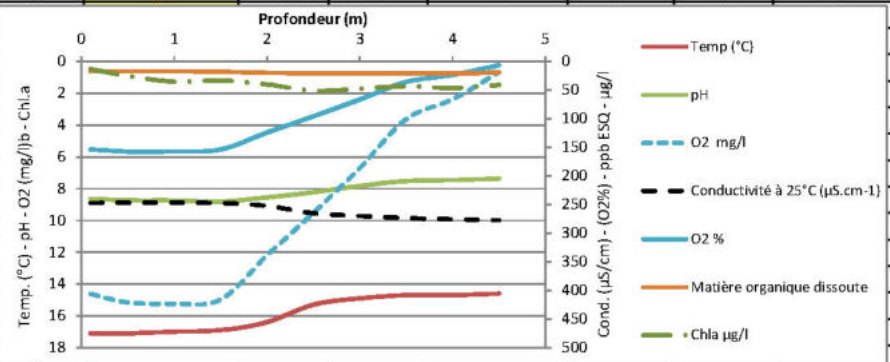
| | | | |
|-------------------------------|---------------------------------|----------------|------------|
| Plan d'eau : | Retenue de PANTHIER | Date : | 25/09/2017 |
| Station ou n° d'échantillon : | Point profond | Code lac : | U1305043 |
| Organisme / opérateur : | GREBE / F. Bourgeot - C. Louche | Réf. dossier : | AERMC PE |

TRANSPARENCY

| | | | |
|----------------------|-----|--|------|
| Secchi en m : | 0,7 | Zone euphotique (2,5 x Secchi) en m : | 1,75 |
|----------------------|-----|--|------|

PROFIL VERTICAL

| Moyen utilisé : | mesures in-situ à chaque prof. | | | | | | | |
|---|--------------------------------|-----------|-----|---|------------------|---------------------|--------------|-----------|
| Echantillon phytoplancton ? | Prof (m) | Temp (°C) | pH | Conductivité à 25°C ($\mu\text{S.cm}^{-1}$) | O ₂ % | O ₂ mg/l | MODF ppb ESQ | Chla µg/l |
| <input checked="" type="checkbox"/> Echantillon phytoplancton ? | Intégré de 0 à .. | | | | | | | |
| | 1,75 | | | | | | | |
| <input type="checkbox"/> | 0,1 | 17,1 | 8,7 | 247 | 154 | 14,6 | 16,9 | 13,4 |
| <input type="checkbox"/> | 0,5 | 17,1 | 8,7 | 247 | 157 | 15,2 | 17,0 | 25,3 |
| <input type="checkbox"/> | 1 | 17,0 | 8,7 | 247 | 157 | 15,2 | 17,0 | 35,4 |
| <input type="checkbox"/> | 1,5 | 16,9 | 8,8 | 247 | 154 | 15,0 | 17,8 | 33,2 |
| <input type="checkbox"/> | 2 | 16,4 | 8,6 | 252 | 124 | 12,2 | 19,7 | 40,2 |
| <input type="checkbox"/> | 2,5 | 15,3 | 8,2 | 265 | 96 | 9,5 | 20,6 | 50,9 |
| <input type="checkbox"/> | 3 | 14,9 | 7,8 | 270 | 67 | 6,7 | 20,6 | 47,8 |
| <input type="checkbox"/> | 3,5 | 14,7 | 7,5 | 274 | 36 | 3,6 | 20,8 | 42,9 |
| <input type="checkbox"/> | 4 | 14,7 | 7,5 | 276 | 24 | 2,4 | 20,9 | 46,6 |
| <input type="checkbox"/> | 4,5 | 14,6 | 7,4 | 277 | 7 | 0,7 | 19,2 | 41,0 |



PE RMC lot 1- PRELEVEMENTS DE SEDIMENTS 2016

| PLAN D'EAU : | Nom : Code : | Retenue de CHAZILLY U1305003 | Retenue de PANTHIER U1305043 | Lac des ROUSSES V2405043 | Graviere de VAILVRE VESOUL U0535003 |
|--|---|---|---|---|--|
| Date: | | 25/09/2017 | 25/09/2017 | 18/08/2017 | 19/08/2017 |
| Appareil de prélèvement : | Carottier Benne Ekman <input checked="" type="checkbox"/> | Carottier Benne Ekman <input checked="" type="checkbox"/> |
| Point de prélèvement : | Point profond | Point profond | Point profond | Point profond | Point profond |
| Coordonnées GPS (Lambert 93 en m) : | x= 821420 y= 6677556 9,75 | x= 823529 y= 6603090 4,6 | x= 837195 y= 6605328 20 | x= 833772 y= 6730687 1,9 | |
| Profondeur (m) : | | | | | |
| Aspect et nature des sédiments (couleur, odeur, texture (sableuse, fine), charge en débris organiques) ...) | Limone fins gris foncé | Argilo-limoneux gris-noir, plus noir et organiques en surface | Limoneux-tourbeux bruns | Argilo-limoneux brun-gris | |
| |  |  |  |  | |
| PLAN D'EAU : | Nom : Code : | Retenue de VILLEGUSIEN U0905003 | Retenue de VOUGLANS V23-4003 | - | - |
| Date: | | 19/09/2017 | 14/09/2017 | | |
| Appareil de prélèvement : | Carottier Benne Ekman <input checked="" type="checkbox"/> | Carottier Benne Ekman <input checked="" type="checkbox"/> |
| Point de prélèvement : | Point profond | Point profond | | | |
| Coordonnées GPS (Lambert 93 en m) : | x= 874736 y= 6740458 6 | x= 905392 y= 6593430 86,4 | | x= | x= |
| Profondeur (m) : | | | | y= | y= |
| Aspect et nature des sédiments (couleur, odeur, texture (sableuse, fine), charge en débris organiques) ...) | Limono-argileux gris-brun | Limons argileux brun-gris | | | |
| |  |  | | | |

Annexe 4

Rapport d'analyse phytoplancton



GREBE

un environnement de qualité pour une qualité de vie

SOCIETE D'ETUDE ET DE CONSEIL - EAU - SOL - ENVIRONNEMENT

Rapport d'analyse Phytoplancton

définitif

provisoire

Édité le : 30/03/2018

Page 1/6

Agence de l'Eau Rhône-Méditerranée Corse
A l'attention de Mr Loïc IMBERT
2-4 allée de Lodz
69363 Lyon cedex 07

RAPPORT n° : PHYTO 02/03.2017

Dossier : **Surveillance de la qualité des plans d'eau du nord du bassin Rhône Méditerranée**
Lot n°1

Station : U1305043 Panthier

Prélèvements : Effectués par le GREBE (A. Olivetto, P. Prompt, F. Bourgeot, S. Ponchon, E. Michaut, C. Louche)
Dates : 06/03/18, 17/05/18, 26/07/18, 25/09/17

Déterminations réalisées par : Jeanne Rigaut

Objet soumis à l'analyse : phytoplancton

Résultats : Inventaires réalisés sous Phytobs version 2.3

| Paramètre | Unité | Méthode | Accrédité |
|---|-------|---|-----------|
| Prélèvement (s) Phytoplancton | - | Protocole standardisé grand cours d'eau, Irstea, V2, déc.2010 | |
| Analyse (s) Phytoplancton (liste (s) floristique (s)) | - | Utermöhl NF EN 15204 | ✓ |
| Commentaire (s) | - | - | |

Le rapport établi ne concerne que les échantillons soumis à l'essai.

La reproduction de ce rapport d'analyse n'est autorisée que sous sa forme intégrale.

Un rapport provisoire n'est pas signé et seul l'exemplaire définitif signé a une valeur contractuelle.

Le présent rapport d'essai peut être diffusé sous forme papier ou par transfert électronique de données.

Il est conforme aux exigences de la norme NF EN ISO/CEI 17025.

Les analyses phytoplancton ont été réalisées au laboratoire à l'adresse suivante : 21 rue Sébastien Gryphe à Lyon 69007.

Signataire des rapports d'analyse Phytoplancton

cofrac Accréditation Cofrac
N° 1-1313
Portée disponible
ESSAIS sur www.cofrac.fr

GROUPE DE RECHERCHE ET D'ETUDE BIOLOGIE ET ENVIRONNEMENT
SIEGE SOCIAL : 23 RUE SAINT MICHEL – F 69007 LYON – France – TEL : 04 72 71 03 79 – FAX : 04 72 72 06 12
SARL AU CAPITAL DE 100.000 € - RCS LYON B 329 391 965 – SIRET 329 391 966 00038 – CODE APE 731Z

ENR.78 - version 8 - Date d'application : 14/03/18 - Page 1/1

Liste floristique1^{ère} campagne : 06/03/2017

| Nom taxon | Code taxon | Classe | Code Sandre | Cf. | Type compté | Nombre compté | Blovolume mm ³ /l | Nombre cellules/ml | |
|-------------------------------------|------------|-------------------|-------------|------|-------------|---------------|------------------------------|--------------------|--|
| Arkyra judayi | ANYIUD | CHLOROPHYCEAE | 5596 | Cel. | 1 | 0.00174 | 16.50 | | |
| Aphanocapsa celicatissima | APADEL | CYANOPHYCEAE | 6308 | Cel. | 200 | 0.00332 | 3318.31 | | |
| Chlamydomonas <10µm | NEW130 | CHLOROPHYCEAE | 6016 | Cel. | 2 | 0.00763 | 33.18 | | |
| Chlorophyées unicellulaires 5-10 µm | NEW159 | CHLOROPHYCEAE | 1115 | Cel. | 1 | 0.00367 | 16.50 | | |
| Chrysococcus | CHSSPX | CHRYSOPIHYCEAE | 9570 | Cel. | 3 | 0.00423 | 49.77 | | |
| Cocochloris fottii | COOFOT | CHLOROPHYCEAE | 5618 | Cel. | | | | | |
| Cryptomonas | CRYSPX | CRYPTOPHYCEAE | 6260 | Cel. | 4 | 0.1176 | 66.37 | | |
| Cryptomonas marssonii | CRYMAR | CRYPTOPHYCEAE | 6273 | Cel. | 1 | 0.01901 | 16.50 | | |
| Cyclotella ocellata | CYCOCE | MEDIOPHYCEAE | 8635 | Cel. | 205 | 0.30455 | 3401.27 | | |
| Desmocerosmus communis | DEDOOM | CHLOROPHYCEAE | 31933 | Cel. | | | | | |
| Desmocerosmus costato granulatus | DEDCOG | CHLOROPHYCEAE | 31932 | Cel. | 106 | 0.00869 | 1758.71 | | |
| Desmocerosmus subspicatus | DEDSUB | CHLOROPHYCEAE | 31050 | Cel. | | | | | |
| Dictyosphaerium (environ 2µm) | NEW062 | TREBOUXIOPHYCEAE | 5645 | Cel. | 93 | 0.00617 | 1543.02 | | |
| Dictyosphaerium pulchellum | DICPUL | TREBOUXIOPHYCEAE | 5648 | Cel. | 2 | 0.00478 | 33.18 | | |
| Dicycmocystis fira | DIDFIN | TREBOUXIOPHYCEAE | 9193 | Cel. | 20 | 0.00465 | 331.83 | | |
| Dicycmocystis planctoria | DIDPLA | TREBOUXIOPHYCEAE | 25668 | Cel. | 2 | 0.00200 | 33.18 | | |
| Gonium truncata | NEW149 | CRYPTOPHYCEAE | 35416 | Cf. | Cel. | 6 | 0.02061 | 39.55 | |
| Gymosigma | GYRSPX | BACILLARIOPHYCEAE | 9440 | Cel. | | | | | |
| Lagerheimia gerevensis | LAGGEN | TREBOUXIOPHYCEAE | 5714 | Cel. | 1 | 0.00289 | 16.50 | | |
| Monoraphidium contortum | MONCON | CHLOROPHYCEAE | 5731 | Cel. | 1 | 0.00187 | 16.50 | | |
| Monoraphidium griffithii | MONGRI | CHLOROPHYCEAE | 5734 | Cel. | | | | | |
| Monoraphidium komarkovae | MONKOM | CHLOROPHYCEAE | 5735 | Cel. | 4 | 0.01062 | 66.37 | | |
| Monoraphidium miratum | MONMIN | CHLOROPHYCEAE | 5736 | Cel. | 17 | 0.02623 | 282.06 | | |
| Monoraphidium tortile | MONTOR | CHLOROPHYCEAE | 5741 | Cel. | | | | | |
| Navicula raciosa | NAVRAD | BACILLARIOPHYCEAE | 8106 | Cel. | 3 | 0.29865 | 49.77 | | |
| Nitzschia acicularis | NIZACI | BACILLARIOPHYCEAE | 8809 | Cf. | Cel. | | | | |
| Nitzschia acicollirata | NIZACN | BACILLARIOPHYCEAE | 8810 | Cel. | 1 | 0.00196 | 16.50 | | |
| Oocystis parva | OOCPAR | TREBOUXIOPHYCEAE | 5758 | Cel. | 4 | 0.00418 | 66.37 | | |
| Phaeotus lenticularis | PIITLEN | CHLOROPHYCEAE | 6048 | Cel. | 3 | 0.02041 | 49.77 | | |
| Plagioselmis nanoplana | PLGNAN | CRYPTOPHYCEAE | 9634 | Cel. | 73 | 0.08478 | 1211.18 | | |
| Stichococcus <4 µm largeur | NEW085 | CHLOROPHYCEAE | 6003 | Cel. | 1 | 0.0006 | 16.50 | | |
| Tetradon minium | TEAMIN | CHLOROPHYCEAE | 5888 | Cel. | 1 | 0.00581 | 16.50 | | |

Liste floristique2^{ème} campagne : 17/05/2017

| Nom taxon | Code taxon | Classe | Code Sandre | Cf. compté | Type | Nombre compté | Biovolume mm ³ /l | Nombre cellules/ml |
|---|------------|---------------------|-------------|------------|------|---------------|------------------------------|--------------------|
| Ankyra judayi | ANYJUD | CHLOROPHYCEAE | 5596 | Cel. | | 87 | 0.03405 | 324.31 |
| Aphanocapsa delicatissima | APADEL | CYANOPHYCEAE | 6308 | Cel. | | 190 | 0.00071 | 708.26 |
| Aphanothecia clathrata | APOCLA | CYANOPHYCEAE | 6349 | Cel. | | 40 | 0.0003 | 149.11 |
| Asterionella formosa | ASTFOR | FRAGILARIOPHYCEAE | 4860 | Cel. | | | | |
| Ceratium | CERSPX | DINOPHYCEAE | 4949 | Cel. | | 2 | 0.00262 | 0.08 |
| Ceratium hirundinella | CERHIR | DINOPHYCEAE | 6553 | Cel. | | 8 | 0.01285 | 0.32 |
| Chlamydomonas <10µm | NEW130 | CHLOROPHYCEAE | 6016 | Cel. | | 1 | 0.00086 | 3.73 |
| Chrysococcus | CHSSPX | CHRYSTOPHYCEAE | 9570 | Cel. | | 5 | 0.00158 | 18.54 |
| Cocconotus fottii | CODFOT | CHLOROPHYCEAE | 5018 | Cel. | | 170 | 0.11348 | 633.71 |
| Cucularia tetraedra | CRUHTI | CHLOROPHYCEAE | 5633 | Cel. | | 4 | 0.00201 | 14.51 |
| Cryptomonas | CRYSPX | CRYPTOPHYCEAE | 6269 | Cel. | | 9 | 0.01545 | 31.55 |
| Cystomonas marssonii | CRYVAR | CRYPTOPHYCEAE | 6273 | Cel. | | 1 | 0.00047 | 3.73 |
| Cyanodictyon planctonicum | CDIPLA | CYANOPHYCEAE | 9709 | Cel. | | 00 | 0.00022 | 223.00 |
| Desmodesmus costato-granulosus | DEDLOG | CHLOROPHYCEAE | 31932 | Cel. | | | | |
| Diatomées centrales (2 µm) | NEWW11 | COSCINODISCOPHYCEAE | 12334 | Cel. | | 2 | 0.00003 | 7.46 |
| Diatomées centrales indéterminées <10 µm | INDCH | COSCINODISCOPHYCEAE | 6548 | Cel. | | 2 | 0.00082 | 7.46 |
| Diatomées centrales indéterm. inécs >10 µm | NEW043 | COSCINODISCOPHYCEAE | 12334 | Cel. | | 3 | 0.01028 | 11.18 |
| Diatomées pennées indéterm. inécs 30 - 100 µm | INDPEN | BACILLAROPHYCEAE | 6398 | Cel. | | 2 | 0.0039 | 7.46 |
| Dictyosphaerium (variorum) 2µm | NEWW12 | IRIBOUXIOPHYCEAE | 5645 | Cel. | | 7 | 0.00101 | 26.09 |
| Dictyosphaerium ou chevelue | DIOPUL | IRIBOUXIOPHYCEAE | 5648 | Cel. | | 192 | 0.10406 | 715.72 |
| Dinobryon divergens | DIVDIV | CHRYSTOPHYCEAE | 6130 | Cel. | | 26 | 0.02026 | 96.52 |
| Elachotrichia geotropa | ELAGEL | KLEBSORMIDIOPHYCEAE | 3604 | Cel. | | 11 | 0.00788 | 41.00 |
| Erkenia subacutifilata | ERKSUB | COCCOLITHOPHYCEAE | 6149 | Cel. | | 11 | 0.00183 | 41.00 |
| Furania | FUNSPX | BACILLAROPHYCEAE | 5594 | Cel. | | 2 | 0.00146 | 7.46 |
| Goniomonas truncata | NEWT14S | CRYPTOPHYCEAE | 55416 | Cf. | | | | |
| Monoraphidium acutatum | MONARC | CHLOROPHYCEAE | 5729 | Cel. | | | | |
| Monoraphidium griffithii | MONGRI | CHLOROPHYCEAE | 5734 | Cel. | | 1 | 0.00067 | 3.73 |
| Monoraphidium minutum | MONMIN | CHLOROPHYCEAE | 5730 | Cel. | | 2 | 0.00068 | 7.46 |
| Monoraphidium tortile | MONTDR | CHLOROPHYCEAE | 5741 | Cel. | | 1 | 0.00009 | 3.73 |
| Nephrocilla | NEHSPX | XANTHOPHYCEAE | 9615 | Cel. | | 2 | 0.00072 | 7.46 |
| Oocystis lacustris | OOCLOC | TREBOUXIOPHYCEAE | 5757 | Cel. | | 9 | 0.00936 | 33.35 |
| Oncystis parva | OOCIPAR | IRIBOUXIOPHYCEAE | 5758 | Cel. | | 159 | 0.03734 | 562.71 |
| Pedastrium boryanum | PEDBDR | CHLOROPHYCEAE | 5769 | Cel. | | 6 | 0.01718 | 22.37 |
| Phacotus canticans | PHTLEN | CHLOROPHYCEAE | 6048 | Cel. | | 3 | 0.00439 | 11.18 |
| Pagiosciella namao arctica | PLGNAN | CRYPTOPHYCEAE | 9584 | Cel. | | 132 | 0.03444 | 492.06 |
| Pseuconeocinclia elastica | POPHLA | IDIYOCOLOPHYCEAE | 20751 | Cel. | | 1 | 0.00429 | 3.73 |
| Scenedesmus arcuatus | SCFArc | CHLOROPHYCEAE | 5807 | Cel. | | 15 | 0.02156 | 130.83 |
| Scenedesmus ellipticus | SCFHLL | CHLOROPHYCEAE | 5826 | Cel. | | 9 | 0.00183 | 33.35 |
| Stichococcus <4 µm argenteus | NEW08G | CHLOROPHYCEAE | 6003 | Cel. | | 2 | 0.00027 | 7.46 |
| Tetraselmis trianguicula | TERTRI | CHLOROPHYCEAE | 9300 | Cel. | | 805 | 0.1933 | 304.53 |

Liste floristique3^{ème} campagne : 26/07/2017 (1^{ère} partie)

| Nom taxon | Code taxon | Classe | Code Sandre | Cf. | Type compté | Nombre compté | Biovolume mm ³ /l | Nombre cellules/ml |
|---|------------|---------------------|-------------|------|-------------|---------------|------------------------------|--------------------|
| Achnanthidium catenatum | ACDCAT | BACILLARIOPHYCEAE | 7074 | Cel. | 21 | 0.05749 | 435.53 | |
| Aphanizome non issatschenkoi | APHSS | CYANOPHYCEAE | 9668 | Cel. | | | | |
| Aphanocapsa delicatissima | APADEL | CYANOPHYCEAE | 6308 | Cel. | 170 | 0.00853 | 3525.71 | |
| Carteria globosa | CARGLO | CHLOROPHYCEAE | 20064 | Cf. | Cel. | 100 | 2.01173 | 2073.95 |
| Centritractus belenophorus | CETBEL | XANTHOPHYCEAE | 6228 | Cel. | | | | |
| Ceratium | CERSPX | DINOPHYCEAE | 4949 | Cel. | 33 | 0.04301 | 1.32 | |
| Chlamydomonas | CHLSPX | CHLOROPHYCEAE | 6016 | Cel. | 1 | 0.023 | 20.74 | |
| Chlamydomonas <10µm | NEW130 | CHLOROPHYCEAE | 5016 | Cel. | 11 | 0.05247 | 228.13 | |
| Chlamydomonas >20 µm | CHLSPX | CHLOROPHYCEAE | 6010 | Ce. | 1 | 0.023 | 20.74 | |
| Chromatina | CHVRPX | CRYPTOPHYCEAE | 6261 | Ce. | 2 | 0.00249 | 41.48 | |
| Chrysococcus | CHSISPX | CRYPTOPHYCEAE | 52111 | Ce. | 2 | 0.00033 | 41.48 | |
| Chrysophycées incertaines | INDCHR | CRYPTOPHYCEAE | 1160 | Ce. | 3 | 0.00633 | 62.22 | |
| Chrysophycées incertaines | INDCHR | CRYPTOPHYCEAE | 1160 | Ce. | 3 | 0.00633 | 62.22 | |
| Cocconeis microporum | COEMIC | CHLOROPHYCEAE | 5610 | Ce. | 135 | 0.52745 | 2820.57 | |
| Cryptomonas | CRYSPX | CRYPTOPHYCEAE | 6269 | Ce. | 3 | 0.11025 | 62.22 | |
| Desmocerosus aquardans | DEDABU | CHLOROPHYCEAE | 31929 | Ce. | | | | |
| Desmocerosus coeruleus | DEDCOMI | CHLOROPHYCEAE | 31933 | Ce. | 4 | 0.0302 | 82.96 | |
| Desmocerosus suspicatus | DEDSUS | CHLOROPHYCEAE | 31930 | Ce. | 2 | 0.00116 | 41.48 | |
| Diatomées centriques (3 µm) | NEW011 | COSCINODISCOPHYCEAE | 12334 | Cel. | 1 | 0.00139 | 20.74 | |
| Diatomées centriques indéterminées <10 µm | INDCHI | COSCINODISCOPHYCEAE | 62498 | Ce. | 3 | 0.00684 | 62.22 | |
| Diatomées centriques indéterminées >10 µm | NEW145 | COSCINODISCOPHYCEAE | 12334 | Ce. | | | | |
| Diatomées peripheriques indétermées 30 - 100 µm | INDPEN | BACILLARIOPHYCEAE | 6398 | Cel. | 2 | 0.02169 | 41.48 | |
| Dictyosphaerium (environ 2µm) | NEW002 | TREBOUXIOPHYCEAE | 3645 | Cel. | 20 | 0.00165 | 414.79 | |
| Dictyosphaerium ou cheveux | DICPUL | TREBOUXIOPHYCEAE | 5648 | Ce. | 27 | 0.08084 | 555.97 | |
| Didymosystis fina | DIDIN | TREBOUXIOPHYCEAE | 5193 | Ce. | | | | |
| Flagellaires grêles | FLAGFL | KLEBSORMIDIOPHYCEAE | 5664 | Ce. | | | | |
| Erkenia subaccutiflata | ERKSUB | COCCOLITHOPHYCEAE | 6149 | Cel. | 85 | 0.07933 | 1762.85 | |
| Euglena | EUGSPX | EUGLENOPHYCEAE | 6479 | Ce. | | | | |
| Iragiaria | IRASPX | IRAGIARIDOPHYCEAE | 5233 | Ce. | 14 | 0.00254 | 250.35 | |
| Goniomonas truncata | NEW149 | CRYPTOPHYCEAE | 35410 | Cel. | 53 | 0.23612 | 1140.67 | |
| Gonyostoma seminum | GOTSEM | RAPHIDOPHYCEAE | 6206 | Cel. | | | | |
| Gymnancium | GYMSPX | DINOPHYCEAE | 4925 | Ce. | 2 | 0.01452 | 41.48 | |
| Kepyrnorhynchus australis | KPRHUB | CRYPTOPHYCEAE | 6152 | Ce. | 1 | 0.00129 | 20.74 | |
| Lageocella genovensis | LAGGEN | TREBOUXIOPHYCEAE | 5714 | Cel. | 1 | 0.00361 | 20.74 | |
| Meismopelta glauca | MERGLA | CYANOPHYCEAE | 6327 | Ce. | 16 | 0.02137 | 331.83 | |
| Meismopelta tenuissima | MERTEN | CYANOPHYCEAE | 6330 | Ce. | | | | |
| Monoraphidium acutatum | MONARC | CHLOROPHYCEAE | 5229 | Ce. | | | | |
| Monoraphidium contortum | MONCON | CHLOROPHYCEAE | 5231 | Ce. | | | | |
| Monoraphidium griffithii | MONGRI | CHLOROPHYCEAE | 5734 | Ce. | 1 | 0.00488 | 20.74 | |
| Monoraphidium kemarkovae | MONKOMI | CHLOROPHYCEAE | 5735 | Cel. | 5 | 0.01639 | 103.7 | |
| Monoraphidium minutum | MONMIN | CHLOROPHYCEAE | 5736 | Ce. | 2 | 0.00386 | 41.48 | |

Liste floristique3^{ème} campagne : 26/07/2017 (2^{ème} partie)

| Nom taxon | Code taxon | Classe | Code Sandre | Type Cf. | Nombre compté | Biovolume mm ³ /l | Nombre cellules/ml | |
|--------------------------------------|------------|---------------------|-------------|----------|---------------|------------------------------|--------------------|-------|
| Nephrochlamys rostrata | NECR0S | TREBOUXIOPHYCEAE | 5745 | Cel. | 2 | 0.00319 | 41.48 | |
| Nephrodiella | NEHSPX | XANTHOPHYCEAE | 9615 | Cel. | 24 | 0.04778 | 497.75 | |
| Nitzschia | NIZSPX | BACILLARIOPHYCEAE | 9804 | Cel. | | | | |
| Nitzschia acicularis | NIZACI | BACILLARIOPHYCEAE | 8809 | Cf. | 6 | 0.08634 | 124.44 | |
| Oscillatorioides indéterminées fines | NEW135 | CYANOPHYCEAE | 6391 | Fil. | 9 | 0.03304 | | |
| Pediastrum boryanum | PEDBOR | CHLOROPHYCEAE | 5769 | Cel. | | | | |
| Pediastrum simplex | PEDSIM | CHLOROPHYCEAE | 5777 | Cel. | 8 | 0.32055 | 165.92 | |
| Peridinium cunningtonii | PERCUN | DINOPHYCEAE | 25630 | Cel. | | | | |
| Phaeotus enticus ars | PHILHN | CHLOROPHYCEAE | 6048 | Ce. | 4 | 0.11401 | K2.96 | |
| Phacus curvicauda | PHACUR | HUGLENOPHYCEAE | 6616 | Ce. | | | | |
| Phacus long cauda | PHALON | HUGLENOPHYCEAE | 6611 | Ce. | 1 | 0.0004 | 0.04 | |
| Phacus tortus | PHATOR | EUGLENOPHYCEAE | 6521 | Ce. | | | | |
| Phagioscleris nanoplancifica | PLGNAN | CRYPTOPHYCEAE | 9034 | Ce. | 10 | 0.01432 | 207.39 | |
| Rhizosolenia eriensis | RFHRI | CONCHINODINOPHYCEAE | 8732 | Ce. | 1 | 0.00148 | 20.74 | |
| Spongostylum planum | SPOLPA | CONTIUGATOPHYCEAE | 5443 | Ce. | 2 | 0.18173 | 41.48 | |
| Staurastrum | SIASPX | CONTIUGATOPHYCEAE | 1128 | Ce. | | | | |
| Tetradesmus slagermeieri | NEW198 | CHLOROPHYCEAE | 42838 | Ce. | 5 | 0.03215 | 103.7 | |
| Tetraecron caudatum | TEACAU | CHLOROPHYCEAE | 5885 | Ce. | 1 | 0.00913 | 20.74 | |
| Tetraecron minimum | TFAMIN | CHLOROPHYCEAE | 5888 | Ce. | 6 | 0.04355 | 124.44 | |
| Tetrasstrum triangulare | TFTRIR | CHLOROPHYCEAE | 5300 | Ce. | 4 | 0.10399 | K2.96 | |
| Trachclosteronae | TRASPX | EUGLENOPHYCEAE | 6527 | Ce. | 1 | 0.03327 | 20.74 | |
| Trachclosteronae hispida | TRAHIS | EUGLENOPHYCEAE | 6531 | Ce. | 1 | 0.07338 | 20.74 | |
| Trematopora apocnictulata | TRETTRI | CHLOROPHYCEAE | 5913 | Ce. | 2 | 0.02173 | 41.48 | |
| Ulmaria arvensis | ULVACU | FRAGILARIOPHYCEAE | 32078 | Cf. | Ce. | 5 | 0.05807 | 103.7 |

Liste floristique4^{ème} campagne : 25/09/2017

| Nom taxon | Code taxon | Classe | Code Sandre | Cf. | Type compté | Nombre compté | Biovolume mm ³ /l | Nombre cellules/ml | |
|-------------------------------------|------------|---------------------|-------------|------|-------------|---------------|------------------------------|--------------------|--|
| Achnanthidium catenatum | ACDCAT | BACILLARIOPHYCEAE | 7074 | Cel. | 1 | 0.00292 | 22.12 | | |
| Actinastrum hantzschii | ACSHAN | TREBOUXIOPHYCEAE | 5591 | Cel. | 16 | 0.04566 | 353.95 | | |
| Ankyra judayi | ANYJUD | CHLOROPHYCEAE | 5596 | Cel. | 6 | 0.01394 | 132.73 | | |
| Aphanizomenon flos-aquae | APHFLO | CYANOPHYCEAE | 6291 | Cel. | 30 | 0.07632 | 663.66 | | |
| Aphanizomenon gracile | APHGRA | CYANOPHYCEAE | 6292 | Cel. | 92 | 0.48846 | 2035.23 | | |
| Aphanocapsa delicatissima | APADEL | CYANOPHYCEAE | 6308 | Cel. | 60 | 0.00133 | 1327.33 | | |
| Aphanothecace | APOSPX | CYANOPHYCEAE | 6346 | Cel. | 40 | 0.00885 | 884.88 | | |
| Cartia glabosa | CARGLO | CHLOROPHYCEAE | 20054 | Cel. | 3 | 0.05438 | 56.37 | | |
| Ceratium | CERSPX | DILOPHYCEAE | 4949 | Cel. | 41 | 0.03343 | 1.64 | | |
| Chlorophytes unicellaires 3-10 µm | NEW159 | CHLOROPHYCEAE | 1113 | Cel. | 2 | 0.00978 | 44.24 | | |
| Chroococcus minor | CHRMIR | CYANOPHYCEAE | 9542 | Cel. | 4 | 0.00195 | 88.49 | | |
| Chrysococcus | CHSSPX | CHRYSPHYCEAE | 9570 | Cel. | 4 | 0.00752 | 88.49 | | |
| Coccolithus microscopum | COEMIC | CHLOROPHYCEAE | 5610 | Cel. | | | | | |
| Cryptomonas | CRYSPX | CRYPTOPHYCEAE | 0269 | Cel. | 21 | 0.82321 | 464.56 | | |
| Dosmodes-us abundans | DEDABU | CHLOROPHYCEAE | 31929 | Cel. | 6 | 0.00649 | 132.73 | | |
| Dosmodes-us acutatus | NEW164 | CHLOROPHYCEAE | 37333 | Cel. | 8 | 0.01327 | 170.98 | | |
| Dosmodes-us bivalvatus | NEW163 | CHLOROPHYCEAE | 37331 | Cel. | | | | | |
| Dosmodes-us communis | DEDCOM | CHLOROPHYCEAE | 31933 | Cel. | 4 | 0.03221 | 88.49 | | |
| Dosmodes-us eponymous | DEDOPO | CHLOROPHYCEAE | 30005 | Cel. | 4 | 0.02708 | 88.49 | | |
| Dosmodes-us subcapitatus | DEDOSUB | CHLOROPHYCEAE | 31930 | Cel. | 8 | 0.00486 | 170.98 | | |
| Dityosphaera ulm (env 10-20 µm) | NEW002 | TREBOUXIOPHYCEAE | 5643 | Cel. | 4 | 0.00033 | 88.49 | | |
| Dityosphaera ulrichellum | DICPUL | TREBOUXIOPHYCEAE | 5648 | Cel. | 23 | 0.07327 | 508.81 | | |
| Dynamystis fina | DINFIN | TRIBRACHIDIOPHYCEAE | 9159 | Cel. | 2 | 0.00062 | 44.24 | | |
| Flagellum geotropa | FLAGFL | KLEBSORMIDIOPHYCEAE | 5664 | Cel. | 4 | 0.0166 | 88.49 | | |
| Erynia subaculeata | ERKSUB | COCCOLITHOPHYCEAE | 6149 | Cel. | 6 | 0.00297 | 132.73 | | |
| Euglena | EUGSPX | EUGLENOPHYCEAE | 6479 | Cel. | 5 | 0.63738 | 110.61 | | |
| Fragilaria hananensis | IRANAN | TRAGILARIDOPHYCEAE | 6680 | Cel. | 6 | 0.01752 | 132.73 | | |
| Gymnomonas truncata | NEW149 | CRYPTOPHYCEAE | 11416 | Cf. | 18 | 0.08243 | 348.2 | | |
| Lagestroemia geniculata | LAGGEN | TREBOUXIOPHYCEAE | 5714 | Cel. | 5 | 0.01925 | 110.61 | | |
| Malomonas aurocomos | VALAKR | SYNUROPHYCEAE | 6211 | Cel. | | | | | |
| Microcystis wesenbergii | VIOWES | CYANOPHYCEAE | 6384 | Cel. | 50 | 0.07079 | 1106.1 | | |
| Monoraphidium arcuatum | MONARC | CHLOROPHYCEAE | 5729 | Cel. | | | | | |
| Monoraphidium griffithii | MONGRI | CHLOROPHYCEAE | 5734 | Cel. | | | | | |
| Monoraphidium kermanovae | MONKDM | CHLOROPHYCEAE | 5735 | Cel. | 2 | 0.00708 | 44.24 | | |
| Mougeotia | VIUSPX | CONJUGATOPHYCEAE | 1146 | Cel. | 96 | 5.39425 | 2123.72 | | |
| Neurocolella | VEHSPX | XANTHOPHYCEAE | 9613 | Cel. | 9 | 0.01911 | 199.1 | | |
| Nitzschia acicularis | VIZACI | BACILLARIOPHYCEAE | 8809 | Cel. | | | | | |
| Oocystis parva | OOPPAR | TREBOUXIOPHYCEAE | 5738 | Cel. | | | | | |
| Oscillatoriales indéterminées fines | NEW135 | CYANOPHYCEAE | 6391 | Fl. | 3 | 0.01175 | | | |
| Praecotus conticarinatus | PTHTEN | CHLOROPHYCEAE | 6048 | Cel. | 5 | 0.04335 | 110.61 | | |
| Pagiosphaerismannophaetica | PLGVNA | CRYPTOPHYCEAE | 9534 | Cel. | 95 | 0.14866 | 2123.72 | | |
| Pseudodictyochlaena astica | PDPEDA | DICTYOPHYCEAE | 20753 | Cel. | | | | | |
| Scenedesmus granulatus | SCEGRL | CHLOROPHYCEAE | 5829 | Cel. | 2 | 0.00199 | 44.24 | | |
| Stephanodiscus hantzschii tenuis | STETEU | MEDIOPHYCEAE | 8748 | Cel. | 2 | 0.01687 | 44.24 | | |
| Stephanodiscus minutus | STEMIN | MEDIOPHYCEAE | 8753 | Cel. | 159 | 3.16307 | 3317.41 | | |
| Stichococcus < 4 µm largeur | NEW085 | CHLOROPHYCEAE | 6003 | Cel. | | | | | |
| Synchroccoccus rigidians | SYCVID | CYANOPHYCEAE | 9726 | Cf. | Cel. | 84 | 0.00743 | 1858.23 | |
| Tetraselmis slageheimii | NEW198 | CHLOROPHYCEAE | 42838 | Cel. | | | | | |
| Tetradonion caudatum | TEACAU | CHLOROPHYCEAE | 5883 | Cel. | 1 | 0.00973 | 22.12 | | |
| Tetradonion minimum | THAVIN | CHLOROPHYCEAE | 5888 | Cel. | 1 | 0.11614 | 331.83 | | |
| Tetrastrum strophogoniaeforme | THRSTA | CHLOROPHYCEAE | 5504 | Cel. | 4 | 0.00425 | 88.49 | | |
| Trachelomonas | TRASPX | FUGLENOPHYCEAE | 6627 | Cel. | 16 | 0.5674 | 353.53 | | |
| Ulothrix acuta | ULVACU | TRAGILARIDOPHYCEAE | 32078 | Cf. | Cel. | 1 | 0.01239 | 22.12 | |